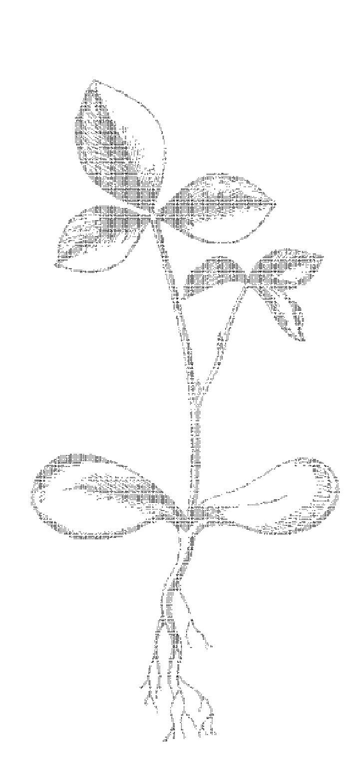
Ю. Г. СТЕПАНОВ

ПРОТИВО-РАДИОЛОКАЦИОННАЯ МАСКИРОВКА

Ю. Г. СТЕПАНОВ

ПРОТИВОРАДИОЛОКАЦИОННАЯ МАСКИРОВКА





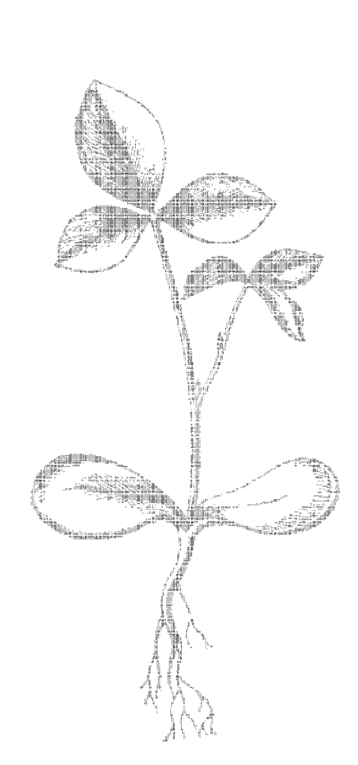
Издательство
«СОВЕТСКОЕ РАДИО»
Москва — 1968

Ю. Г. СТЕПАНОВ

ПРОТИВОРАДИОЛОКАЦИОННАЯ МАСКИРОВКА



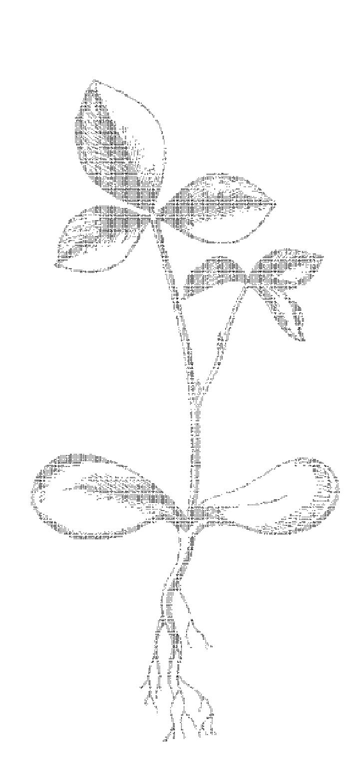
Издательство
«СОВЕТСКОЕ РАДИО»
Москва — 1968



Ю. Г. СТЕПАНОВ

ПРОТИВОРАДИОЛОКАЦИОННАЯ МАСКИРОВКА



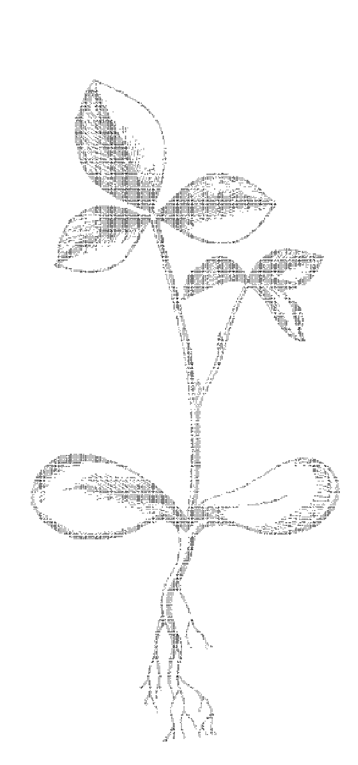


Издательство
«СОВЕТСКОЕ РАДИО»
Москва — 1968

Ю. Г. СТЕПАНОВ

ПРОТИВОРАДИОЛОКАЦИОННАЯ МАСКИРОВКА



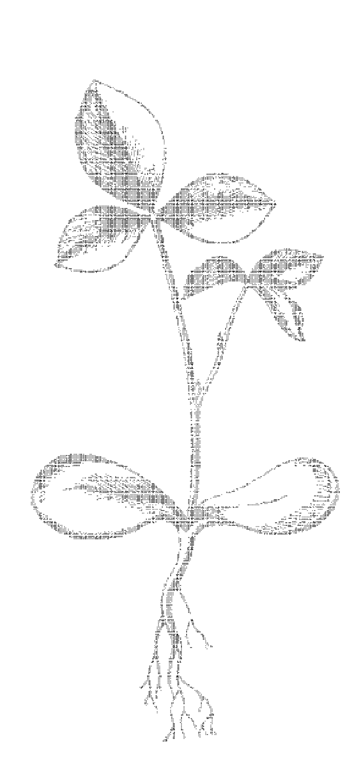


Издательство
«СОВЕТСКОЕ РАДИО»
Москва — 1968

Ю. Г. СТЕПАНОВ

ПРОТИВОРАДИОЛОКАЦИОННАЯ МАСКИРОВКА



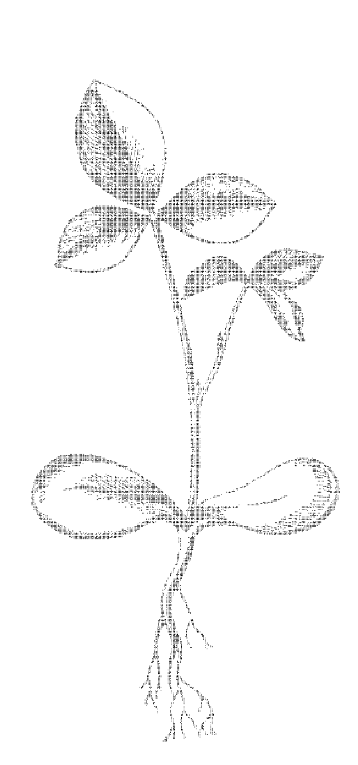


Издательство
«СОВЕТСКОЕ РАДИО»
Москва — 1968

Ю. Г. СТЕПАНОВ

ПРОТИВОРАДИОЛОКАЦИОННАЯ МАСКИРОВКА



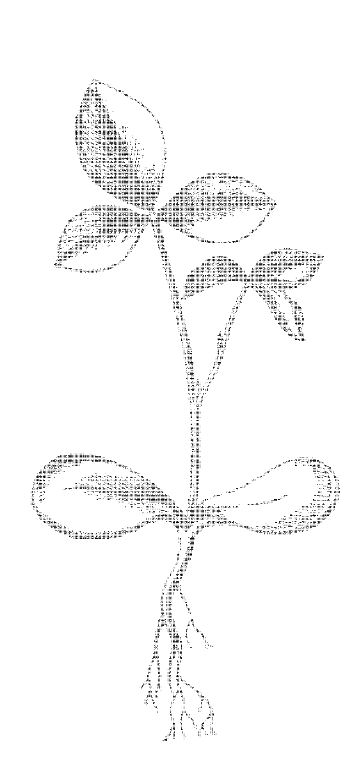


Издательство
«СОВЕТСКОЕ РАДИО»
Москва — 1968

Ю. Г. СТЕПАНОВ

ПРОТИВОРАДИОЛОКАЦИОННАЯ МАСКИРОВКА



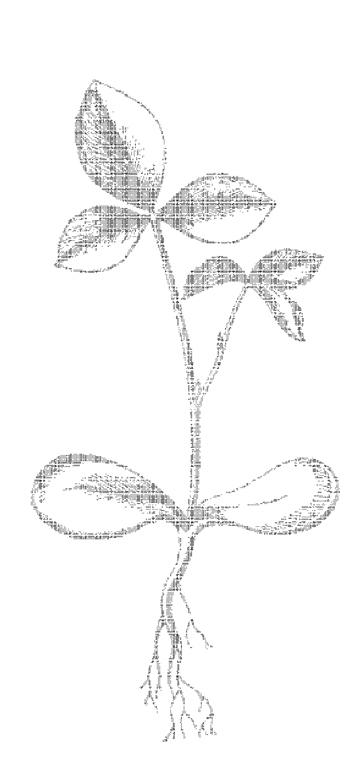


Издательство
«СОВЕТСКОЕ РАДИО»
Москва — 1968

Ю. Г. СТЕПАНОВ

ПРОТИВОРАДИОЛОКАЦИОННАЯ МАСКИРОВКА



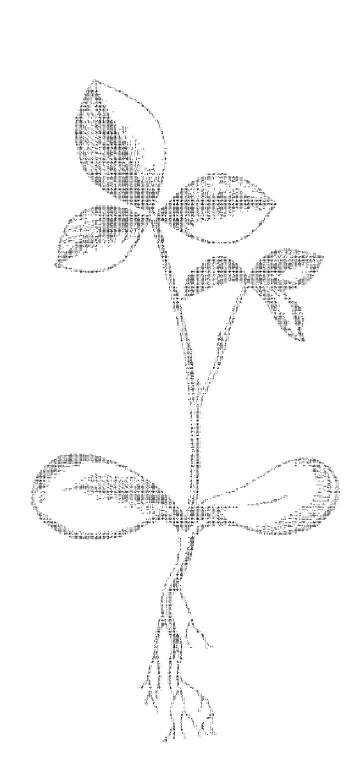


Издательство
«СОВЕТСКОЕ РАДИО»
Москва — 1968

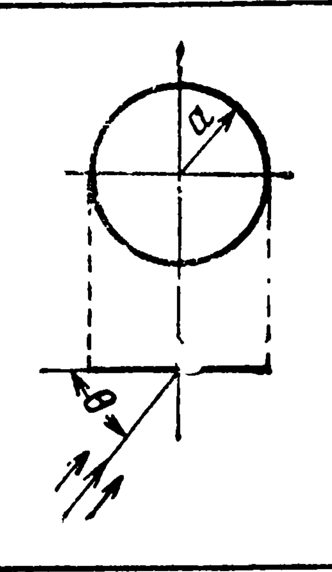
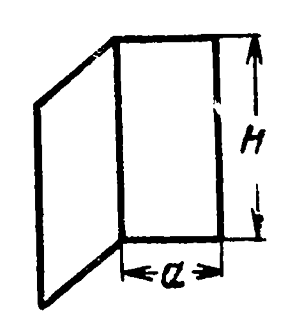
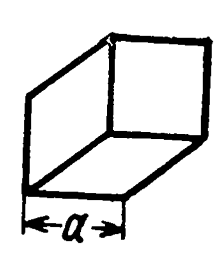
Ю. Г. СТЕПАНОВ

ПРОТИВОРАДИОЛОКАЦИОННАЯ МАСКИРОВКА



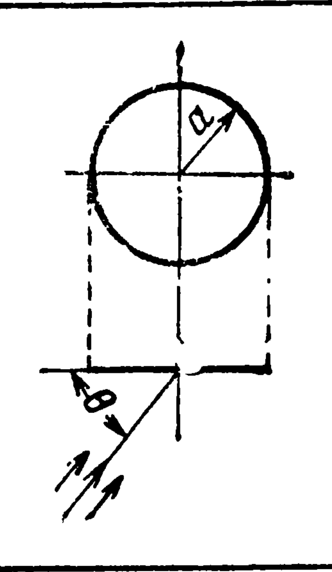
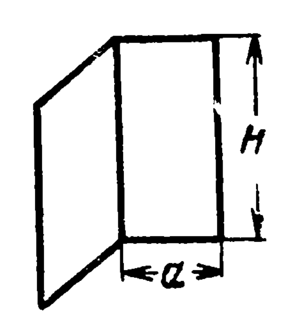
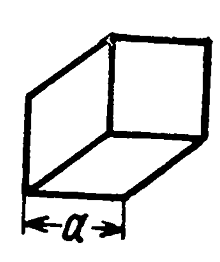


Издательство
«СОВЕТСКОЕ РАДИО»
Москва — 1968

	Плоский диск $$\sigma_ц = \pi k^2 a^4 \sin^2\theta \left[\frac{J_1(2ka\cos\theta)}{ka\cos\theta}\right]^2,$$ где J_1 — функция Бесселя 1-го порядка. При нормальном падении к плоскости диска: $$\sigma_ц = \frac{4\pi^3 a^4}{\lambda^2}$$
	Двугранный уголковый отражатель $$\sigma_ц = \frac{8\pi (aH)^2}{\lambda^2}$$ в максимуме диаграммы рассеяния
	Трехгранный уголковый отражатель $$\sigma_ц = \frac{12\pi a^4}{\lambda^2}$$ в максимуме диаграммы рассеяния

уравнений позволяют определить расчетным путем ЭПР только для тел простой геометрической формы (табл. 1.1).

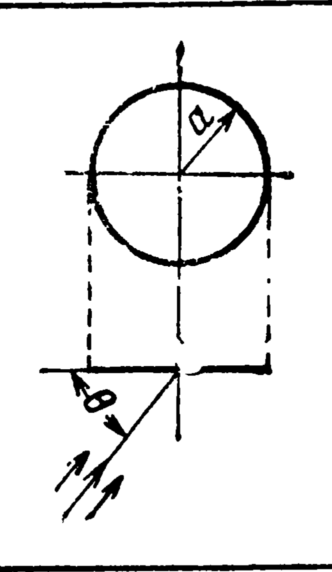
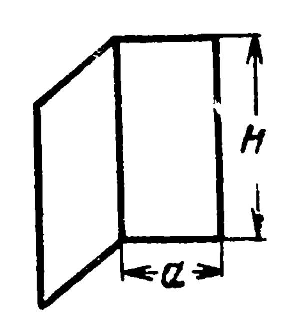
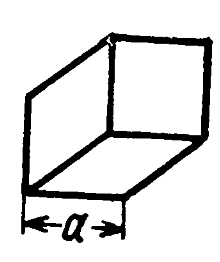
В реальных условиях радиолокационного обнаружения объекты простой геометрической формы встречаются довольно редко. Как правило, они имеют сложную конфигурацию и состоят из большого числа различных элементарных отражателей. Примерами одиночных целей сложной конфигурации могут служить корабли, самолеты, ракеты, различные наземные сооружения и т. д. Несколько одиночных объектов, расположенных в пределах отражающего объема (рис. 1.2) на относительно больших расстояниях по сравнению с длиной волны радиолокатора, образуют групповую цель.

	Плоский диск $$\sigma_ц = \pi k^2 a^4 \sin^2\theta \left[\frac{J_1(2ka\cos\theta)}{ka\cos\theta}\right]^2,$$ где J_1 — функция Бесселя 1-го порядка. При нормальном падении к плоскости диска: $$\sigma_ц = \frac{4\pi^3 a^4}{\lambda^2}$$
	Двугранный уголковый отражатель $$\sigma_ц = \frac{8\pi(aH)^2}{\lambda^2}$$ в максимуме диаграммы рассеяния
	Трехгранный уголковый отражатель $$\sigma_ц = \frac{12\pi a^4}{\lambda^2}$$ в максимуме диаграммы рассеяния

уравнений позволяют определить расчетным путем ЭПР только для тел простой геометрической формы (табл. 1.1).

В реальных условиях радиолокационного обнаружения объекты простой геометрической формы встречаются довольно редко. Как правило, они имеют сложную конфигурацию и состоят из большого числа различных элементарных отражателей. Примерами одиночных целей сложной конфигурации могут служить корабли, самолеты, ракеты, различные наземные сооружения и т. д. Несколько одиночных объектов, расположенных в пределах отражающего объема (рис. 1.2) на относительно больших расстояниях по сравнению с длиной волны радиолокатора, образуют групповую цель.

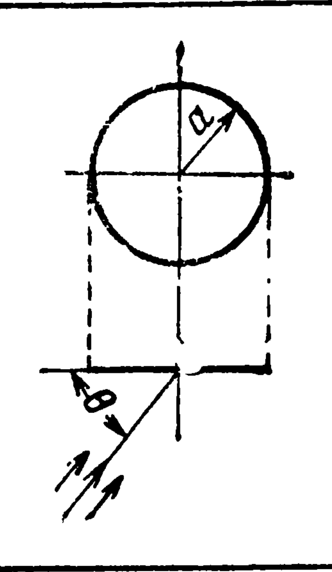
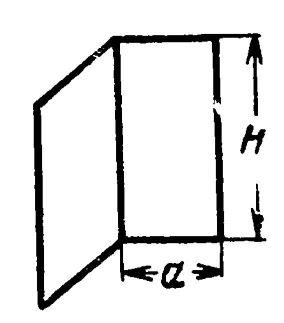
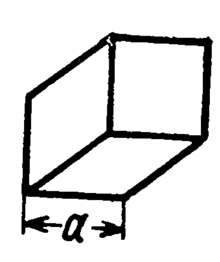
Продолжение табл. 1.1

	Плоский диск $\sigma_ц = \pi k^2 a^4 \sin^2\theta \left[\frac{J_1(2ka\cos\theta)}{ka\cos\theta}\right]^2,$ где J_1 — функция Бесселя 1-го порядка. При нормальном падении к плоскости диска: $\sigma_ц = \frac{4\pi^3 a^4}{\lambda^2}$
	Двугранный уголковый отражатель $\sigma_ц = \frac{8\pi(aH)^2}{\lambda^2}$ в максимуме диаграммы рассеяния
	Трехгранный уголковый отражатель $\sigma_ц = \frac{12\pi a^4}{\lambda^2}$ в максимуме диаграммы рассеяния

уравнений позволяют определить расчетным путем ЭПР только для тел простой геометрической формы (табл. 1.1).

В реальных условиях радиолокационного обнаружения объекты простой геометрической формы встречаются довольно редко. Как правило, они имеют сложную конфигурацию и состоят из большого числа различных элементарных отражателей. Примерами одиночных целей сложной конфигурации могут служить корабли, самолеты, ракеты, различные наземные сооружения и т. д. Несколько одиночных объектов, расположенных в пределах отражающего объема (рис. 1.2) на относительно больших расстояниях по сравнению с длиной волны радиолокатора, образуют групповую цель.

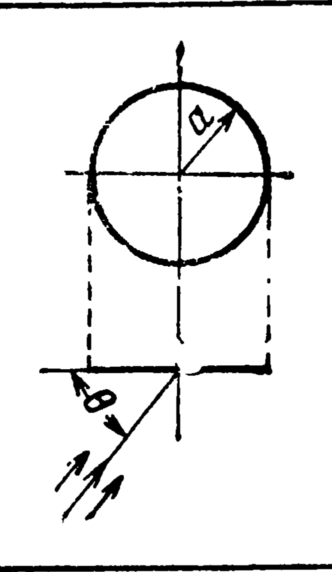
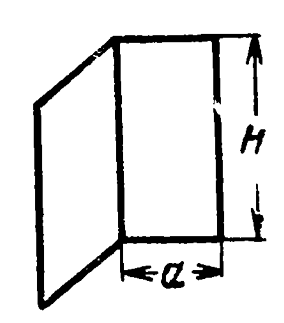
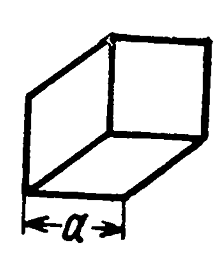
Продолжение табл. 1.1

	Плоский диск $$\sigma_ц = \pi k^2 a^4 \sin^2\theta \left[\frac{J_1(2ka\cos\theta)}{ka\cos\theta} \right]^2,$$ где J_1 — функция Бесселя 1-го порядка. При нормальном падении к плоскости диска: $$\sigma_ц = \frac{4\pi^3 a^4}{\lambda^2}$$
	Двугранный уголковый отражатель $$\sigma_ц = \frac{8\pi (aH)^2}{\lambda^2}$$ в максимуме диаграммы рассеяния
	Трехгранный уголковый отражатель $$\sigma_ц = \frac{12\pi a^4}{\lambda^2}$$ в максимуме диаграммы рассеяния

уравнений позволяют определить расчетным путем ЭПР только для тел простой геометрической формы (табл. 1.1).

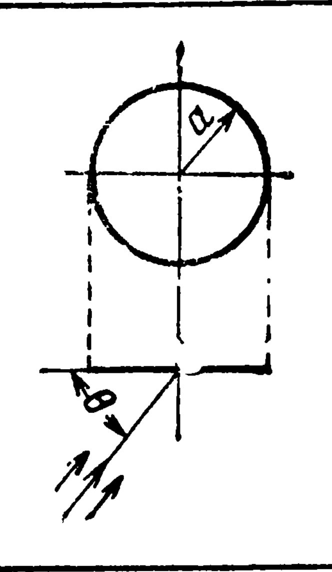
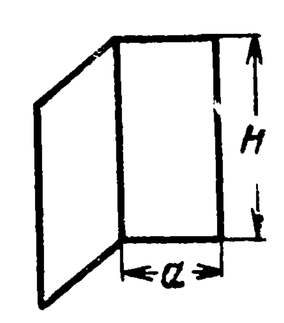
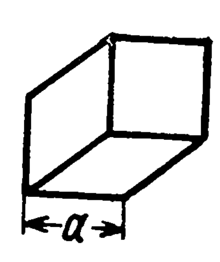
В реальных условиях радиолокационного обнаружения объекты простой геометрической формы встречаются довольно редко. Как правило, они имеют сложную конфигурацию и состоят из большого числа различных элементарных отражателей. Примерами одиночных целей сложной конфигурации могут служить корабли, самолеты, ракеты, различные наземные сооружения и т. д. Несколько одиночных объектов, расположенных в пределах отражающего объема (рис. 1.2) на относительно больших расстояниях по сравнению с длиной волны радиолокатора, образуют групповую цель.

Продолжение табл. 1.1

	Плоский диск $$\sigma_ц = \pi k^2 a^4 \sin^2\theta \left[\frac{J_1(2ka\cos\theta)}{ka\cos\theta}\right]^2,$$ где J_1 — функция Бесселя 1-го порядка. При нормальном падении к плоскости диска: $$\sigma_ц = \frac{4\pi^3 a^4}{\lambda^2}$$
	Двугранный уголковый отражатель $$\sigma_ц = \frac{8\pi(aH)^2}{\lambda^2}$$ в максимуме диаграммы рассеяния
	Трехгранный уголковый отражатель $$\sigma_ц = \frac{12\pi a^4}{\lambda^2}$$ в максимуме диаграммы рассеяния

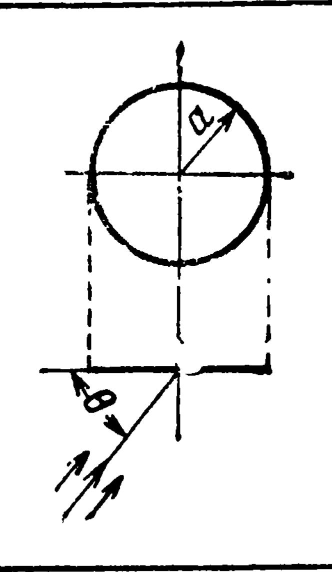
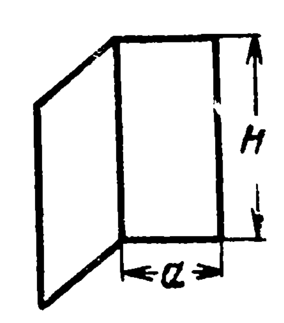
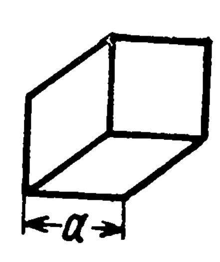
уравнений позволяют определить расчетным путем ЭПР только для тел простой геометрической формы (табл. 1.1).

В реальных условиях радиолокационного обнаружения объекты простой геометрической формы встречаются довольно редко. Как правило, они имеют сложную конфигурацию и состоят из большого числа различных элементарных отражателей. Примерами одиночных целей сложной конфигурации могут служить корабли, самолеты, ракеты, различные наземные сооружения и т. д. Несколько одиночных объектов, расположенных в пределах отражающего объема (рис. 1.2) на относительно больших расстояниях по сравнению с длиной волны радиолокатора, образуют групповую цель.

	Плоский диск $$\sigma_ц = \pi k^2 a^4 \sin^2\theta \left[\frac{J_1(2ka\cos\theta)}{ka\cos\theta}\right]^2,$$ где J_1 — функция Бесселя 1-го порядка. При нормальном падении к плоскости диска: $$\sigma_ц = \frac{4\pi^3 a^4}{\lambda^2}$$
	Двугранный уголковый отражатель $$\sigma_ц = \frac{8\pi (aH)^2}{\lambda^2}$$ в максимуме диаграммы рассеяния
	Трехгранный уголковый отражатель $$\sigma_ц = \frac{12\pi a^4}{\lambda^2}$$ в максимуме диаграммы рассеяния

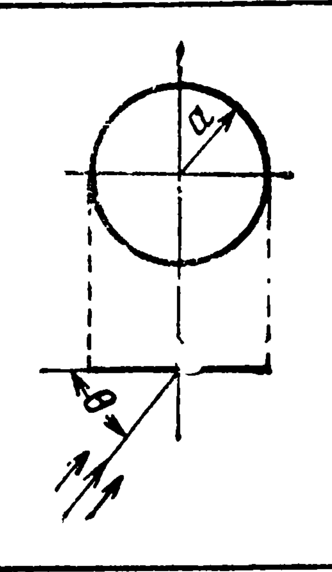
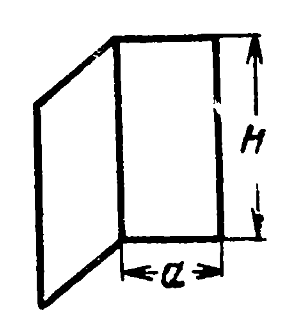
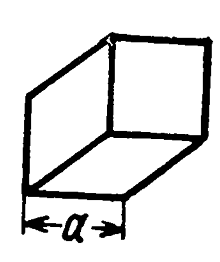
уравнений позволяют определить расчетным путем ЭПР только для тел простой геометрической формы (табл. 1.1).

В реальных условиях радиолокационного обнаружения объекты простой геометрической формы встречаются довольно редко. Как правило, они имеют сложную конфигурацию и состоят из большого числа различных элементарных отражателей. Примерами одиночных целей сложной конфигурации могут служить корабли, самолеты, ракеты, различные наземные сооружения и т. д. Несколько одиночных объектов, расположенных в пределах отражающего объема (рис. 1.2) на относительно больших расстояниях по сравнению с длиной волны радиолокатора, образуют групповую цель.

	Плоский диск $$\sigma_{ц} = \pi k^2 a^4 \sin^2\theta \left[\frac{J_1(2ka\cos\theta)}{ka\cos\theta}\right]^2,$$ где J_1 — функция Бесселя 1-го порядка. При нормальном падении к плоскости диска: $$\sigma_{ц} = \frac{4\pi^3 a^4}{\lambda^2}$$
	Двугранный уголковый отражатель $$\sigma_{ц} = \frac{8\pi(aH)^2}{\lambda^2}$$ в максимуме диаграммы рассеяния
	Трехгранный уголковый отражатель $$\sigma_{ц} = \frac{12\pi a^4}{\lambda^2}$$ в максимуме диаграммы рассеяния

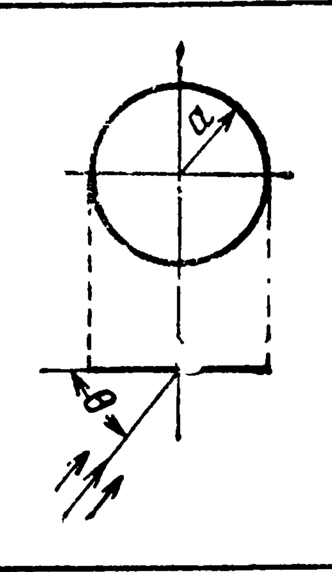
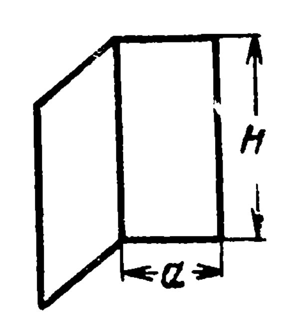
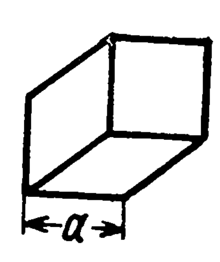
уравнений позволяют определить расчетным путем ЭПР только для тел простой геометрической формы (табл. 1.1).

В реальных условиях радиолокационного обнаружения объекты простой геометрической формы встречаются довольно редко. Как правило, они имеют сложную конфигурацию и состоят из большого числа различных элементарных отражателей. Примерами одиночных целей сложной конфигурации могут служить корабли, самолеты, ракеты, различные наземные сооружения и т. д. Несколько одиночных объектов, расположенных в пределах отражающего объема (рис. 1.2) на относительно больших расстояниях по сравнению с длиной волны радиолокатора, образуют групповую цель.

	Плоский диск $$\sigma_ц = \pi k^2 a^4 \sin^2\theta \left[\frac{J_1(2ka\cos\theta)}{ka\cos\theta}\right]^2,$$ где J_1 — функция Бесселя 1-го порядка. При нормальном падении к плоскости диска: $$\sigma_ц = \frac{4\pi^3 a^4}{\lambda^2}$$
	Двугранный уголковый отражатель $$\sigma_ц = \frac{8\pi (aH)^2}{\lambda^2}$$ в максимуме диаграммы рассеяния
	Трехгранный уголковый отражатель $$\sigma_ц = \frac{12\pi a^4}{\lambda^2}$$ в максимуме диаграммы рассеяния

уравнений позволяют определить расчетным путем ЭПР только для тел простой геометрической формы (табл. 1.1).

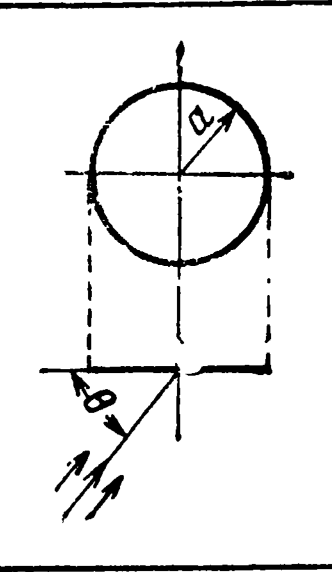
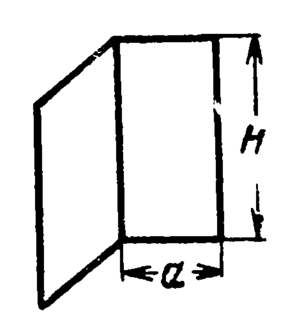
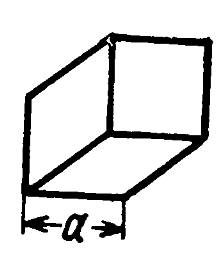
В реальных условиях радиолокационного обнаружения объекты простой геометрической формы встречаются довольно редко. Как правило, они имеют сложную конфигурацию и состоят из большого числа различных элементарных отражателей. Примерами одиночных целей сложной конфигурации могут служить корабли, самолеты, ракеты, различные наземные сооружения и т. д. Несколько одиночных объектов, расположенных в пределах отражающего объема (рис. 1.2) на относительно больших расстояниях по сравнению с длиной волны радиолокатора, образуют групповую цель.

	Плоский диск $$\sigma_ц = \pi k^2 a^4 \sin^2\theta \left[\frac{J_1(2ka\cos\theta)}{ka\cos\theta}\right]^2,$$ где J_1 — функция Бесселя 1-го порядка. При нормальном падении к плоскости диска: $$\sigma_ц = \frac{4\pi^3 a^4}{\lambda^2}$$
	Двугранный уголковый отражатель $$\sigma_ц = \frac{8\pi (aH)^2}{\lambda^2}$$ в максимуме диаграммы рассеяния
	Трехгранный уголковый отражатель $$\sigma_ц = \frac{12\pi a^4}{\lambda^2}$$ в максимуме диаграммы рассеяния

уравнений позволяют определить расчетным путем ЭПР только для тел простой геометрической формы (табл. 1.1).

В реальных условиях радиолокационного обнаружения объекты простой геометрической формы встречаются довольно редко. Как правило, они имеют сложную конфигурацию и состоят из большого числа различных элементарных отражателей. Примерами одиночных целей сложной конфигурации могут служить корабли, самолеты, ракеты, различные наземные сооружения и т. д. Несколько одиночных объектов, расположенных в пределах отражающего объема (рис. 1.2) на относительно больших расстояниях по сравнению с длиной волны радиолокатора, образуют групповую цель.

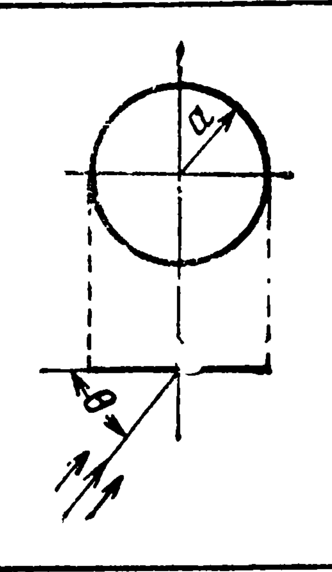
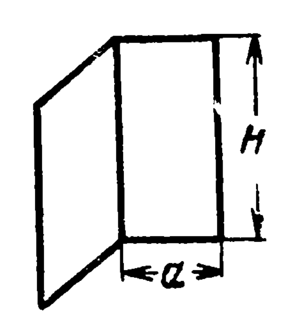
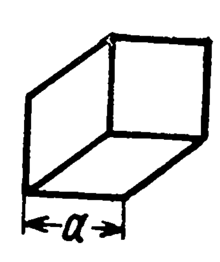
Продолжение табл. 1.1

	Плоский диск $$\sigma_ц = \pi k^2 a^4 \sin^2\theta \left[\frac{J_1(2ka\cos\theta)}{ka\cos\theta}\right]^2,$$ где J_1 — функция Бесселя 1-го порядка. При нормальном падении к плоскости диска: $$\sigma_ц = \frac{4\pi^3 a^4}{\lambda^2}$$
	Двугранный уголковый отражатель $$\sigma_ц = \frac{8\pi (aH)^2}{\lambda^2}$$ в максимуме диаграммы рассеяния
	Трехгранный уголковый отражатель $$\sigma_ц = \frac{12\pi a^4}{\lambda^2}$$ в максимуме диаграммы рассеяния

уравнений позволяют определить расчетным путем ЭПР только для тел простой геометрической формы (табл. 1.1).

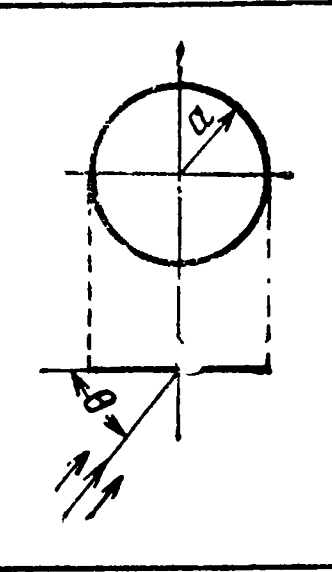
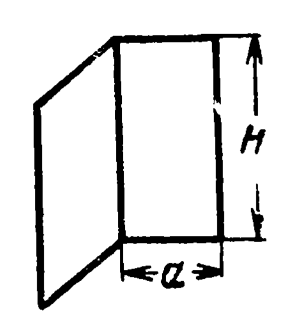
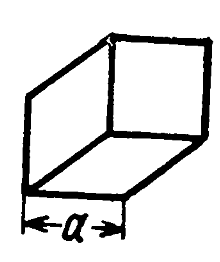
В реальных условиях радиолокационного обнаружения объекты простой геометрической формы встречаются довольно редко. Как правило, они имеют сложную конфигурацию и состоят из большого числа различных элементарных отражателей. Примерами одиночных целей сложной конфигурации могут служить корабли, самолеты, ракеты, различные наземные сооружения и т. д. Несколько одиночных объектов, расположенных в пределах отражающего объема (рис. 1.2) на относительно больших расстояниях по сравнению с длиной волны радиолокатора, образуют групповую цель.

Продолжение табл. 1.1

	Плоский диск $$\sigma_ц = \pi k^2 a^4 \sin^2\theta \left[\frac{J_1(2ka\cos\theta)}{ka\cos\theta} \right]^2,$$ где J_1 — функция Бесселя 1-го порядка. При нормальном падении к плоскости диска: $$\sigma_ц = \frac{4\pi^3 a^4}{\lambda^2}$$
	Двугранный уголковый отражатель $$\sigma_ц = \frac{8\pi (aH)^2}{\lambda^2}$$ в максимуме диаграммы рассеяния
	Трехгранный уголковый отражатель $$\sigma_ц = \frac{12\pi a^4}{\lambda^2}$$ в максимуме диаграммы рассеяния

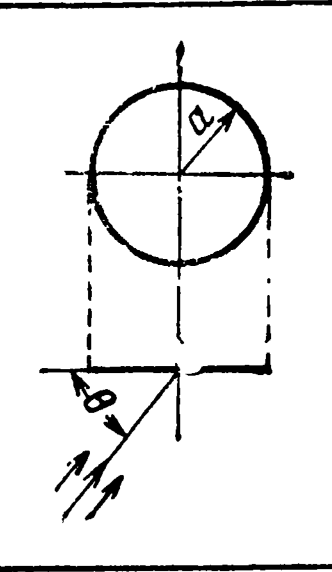
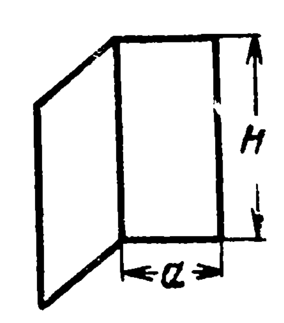
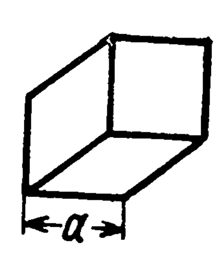
уравнений позволяют определить расчетным путем ЭПР только для тел простой геометрической формы (табл. 1.1).

В реальных условиях радиолокационного обнаружения объекты простой геометрической формы встречаются довольно редко. Как правило, они имеют сложную конфигурацию и состоят из большого числа различных элементарных отражателей. Примерами одиночных целей сложной конфигурации могут служить корабли, самолеты, ракеты, различные наземные сооружения и т. д. Несколько одиночных объектов, расположенных в пределах отражающего объема (рис. 1.2) на относительно больших расстояниях по сравнению с длиной волны радиолокатора, образуют групповую цель.

	Плоский диск $\sigma_ц = \pi k^2 a^4 \sin^2 \theta \left[\frac{J_1(2ka \cos \theta)}{ka \cos \theta} \right]^2,$ где J_1 — функция Бесселя 1-го порядка. При нормальном падении к плоскости диска: $\sigma_ц = \frac{4\pi^3 a^4}{\lambda^2}$
	Двугранный уголковый отражатель $\sigma_ц = \frac{8\pi (aH)^2}{\lambda^2}$ в максимуме диаграммы рассеяния
	Трехгранный уголковый отражатель $\sigma_ц = \frac{12\pi a^4}{\lambda^2}$ в максимуме диаграммы рассеяния

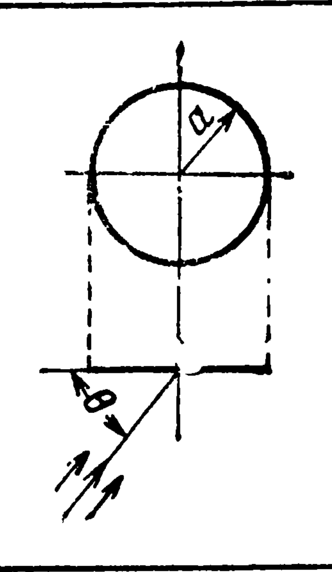
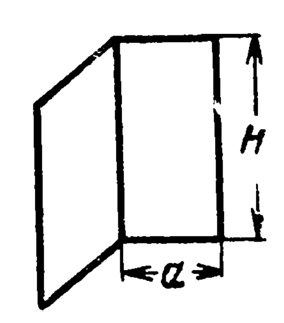
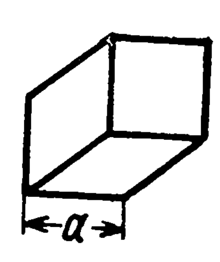
уравнений позволяют определить расчетным путем ЭПР только для тел простой геометрической формы (табл. 1.1).

В реальных условиях радиолокационного обнаружения объекты простой геометрической формы встречаются довольно редко. Как правило, они имеют сложную конфигурацию и состоят из большого числа различных элементарных отражателей. Примерами одиночных целей сложной конфигурации могут служить корабли, самолеты, ракеты, различные наземные сооружения и т. д. Несколько одиночных объектов, расположенных в пределах отражающего объема (рис. 1.2) на относительно больших расстояниях по сравнению с длиной волны радиолокатора, образуют групповую цель.

	Плоский диск $$\sigma_ц = \pi k^2 a^4 \sin^2\theta \left[\frac{J_1(2ka\cos\theta)}{ka\cos\theta} \right]^2,$$ где J_1 — функция Бесселя 1-го порядка. При нормальном падении к плоскости диска: $$\sigma_ц = \frac{4\pi^3 a^4}{\lambda^2}$$
	Двугранный уголковый отражатель $$\sigma_ц = \frac{8\pi (aH)^2}{\lambda^2}$$ в максимуме диаграммы рассеяния
	Трехгранный уголковый отражатель $$\sigma_ц = \frac{12\pi a^4}{\lambda^2}$$ в максимуме диаграммы рассеяния

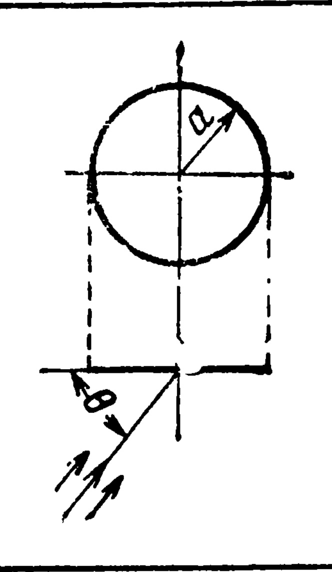
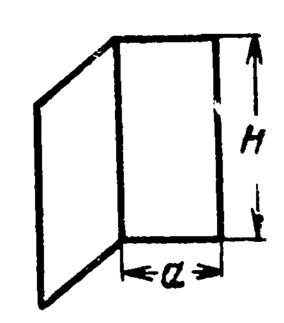
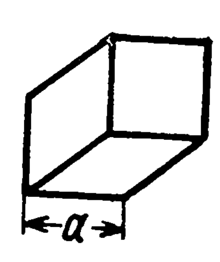
уравнений позволяют определить расчетным путем ЭПР только для тел простой геометрической формы (табл. 1.1).

В реальных условиях радиолокационного обнаружения объекты простой геометрической формы встречаются довольно редко. Как правило, они имеют сложную конфигурацию и состоят из большого числа различных элементарных отражателей. Примерами одиночных целей сложной конфигурации могут служить корабли, самолеты, ракеты, различные наземные сооружения и т. д. Несколько одиночных объектов, расположенных в пределах отражающего объема (рис. 1.2) на относительно больших расстояниях по сравнению с длиной волны радиолокатора, образуют групповую цель.

	Плоский диск $$\sigma_ц = \pi k^2 a^4 \sin^2\theta \left[\frac{J_1(2ka\cos\theta)}{ka\cos\theta} \right]^2,$$ где J_1 — функция Бесселя 1-го порядка. При нормальном падении к плоскости диска: $$\sigma_ц = \frac{4\pi^3 a^4}{\lambda^2}$$
	Двугранный уголковый отражатель $$\sigma_ц = \frac{8\pi (aH)^2}{\lambda^2}$$ в максимуме диаграммы рассеяния
	Трехгранный уголковый отражатель $$\sigma_ц = \frac{12\pi a^4}{\lambda^2}$$ в максимуме диаграммы рассеяния

уравнений позволяют определить расчетным путем ЭПР только для тел простой геометрической формы (табл. 1.1).

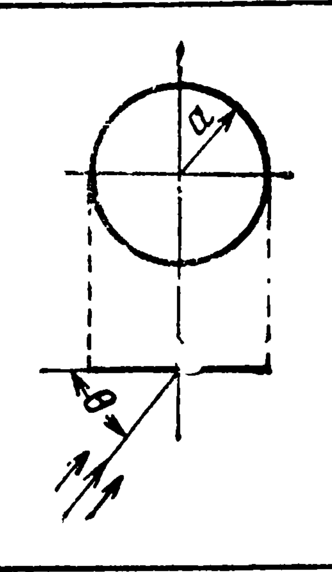
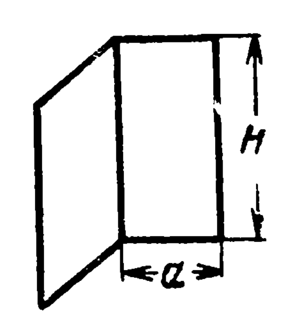
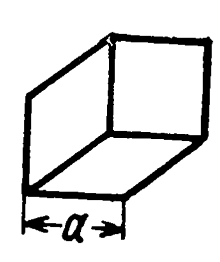
В реальных условиях радиолокационного обнаружения объекты простой геометрической формы встречаются довольно редко. Как правило, они имеют сложную конфигурацию и состоят из большого числа различных элементарных отражателей. Примерами одиночных целей сложной конфигурации могут служить корабли, самолеты, ракеты, различные наземные сооружения и т. д. Несколько одиночных объектов, расположенных в пределах отражающего объема (рис. 1.2) на относительно больших расстояниях по сравнению с длиной волны радиолокатора, образуют групповую цель.

	Плоский диск $$\sigma_ц = \pi k^2 a^4 \sin^2\theta \left[\frac{J_1(2ka\cos\theta)}{ka\cos\theta}\right]^2,$$ где J_1 — функция Бесселя 1-го порядка. При нормальном падении к плоскости диска: $$\sigma_ц = \frac{4\pi^3 a^4}{\lambda^2}$$
	Двугранный уголковый отражатель $$\sigma_ц = \frac{8\pi (aH)^2}{\lambda^2}$$ в максимуме диаграммы рассеяния
	Трехгранный уголковый отражатель $$\sigma_ц = \frac{12\pi a^4}{\lambda^2}$$ в максимуме диаграммы рассеяния

уравнений позволяют определить расчетным путем ЭПР только для тел простой геометрической формы (табл. 1.1).

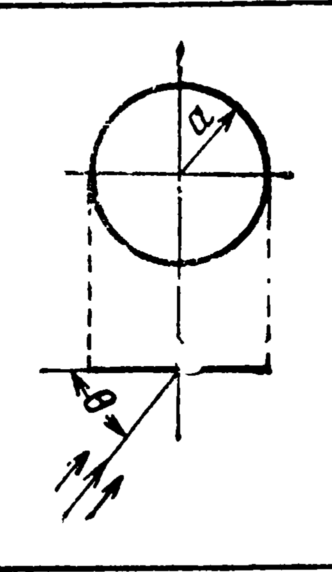
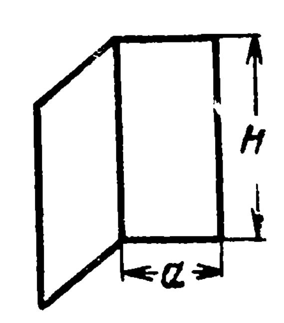
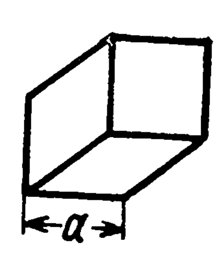
В реальных условиях радиолокационного обнаружения объекты простой геометрической формы встречаются довольно редко. Как правило, они имеют сложную конфигурацию и состоят из большого числа различных элементарных отражателей. Примерами одиночных целей сложной конфигурации могут служить корабли, самолеты, ракеты, различные наземные сооружения и т. д. Несколько одиночных объектов, расположенных в пределах отражающего объема (рис. 1.2) на относительно больших расстояниях по сравнению с длиной волны радиолокатора, образуют групповую цель.

Продолжение табл. 1.1

	Плоский диск $\sigma_{ц} = \pi k^2 a^4 \sin^2\theta \left[\frac{J_1(2ka\cos\theta)}{ka\cos\theta} \right]^2,$ где J_1 — функция Бесселя 1-го порядка. При нормальном падении к плоскости диска: $\sigma_{ц} = \frac{4\pi^3 a^4}{\lambda^2}$
	Двугранный уголковый отражатель $\sigma_{ц} = \frac{8\pi (aH)^2}{\lambda^2}$ в максимуме диаграммы рассеяния
	Трехгранный уголковый отражатель $\sigma_{ц} = \frac{12\pi a^4}{\lambda^2}$ в максимуме диаграммы рассеяния

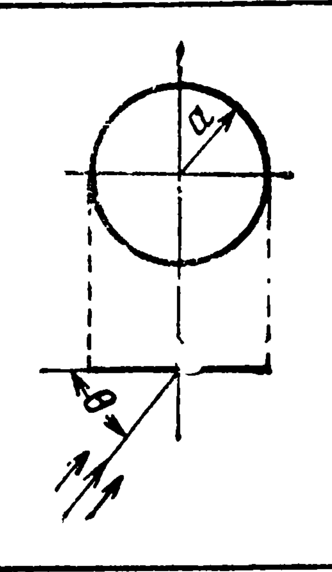
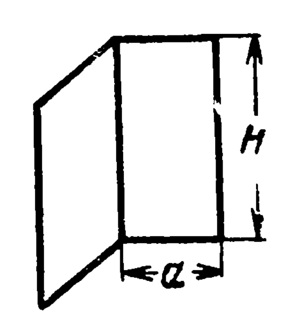
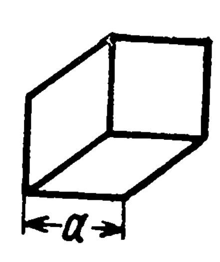
уравнений позволяют определить расчетным путем ЭПР только для тел простой геометрической формы (табл. 1.1).

В реальных условиях радиолокационного обнаружения объекты простой геометрической формы встречаются довольно редко. Как правило, они имеют сложную конфигурацию и состоят из большого числа различных элементарных отражателей. Примерами одиночных целей сложной конфигурации могут служить корабли, самолеты, ракеты, различные наземные сооружения и т. д. Несколько одиночных объектов, расположенных в пределах отражающего объема (рис. 1.2) на относительно больших расстояниях по сравнению с длиной волны радиолокатора, образуют групповую цель.

	Плоский диск $\sigma_ц = \pi k^2 a^4 \sin^2\theta \left[\frac{J_1(2ka\cos\theta)}{ka\cos\theta}\right]^2,$ где J_1 — функция Бесселя 1-го порядка. При нормальном падении к плоскости диска: $\sigma_ц = \frac{4\pi^3 a^4}{\lambda^2}$
	Двугранный уголковый отражатель $\sigma_ц = \frac{8\pi (aH)^2}{\lambda^2}$ в максимуме диаграммы рассеяния
	Трехгранный уголковый отражатель $\sigma_ц = \frac{12\pi a^4}{\lambda^2}$ в максимуме диаграммы рассеяния

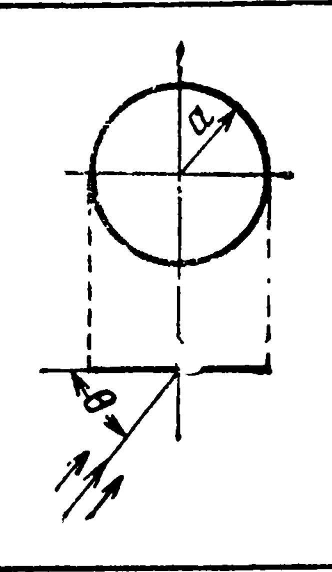
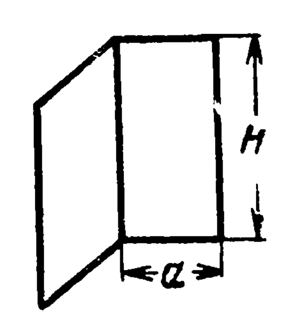
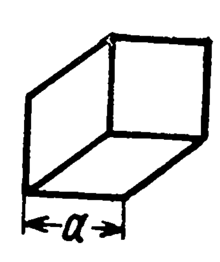
уравнений позволяют определить расчетным путем ЭПР только для тел простой геометрической формы (табл. 1.1).

В реальных условиях радиолокационного обнаружения объекты простой геометрической формы встречаются довольно редко. Как правило, они имеют сложную конфигурацию и состоят из большого числа различных элементарных отражателей. Примерами одиночных целей сложной конфигурации могут служить корабли, самолеты, ракеты, различные наземные сооружения и т. д. Несколько одиночных объектов, расположенных в пределах отражающего объема (рис. 1.2) на относительно больших расстояниях по сравнению с длиной волны радиолокатора, образуют групповую цель.

	Плоский диск $$\sigma_ц = \pi k^2 a^4 \sin^2\theta \left[\frac{J_1(2ka\cos\theta)}{ka\cos\theta}\right]^2,$$ где J_1 — функция Бесселя 1-го порядка. При нормальном падении к плоскости диска: $$\sigma_ц = \frac{4\pi^3 a^4}{\lambda^2}$$
	Двугранный уголковый отражатель $$\sigma_ц = \frac{8\pi (aH)^2}{\lambda^2}$$ в максимуме диаграммы рассеяния
	Трехгранный уголковый отражатель $$\sigma_ц = \frac{12\pi a^4}{\lambda^2}$$ в максимуме диаграммы рассеяния

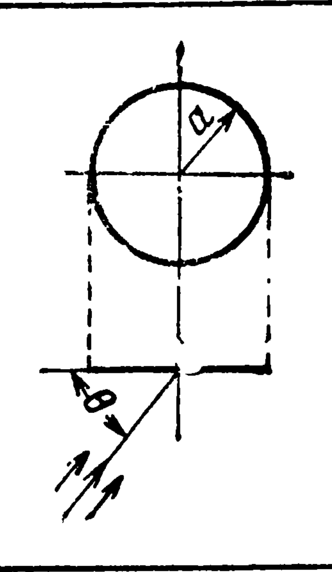
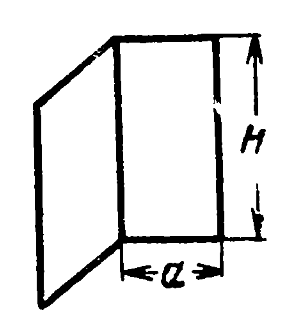
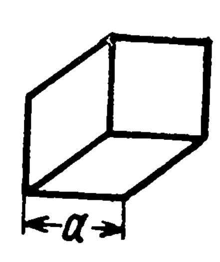
уравнений позволяют определить расчетным путем ЭПР только для тел простой геометрической формы (табл. 1.1).

В реальных условиях радиолокационного обнаружения объекты простой геометрической формы встречаются довольно редко. Как правило, они имеют сложную конфигурацию и состоят из большого числа различных элементарных отражателей. Примерами одиночных целей сложной конфигурации могут служить корабли, самолеты, ракеты, различные наземные сооружения и т. д. Несколько одиночных объектов, расположенных в пределах отражающего объема (рис. 1.2) на относительно больших расстояниях по сравнению с длиной волны радиолокатора, образуют групповую цель.

	Плоский диск $$\sigma_ц = \pi k^2 a^4 \sin^2\theta \left[\frac{J_1(2ka\cos\theta)}{ka\cos\theta}\right]^2,$$ где J_1 — функция Бесселя 1-го порядка. При нормальном падении к плоскости диска: $$\sigma_ц = \frac{4\pi^3 a^4}{\lambda^2}$$
	Двугранный уголковый отражатель $$\sigma_ц = \frac{8\pi (aH)^2}{\lambda^2}$$ в максимуме диаграммы рассеяния
	Трехгранный уголковый отражатель $$\sigma_ц = \frac{12\pi a^4}{\lambda^2}$$ в максимуме диаграммы рассеяния

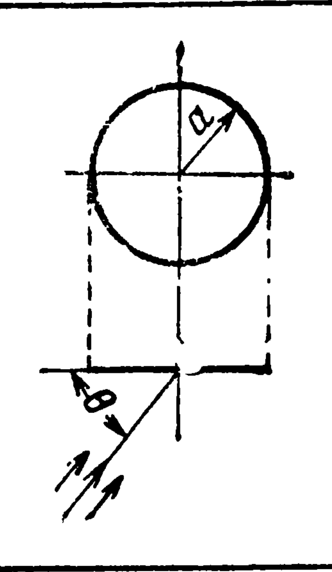
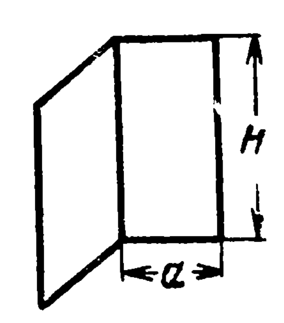
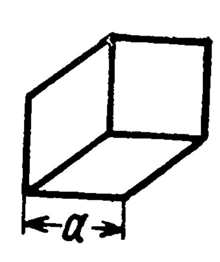
уравнений позволяют определить расчетным путем ЭПР только для тел простой геометрической формы (табл. 1.1).

В реальных условиях радиолокационного обнаружения объекты простой геометрической формы встречаются довольно редко. Как правило, они имеют сложную конфигурацию и состоят из большого числа различных элементарных отражателей. Примерами одиночных целей сложной конфигурации могут служить корабли, самолеты, ракеты, различные наземные сооружения и т. д. Несколько одиночных объектов, расположенных в пределах отражающего объема (рис. 1.2) на относительно больших расстояниях по сравнению с длиной волны радиолокатора, образуют групповую цель.

	Плоский диск $\sigma_ц = \pi k^2 a^4 \sin^2 \theta \left[\frac{J_1 (2ka \cos \theta)}{ka \cos \theta} \right]^2,$ где J_1 — функция Бесселя 1-го порядка. При нормальном падении к плоскости диска: $\sigma_ц = \frac{4\pi^3 a^4}{\lambda^2}$
	Двугранный уголковый отражатель $\sigma_ц = \frac{8\pi (aH)^2}{\lambda^2}$ в максимуме диаграммы рассеяния
	Трехгранный уголковый отражатель $\sigma_ц = \frac{12\pi a^4}{\lambda^2}$ в максимуме диаграммы рассеяния

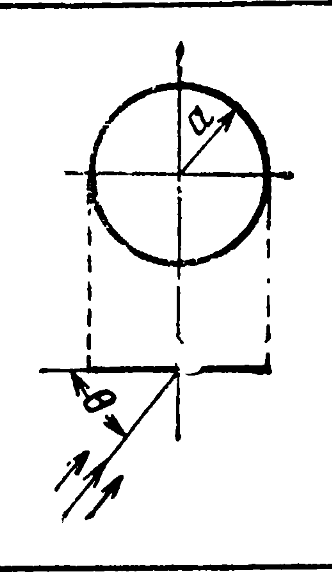
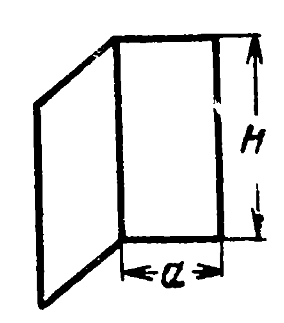
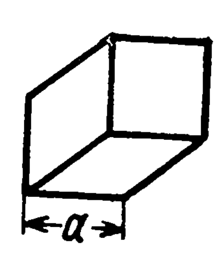
уравнений позволяют определить расчетным путем ЭПР только для тел простой геометрической формы (табл. 1.1).

В реальных условиях радиолокационного обнаружения объекты простой геометрической формы встречаются довольно редко. Как правило, они имеют сложную конфигурацию и состоят из большого числа различных элементарных отражателей. Примерами одиночных целей сложной конфигурации могут служить корабли, самолеты, ракеты, различные наземные сооружения и т. д. Несколько одиночных объектов, расположенных в пределах отражающего объема (рис. 1.2) на относительно больших расстояниях по сравнению с длиной волны радиолокатора, образуют групповую цель.

	Плоский диск $\sigma_ц = \pi k^2 a^4 \sin^2 \theta \left[\frac{J_1 (2ka \cos \theta)}{ka \cos \theta} \right]^2,$ где J_1 — функция Бесселя 1-го порядка. При нормальном падении к плоскости диска: $\sigma_ц = \frac{4\pi^3 a^4}{\lambda^2}$
	Двугранный уголковый отражатель $\sigma_ц = \frac{8\pi (aH)^2}{\lambda^2}$ в максимуме диаграммы рассеяния
	Трехгранный уголковый отражатель $\sigma_ц = \frac{12\pi a^4}{\lambda^2}$ в максимуме диаграммы рассеяния

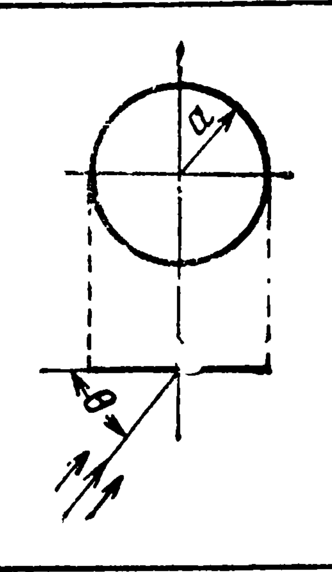
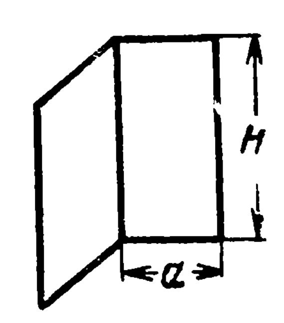
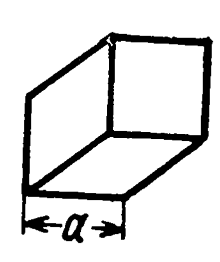
уравнений позволяют определить расчетным путем ЭПР только для тел простой геометрической формы (табл. 1.1).

В реальных условиях радиолокационного обнаружения объекты простой геометрической формы встречаются довольно редко. Как правило, они имеют сложную конфигурацию и состоят из большого числа различных элементарных отражателей. Примерами одиночных целей сложной конфигурации могут служить корабли, самолеты, ракеты, различные наземные сооружения и т. д. Несколько одиночных объектов, расположенных в пределах отражающего объема (рис. 1.2) на относительно больших расстояниях по сравнению с длиной волны радиолокатора, образуют групповую цель.

	Плоский диск $$\sigma_ц = \pi k^2 a^4 \sin^2\theta \left[\frac{J_1(2ka\cos\theta)}{ka\cos\theta}\right]^2,$$ где J_1 — функция Бесселя 1-го порядка. При нормальном падении к плоскости диска: $$\sigma_ц = \frac{4\pi^3 a^4}{\lambda^2}$$
	Двугранный уголковый отражатель $$\sigma_ц = \frac{8\pi (aH)^2}{\lambda^2}$$ в максимуме диаграммы рассеяния
	Трехгранный уголковый отражатель $$\sigma_ц = \frac{12\pi a^4}{\lambda^2}$$ в максимуме диаграммы рассеяния

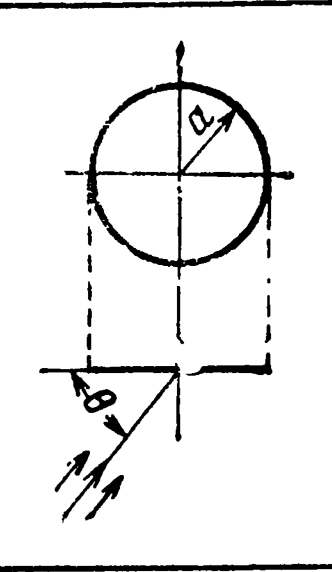
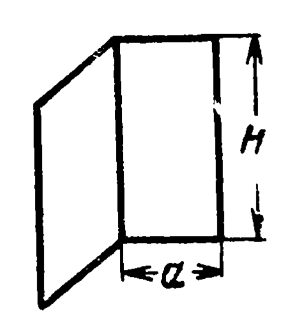
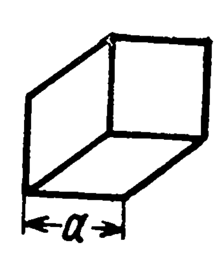
уравнений позволяют определить расчетным путем ЭПР только для тел простой геометрической формы (табл. 1.1).

В реальных условиях радиолокационного обнаружения объекты простой геометрической формы встречаются довольно редко. Как правило, они имеют сложную конфигурацию и состоят из большого числа различных элементарных отражателей. Примерами одиночных целей сложной конфигурации могут служить корабли, самолеты, ракеты, различные наземные сооружения и т. д. Несколько одиночных объектов, расположенных в пределах отражающего объема (рис. 1.2) на относительно больших расстояниях по сравнению с длиной волны радиолокатора, образуют групповую цель.

	Плоский диск $\sigma_ц = \pi k^2 a^4 \sin^2\theta \left[\frac{J_1(2ka\cos\theta)}{ka\cos\theta}\right]^2,$ где J_1 — функция Бесселя 1-го порядка. При нормальном падении к плоскости диска: $\sigma_ц = \frac{4\pi^3 a^4}{\lambda^2}$
	Двугранный уголковый отражатель $\sigma_ц = \frac{8\pi (aH)^2}{\lambda^2}$ в максимуме диаграммы рассеяния
	Трехгранный уголковый отражатель $\sigma_ц = \frac{12\pi a^4}{\lambda^2}$ в максимуме диаграммы рассеяния

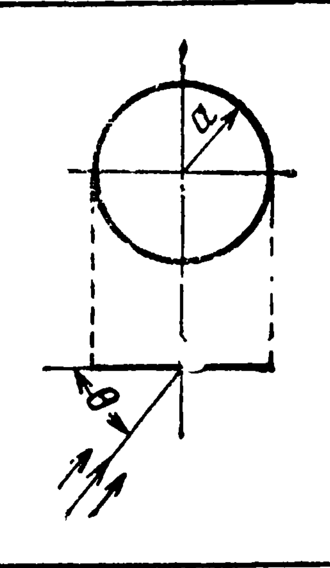
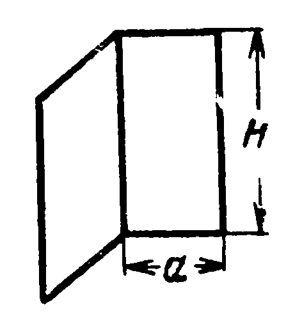
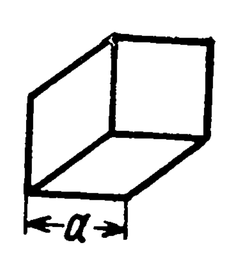
уравнений позволяют определить расчетным путем ЭПР только для тел простой геометрической формы (табл. 1.1).

В реальных условиях радиолокационного обнаружения объекты простой геометрической формы встречаются довольно редко. Как правило, они имеют сложную конфигурацию и состоят из большого числа различных элементарных отражателей. Примерами одиночных целей сложной конфигурации могут служить корабли, самолеты, ракеты, различные наземные сооружения и т. д. Несколько одиночных объектов, расположенных в пределах отражающего объема (рис. 1.2) на относительно больших расстояниях по сравнению с длиной волны радиолокатора, образуют групповую цель.

	Плоский диск $$\sigma_ц = \pi k^2 a^4 \sin^2\theta \left[\frac{J_1(2ka\cos\theta)}{ka\cos\theta}\right]^2,$$ где J_1 — функция Бесселя 1-го порядка. При нормальном падении к плоскости диска: $$\sigma_ц = \frac{4\pi^3 a^4}{\lambda^2}$$
	Двугранный уголковый отражатель $$\sigma_ц = \frac{8\pi (aH)^2}{\lambda^2}$$ в максимуме диаграммы рассеяния
	Трехгранный уголковый отражатель $$\sigma_ц = \frac{12\pi a^4}{\lambda^2}$$ в максимуме диаграммы рассеяния

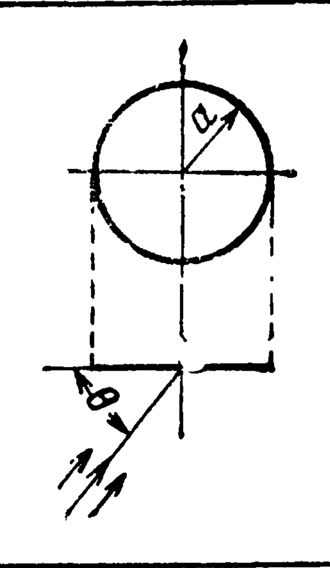
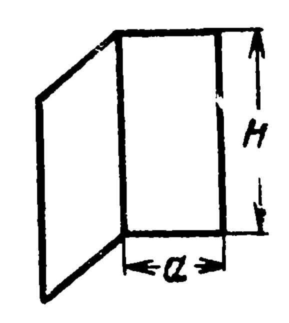
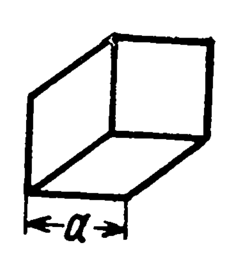
уравнений позволяют определить расчетным путем ЭПР только для тел простой геометрической формы (табл. 1.1).

В реальных условиях радиолокационного обнаружения объекты простой геометрической формы встречаются довольно редко. Как правило, они имеют сложную конфигурацию и состоят из большого числа различных элементарных отражателей. Примерами одиночных целей сложной конфигурации могут служить корабли, самолеты, ракеты, различные наземные сооружения и т. д. Несколько одиночных объектов, расположенных в пределах отражающего объема (рис. 1.2) на относительно больших расстояниях по сравнению с длиной волны радиолокатора, образуют групповую цель.

	Плоский диск $$\sigma_{ц} = \pi k^2 a^4 \sin^2\theta \left[\frac{J_1(2ka\cos\theta)}{ka\cos\theta}\right]^2,$$ где J_1 — функция Бесселя 1-го порядка. При нормальном падении к плоскости диска: $$\sigma_{ц} = \frac{4\pi^3 a^4}{\lambda^2}$$
	Двугранный уголковый отражатель $$\sigma_{ц} = \frac{8\pi (aH)^2}{\lambda^2}$$ в максимуме диаграммы рассеяния
	Трехгранный уголковый отражатель $$\sigma_{ц} = \frac{12\pi a^4}{\lambda^2}$$ в максимуме диаграммы рассеяния

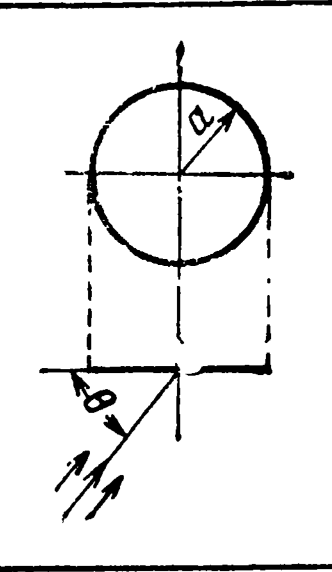
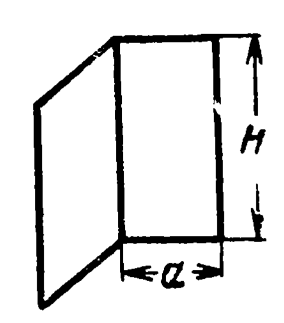
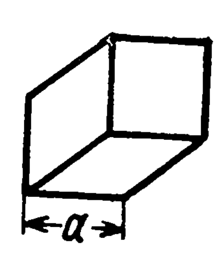
уравнений позволяют определить расчетным путем ЭПР только для тел простой геометрической формы (табл. 1.1).

В реальных условиях радиолокационного обнаружения объекты простой геометрической формы встречаются довольно редко. Как правило, они имеют сложную конфигурацию и состоят из большого числа различных элементарных отражателей. Примерами одиночных целей сложной конфигурации могут служить корабли, самолеты, ракеты, различные наземные сооружения и т. д. Несколько одиночных объектов, расположенных в пределах отражающего объема (рис. 1.2) на относительно больших расстояниях по сравнению с длиной волны радиолокатора, образуют групповую цель.

	Плоский диск $$\sigma_ц = \pi k^2 a^4 \sin^2 \theta \left[\frac{J_1(2ka \cos \theta)}{ka \cos \theta} \right]^2,$$ где J_1 — функция Бесселя 1-го порядка. При нормальном падении к плоскости диска: $$\sigma_ц = \frac{4\pi^3 a^4}{\lambda^2}$$
	Двугранный уголковый отражатель $$\sigma_ц = \frac{8\pi (aH)^2}{\lambda^2}$$ в максимуме диаграммы рассеяния
	Трехгранный уголковый отражатель $$\sigma_ц = \frac{12\pi a^4}{\lambda^2}$$ в максимуме диаграммы рассеяния

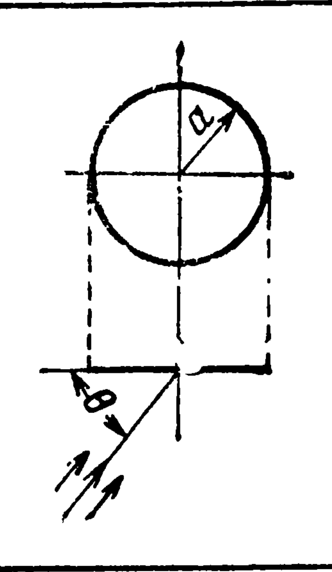
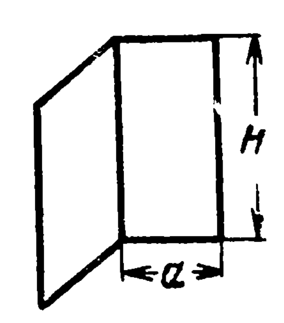
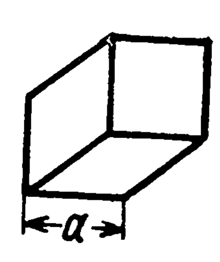
уравнений позволяют определить расчетным путем ЭПР только для тел простой геометрической формы (табл. 1.1).

В реальных условиях радиолокационного обнаружения объекты простой геометрической формы встречаются довольно редко. Как правило, они имеют сложную конфигурацию и состоят из большого числа различных элементарных отражателей. Примерами одиночных целей сложной конфигурации могут служить корабли, самолеты, ракеты, различные наземные сооружения и т. д. Несколько одиночных объектов, расположенных в пределах отражающего объема (рис. 1.2) на относительно больших расстояниях по сравнению с длиной волны радиолокатора, образуют групповую цель.

	Плоский диск $$\sigma_ц = \pi k^2 a^4 \sin^2\theta \left[\frac{J_1(2ka\cos\theta)}{ka\cos\theta}\right]^2,$$ где J_1 — функция Бесселя 1-го порядка. При нормальном падении к плоскости диска: $$\sigma_ц = \frac{4\pi^3 a^4}{\lambda^2}$$
	Двугранный уголковый отражатель $$\sigma_ц = \frac{8\pi (aH)^2}{\lambda^2}$$ в максимуме диаграммы рассеяния
	Трехгранный уголковый отражатель $$\sigma_ц = \frac{12\pi a^4}{\lambda^2}$$ в максимуме диаграммы рассеяния

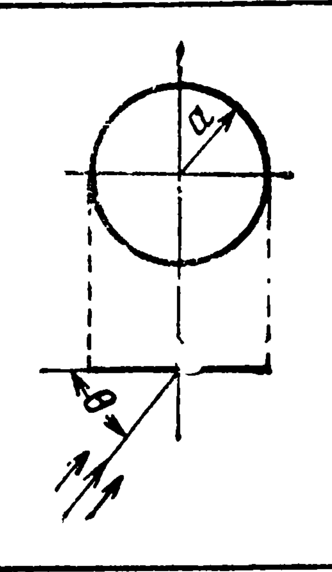
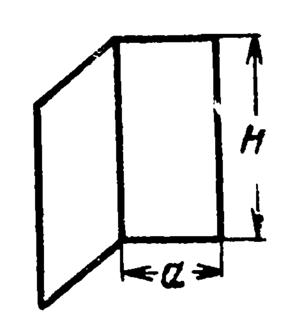
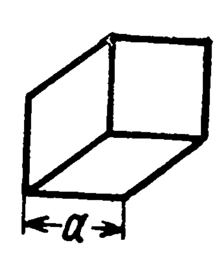
уравнений позволяют определить расчетным путем ЭПР только для тел простой геометрической формы (табл. 1.1).

В реальных условиях радиолокационного обнаружения объекты простой геометрической формы встречаются довольно редко. Как правило, они имеют сложную конфигурацию и состоят из большого числа различных элементарных отражателей. Примерами одиночных целей сложной конфигурации могут служить корабли, самолеты, ракеты, различные наземные сооружения и т. д. Несколько одиночных объектов, расположенных в пределах отражающего объема (рис. 1.2) на относительно больших расстояниях по сравнению с длиной волны радиолокатора, образуют групповую цель.

	Плоский диск $$\sigma_ц = \pi k^2 a^4 \sin^2\theta \left[\frac{J_1(2ka\cos\theta)}{ka\cos\theta}\right]^2,$$ где J_1 — функция Бесселя 1-го порядка. При нормальном падении к плоскости диска: $$\sigma_ц = \frac{4\pi^3 a^4}{\lambda^2}$$
	Двугранный уголковый отражатель $$\sigma_ц = \frac{8\pi (aH)^2}{\lambda^2}$$ в максимуме диаграммы рассеяния
	Трехгранный уголковый отражатель $$\sigma_ц = \frac{12\pi a^4}{\lambda^2}$$ в максимуме диаграммы рассеяния

уравнений позволяют определить расчетным путем ЭПР только для тел простой геометрической формы (табл. 1.1).

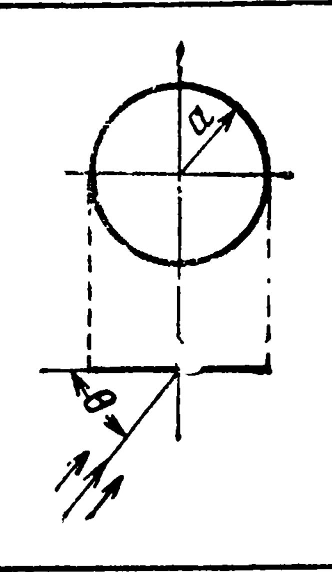
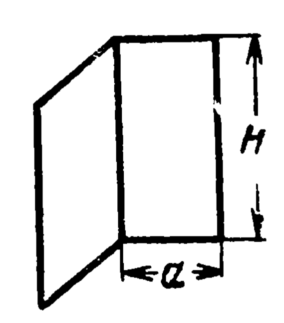
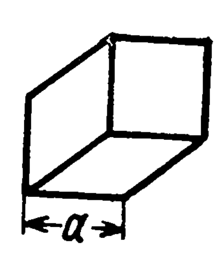
В реальных условиях радиолокационного обнаружения объекты простой геометрической формы встречаются довольно редко. Как правило, они имеют сложную конфигурацию и состоят из большого числа различных элементарных отражателей. Примерами одиночных целей сложной конфигурации могут служить корабли, самолеты, ракеты, различные наземные сооружения и т. д. Несколько одиночных объектов, расположенных в пределах отражающего объема (рис. 1.2) на относительно больших расстояниях по сравнению с длиной волны радиолокатора, образуют групповую цель.

	Плоский диск $\sigma_{ц} = \pi k^2 a^4 \sin^2\theta \left[\frac{J_1\ 2ka\cos\theta)}{ka\cos\theta}\right]^2,$ где J_1 — функция Бесселя 1-го порядка. При нормальном падении к плоскости диска: $\sigma_{ц} = \frac{4\pi^3 a^4}{\lambda^2}$
	Двугранный уголковый отражатель $\sigma_{ц} = \frac{8\pi (aH)^2}{\lambda^2}$ в максимуме диаграммы рассеяния
	Трехгранный уголковый отражатель $\sigma_{ц} = \frac{12\pi a^4}{\lambda^2}$ в максимуме диаграммы рассеяния

уравнений позволяют определить расчетным путем ЭПР только для тел простой геометрической формы (табл. 1.1).

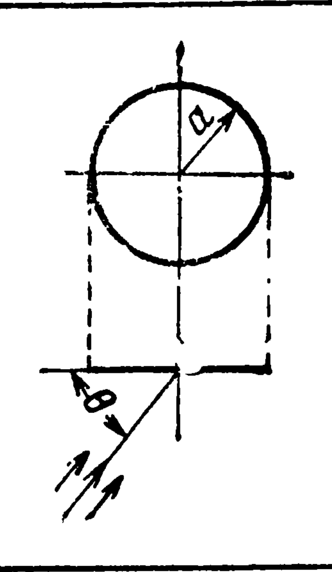
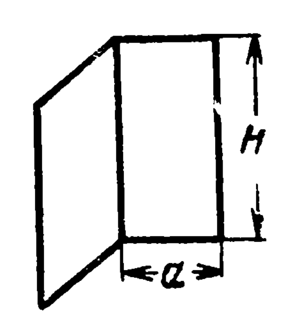
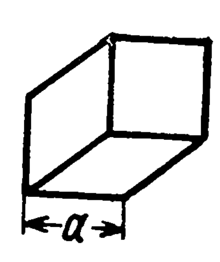
В реальных условиях радиолокационного обнаружения объекты простой геометрической формы встречаются довольно редко. Как правило, они имеют сложную конфигурацию и состоят из большого числа различных элементарных отражателей. Примерами одиночных целей сложной конфигурации могут служить корабли, самолеты, ракеты, различные наземные сооружения и т. д. Несколько одиночных объектов, расположенных в пределах отражающего объема (рис. 1.2) на относительно больших расстояниях по сравнению с длиной волны радиолокатора, образуют групповую цель.

Продолжение табл. 1.1

	Плоский диск $\sigma_ц = \pi k^2 a^4 \sin^2\theta \left[\frac{J_1(2ka\cos\theta)}{ka\cos\theta}\right]^2,$ где J_1 — функция Бесселя 1-го порядка. При нормальном падении к плоскости диска: $\sigma_ц = \frac{4\pi^3 a^4}{\lambda^2}$
	Двугранный уголковый отражатель $\sigma_ц = \frac{8\pi (aH)^2}{\lambda^2}$ в максимуме диаграммы рассеяния
	Трехгранный уголковый отражатель $\sigma_ц = \frac{12\pi a^4}{\lambda^2}$ в максимуме диаграммы рассеяния

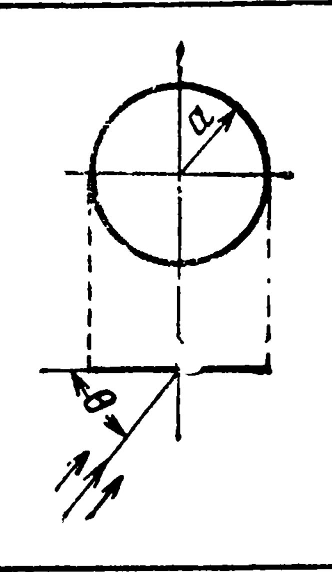
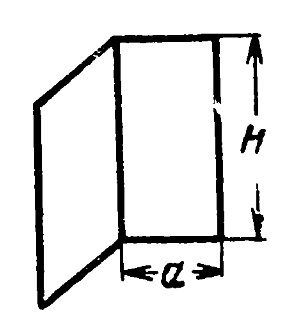
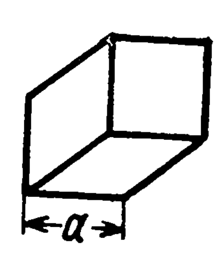
уравнений позволяют определить расчетным путем ЭПР только для тел простой геометрической формы (табл. 1.1).

В реальных условиях радиолокационного обнаружения объекты простой геометрической формы встречаются довольно редко. Как правило, они имеют сложную конфигурацию и состоят из большого числа различных элементарных отражателей. Примерами одиночных целей сложной конфигурации могут служить корабли, самолеты, ракеты, различные наземные сооружения и т. д. Несколько одиночных объектов, расположенных в пределах отражающего объема (рис. 1.2) на относительно больших расстояниях по сравнению с длиной волны радиолокатора, образуют групповую цель.

	Плоский диск $$\sigma_ц = \pi k^2 a^4 \sin^2\theta \left[\frac{J_1(2ka\cos\theta)}{ka\cos\theta}\right]^2,$$ где J_1 — функция Бесселя 1-го порядка. При нормальном падении к плоскости диска: $$\sigma_ц = \frac{4\pi^3 a^4}{\lambda^2}$$
	Двугранный уголковый отражатель $$\sigma_ц = \frac{8\pi (aH)^2}{\lambda^2}$$ в максимуме диаграммы рассеяния
	Трехгранный уголковый отражатель $$\sigma_ц = \frac{12\pi a^4}{\lambda^2}$$ в максимуме диаграммы рассеяния

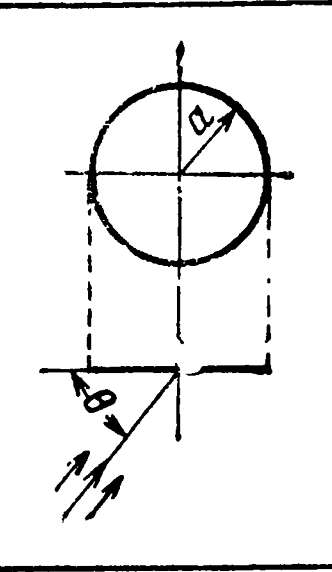
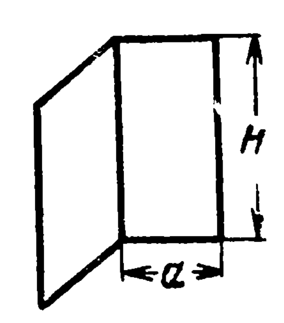
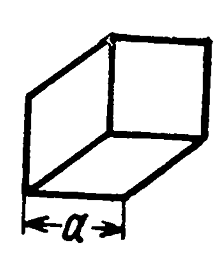
уравнений позволяют определить расчетным путем ЭПР только для тел простой геометрической формы (табл. 1.1).

В реальных условиях радиолокационного обнаружения объекты простой геометрической формы встречаются довольно редко. Как правило, они имеют сложную конфигурацию и состоят из большого числа различных элементарных отражателей. Примерами одиночных целей сложной конфигурации могут служить корабли, самолеты, ракеты, различные наземные сооружения и т. д. Несколько одиночных объектов, расположенных в пределах отражающего объема (рис. 1.2) на относительно больших расстояниях по сравнению с длиной волны радиолокатора, образуют групповую цель.

	Плоский диск $$\sigma_ц = \pi k^2 a^4 \sin^2\theta \left[\frac{J_1(2ka\cos\theta)}{ka\cos\theta}\right]^2,$$ где J_1 — функция Бесселя 1-го порядка. При нормальном падении к плоскости диска: $$\sigma_ц = \frac{4\pi^3 a^4}{\lambda^2}$$
	Двугранный уголковый отражатель $$\sigma_ц = \frac{8\pi (aH)^2}{\lambda^2}$$ в максимуме диаграммы рассеяния
	Трехгранный уголковый отражатель $$\sigma_ц = \frac{12\pi a^4}{\lambda^2}$$ в максимуме диаграммы рассеяния

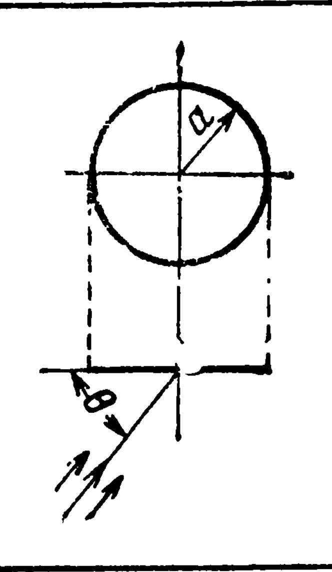
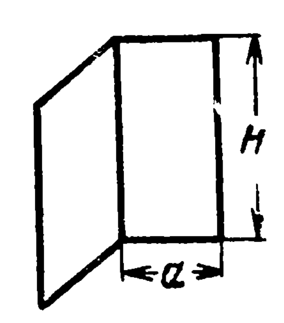
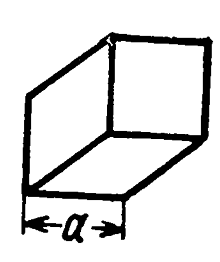
уравнений позволяют определить расчетным путем ЭПР только для тел простой геометрической формы (табл. 1.1).

В реальных условиях радиолокационного обнаружения объекты простой геометрической формы встречаются довольно редко. Как правило, они имеют сложную конфигурацию и состоят из большого числа различных элементарных отражателей. Примерами одиночных целей сложной конфигурации могут служить корабли, самолеты, ракеты, различные наземные сооружения и т. д. Несколько одиночных объектов, расположенных в пределах отражающего объема (рис. 1.2) на относительно больших расстояниях по сравнению с длиной волны радиолокатора, образуют групповую цель.

	Плоский диск $$\sigma_ц = \pi k^2 a^4 \sin^2\theta \left[\frac{J_1(2ka\cos\theta)}{ka\cos\theta}\right]^2,$$ где J_1 — функция Бесселя 1-го порядка. При нормальном падении к плоскости диска: $$\sigma_ц = \frac{4\pi^3 a^4}{\lambda^2}$$
	Двугранный уголковый отражатель $$\sigma_ц = \frac{8\pi (aH)^2}{\lambda^2}$$ в максимуме диаграммы рассеяния
	Трехгранный уголковый отражатель $$\sigma_ц = \frac{12\pi a^4}{\lambda^2}$$ в максимуме диаграммы рассеяния

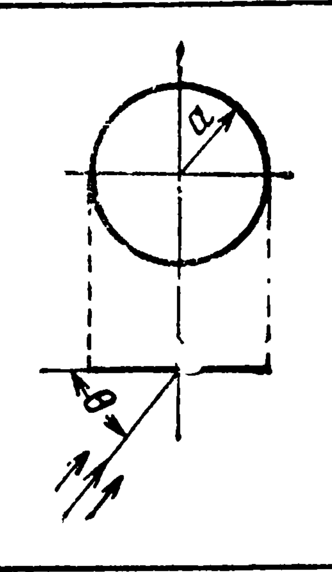
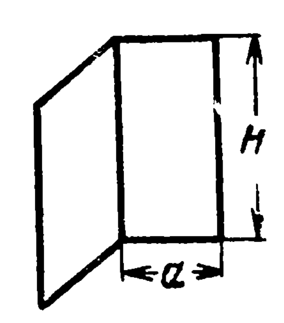
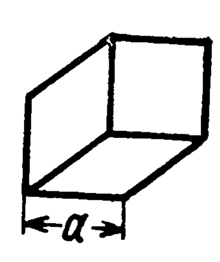
уравнений позволяют определить расчетным путем ЭПР только для тел простой геометрической формы (табл. 1.1).

В реальных условиях радиолокационного обнаружения объекты простой геометрической формы встречаются довольно редко. Как правило, они имеют сложную конфигурацию и состоят из большого числа различных элементарных отражателей. Примерами одиночных целей сложной конфигурации могут служить корабли, самолеты, ракеты, различные наземные сооружения и т. д. Несколько одиночных объектов, расположенных в пределах отражающего объема (рис. 1.2) на относительно больших расстояниях по сравнению с длиной волны радиолокатора, образуют групповую цель.

	**Плоский диск** $\sigma_ц = \pi k^2 a^4 \sin^2\theta \left[\frac{J_1(2ka\cos\theta)}{ka\cos\theta}\right]^2$, где J_1 — функция Бесселя 1-го порядка. При нормальном падении к плоскости диска: $\sigma_ц = \frac{4\pi^3 a^4}{\lambda^2}$
	**Двугранный уголковый отражатель** $\sigma_ц = \frac{8\pi (aH)^2}{\lambda^2}$ в максимуме диаграммы рассеяния
	**Трехгранный уголковый отражатель** $\sigma_ц = \frac{12\pi a^4}{\lambda^2}$ в максимуме диаграммы рассеяния

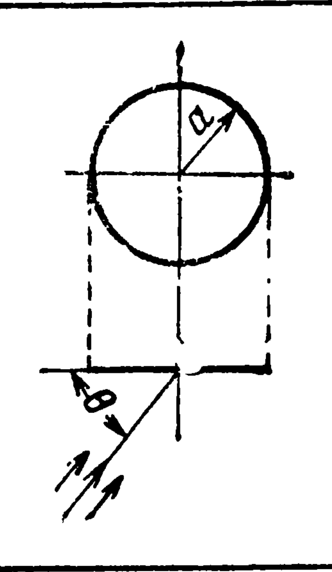
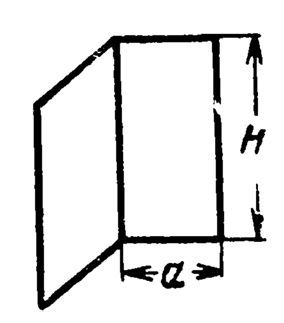
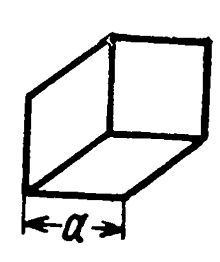
уравнений позволяют определить расчетным путем ЭПР только для тел простой геометрической формы (табл. 1.1).

В реальных условиях радиолокационного обнаружения объекты простой геометрической формы встречаются довольно редко. Как правило, они имеют сложную конфигурацию и состоят из большого числа различных элементарных отражателей. Примерами одиночных целей сложной конфигурации могут служить корабли, самолеты, ракеты, различные наземные сооружения и т. д. Несколько одиночных объектов, расположенных в пределах отражающего объема (рис. 1.2) на относительно больших расстояниях по сравнению с длиной волны радиолокатора, образуют групповую цель.

	Плоский диск $\sigma_ц = \pi k^2 a^4 \sin^2\theta \left[\frac{J_1(2ka\cos\theta)}{ka\cos\theta}\right]^2,$ где J_1 — функция Бесселя 1-го порядка. При нормальном падении к плоскости диска: $\sigma_ц = \frac{4\pi^3 a^4}{\lambda^2}$
	Двугранный уголковый отражатель $\sigma_ц = \frac{8\pi (aH)^2}{\lambda^2}$ в максимуме диаграммы рассеяния
	Трехгранный уголковый отражатель $\sigma_ц = \frac{12\pi a^4}{\lambda^2}$ в максимуме диаграммы рассеяния

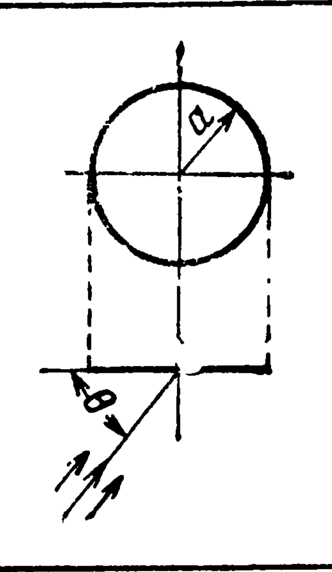
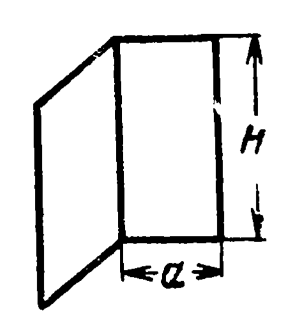
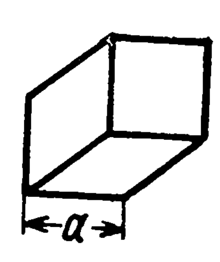
уравнений позволяют определить расчетным путем ЭПР только для тел простой геометрической формы (табл. 1.1).

В реальных условиях радиолокационного обнаружения объекты простой геометрической формы встречаются довольно редко. Как правило, они имеют сложную конфигурацию и состоят из большого числа различных элементарных отражателей. Примерами одиночных целей сложной конфигурации могут служить корабли, самолеты, ракеты, различные наземные сооружения и т. д. Несколько одиночных объектов, расположенных в пределах отражающего объема (рис. 1.2) на относительно больших расстояниях по сравнению с длиной волны радиолокатора, образуют групповую цель.

	Плоский диск $\sigma_ц = \pi k^2 a^4 \sin^2\theta \left[\frac{J_1(2ka\cos\theta)}{ka\cos\theta}\right]^2,$ где J_1 — функция Бесселя 1-го порядка. При нормальном падении к плоскости диска: $\sigma_ц = \frac{4\pi^3 a^4}{\lambda^2}$
	Двугранный уголковый отражатель $\sigma_ц = \frac{8\pi (aH)^2}{\lambda^2}$ в максимуме диаграммы рассеяния
	Трехгранный уголковый отражатель $\sigma_ц = \frac{12\pi a^4}{\lambda^2}$ в максимуме диаграммы рассеяния

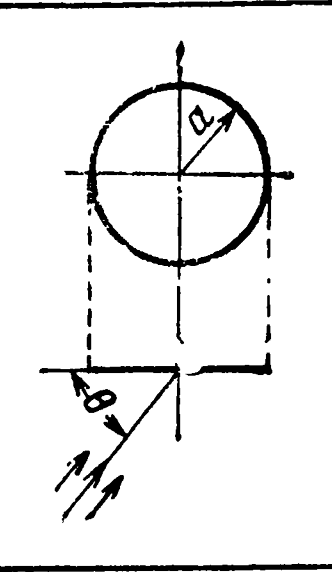
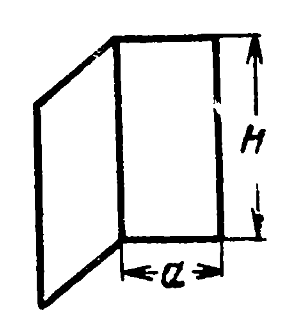
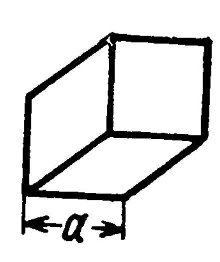
уравнений позволяют определить расчетным путем ЭПР только для тел простой геометрической формы (табл. 1.1).

В реальных условиях радиолокационного обнаружения объекты простой геометрической формы встречаются довольно редко. Как правило, они имеют сложную конфигурацию и состоят из большого числа различных элементарных отражателей. Примерами одиночных целей сложной конфигурации могут служить корабли, самолеты, ракеты, различные наземные сооружения и т. д. Несколько одиночных объектов, расположенных в пределах отражающего объема (рис. 1.2) на относительно больших расстояниях по сравнению с длиной волны радиолокатора, образуют групповую цель.

	Плоский диск $$\sigma_{ц} = \pi k^2 a^4 \sin^2\theta \left[\frac{J_1(2ka\cos\theta)}{ka\cos\theta}\right]^2,$$ где J_1 — функция Бесселя 1-го порядка. При нормальном падении к плоскости диска: $$\sigma_{ц} = \frac{4\pi^3 a^4}{\lambda^2}$$
	Двугранный уголковый отражатель $$\sigma_{ц} = \frac{8\pi (aH)^2}{\lambda^2}$$ в максимуме диаграммы рассеяния
	Трехгранный уголковый отражатель $$\sigma_{ц} = \frac{12\pi a^4}{\lambda^2}$$ в максимуме диаграммы рассеяния

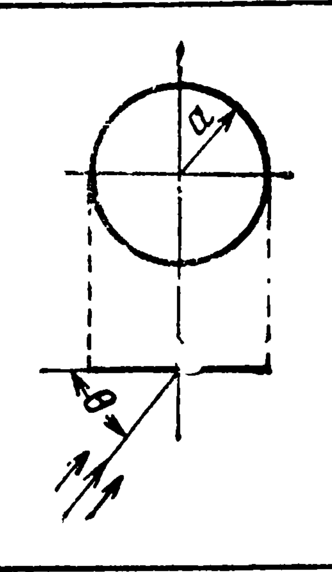
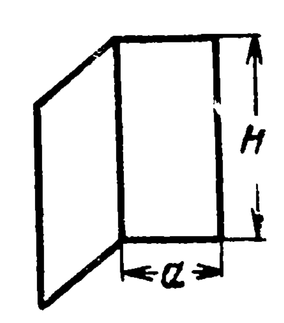
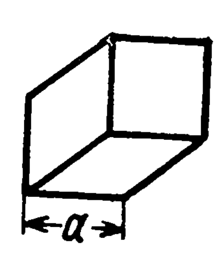
уравнений позволяют определить расчетным путем ЭПР только для тел простой геометрической формы (табл. 1.1).

В реальных условиях радиолокационного обнаружения объекты простой геометрической формы встречаются довольно редко. Как правило, они имеют сложную конфигурацию и состоят из большого числа различных элементарных отражателей. Примерами одиночных целей сложной конфигурации могут служить корабли, самолеты, ракеты, различные наземные сооружения и т. д. Несколько одиночных объектов, расположенных в пределах отражающего объема (рис. 1.2) на относительно больших расстояниях по сравнению с длиной волны радиолокатора, образуют групповую цель.

	Плоский диск $\sigma_ц = \pi k^2 a^4 \sin^2\theta \left[\frac{J_1(2ka\cos\theta)}{ka\cos\theta}\right]^2,$ где J_1 — функция Бесселя 1-го порядка. При нормальном падении к плоскости диска: $\sigma_ц = \frac{4\pi^3 a^4}{\lambda^2}$
	Двугранный уголковый отражатель $\sigma_ц = \frac{8\pi (aH)^2}{\lambda^2}$ в максимуме диаграммы рассеяния
	Трехгранный уголковый отражатель $\sigma_ц = \frac{12\pi a^4}{\lambda^2}$ в максимуме диаграммы рассеяния

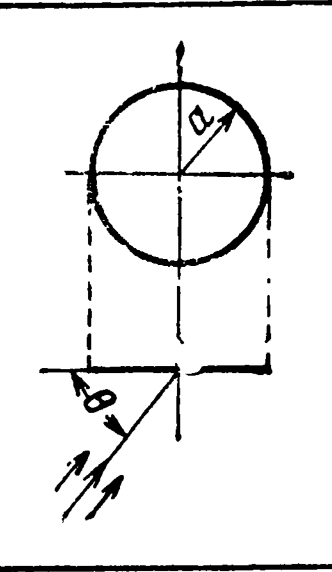
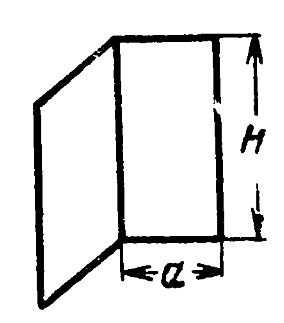
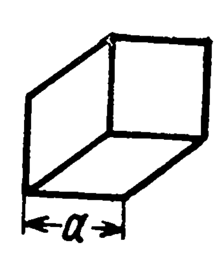
уравнений позволяют определить расчетным путем ЭПР только для тел простой геометрической формы (табл. 1.1).

В реальных условиях радиолокационного обнаружения объекты простой геометрической формы встречаются довольно редко. Как правило, они имеют сложную конфигурацию и состоят из большого числа различных элементарных отражателей. Примерами одиночных целей сложной конфигурации могут служить корабли, самолеты, ракеты, различные наземные сооружения и т. д. Несколько одиночных объектов, расположенных в пределах отражающего объема (рис. 1.2) на относительно больших расстояниях по сравнению с длиной волны радиолокатора, образуют групповую цель.

	Плоский диск $$\sigma_ц = \pi k^2 a^4 \sin^2\theta \left[\frac{J_1(2ka\cos\theta)}{ka\cos\theta}\right]^2,$$ где J_1 — функция Бесселя 1-го порядка. При нормальном падении к плоскости диска: $$\sigma_ц = \frac{4\pi^3 a^4}{\lambda^2}$$
	Двугранный уголковый отражатель $$\sigma_ц = \frac{8\pi(aH)^2}{\lambda^2}$$ в максимуме диаграммы рассеяния
	Трехгранный уголковый отражатель $$\sigma_ц = \frac{12\pi a^4}{\lambda^2}$$ в максимуме диаграммы рассеяния

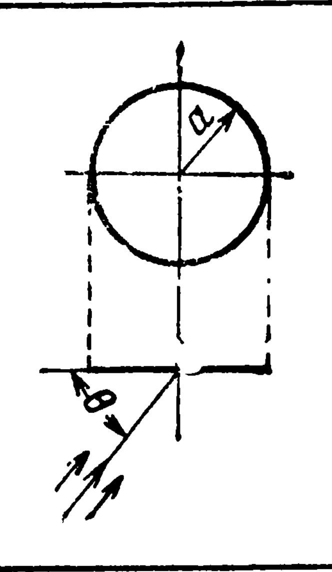
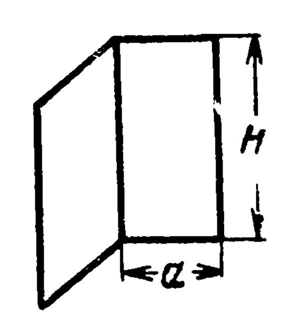
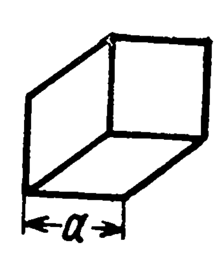
уравнений позволяют определить расчетным путем ЭПР только для тел простой геометрической формы (табл. 1.1).

В реальных условиях радиолокационного обнаружения объекты простой геометрической формы встречаются довольно редко. Как правило, они имеют сложную конфигурацию и состоят из большого числа различных элементарных отражателей. Примерами одиночных целей сложной конфигурации могут служить корабли, самолеты, ракеты, различные наземные сооружения и т. д. Несколько одиночных объектов, расположенных в пределах отражающего объема (рис. 1.2) на относительно больших расстояниях по сравнению с длиной волны радиолокатора, образуют групповую цель.

	Плоский диск $\sigma_ц = \pi k^2 a^4 \sin^2\theta \left[\frac{J_1(2ka\cos\theta)}{ka\cos\theta}\right]^2,$ где J_1 — функция Бесселя 1-го порядка. При нормальном падении к плоскости диска: $\sigma_ц = \frac{4\pi^3 a^4}{\lambda^2}$
	Двугранный уголковый отражатель $\sigma_ц = \frac{8\pi(aH)^2}{\lambda^2}$ в максимуме диаграммы рассеяния
	Трехгранный уголковый отражатель $\sigma_ц = \frac{12\pi a^4}{\lambda^2}$ в максимуме диаграммы рассеяния

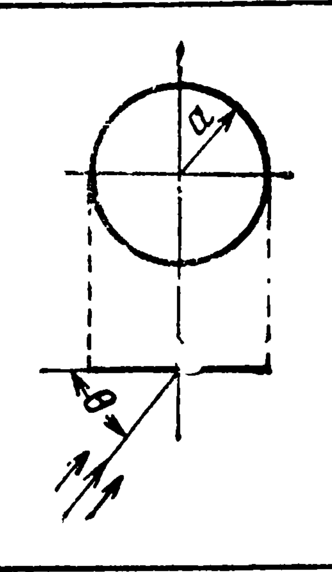
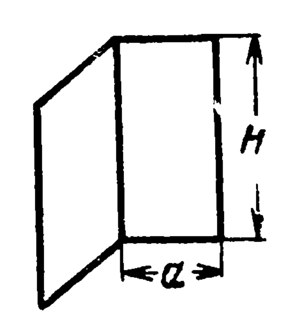
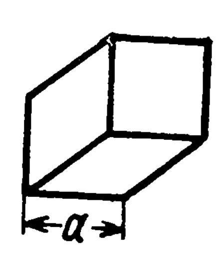
уравнений позволяют определить расчетным путем ЭПР только для тел простой геометрической формы (табл. 1.1).

В реальных условиях радиолокационного обнаружения объекты простой геометрической формы встречаются довольно редко. Как правило, они имеют сложную конфигурацию и состоят из большого числа различных элементарных отражателей. Примерами одиночных целей сложной конфигурации могут служить корабли, самолеты, ракеты, различные наземные сооружения и т. д. Несколько одиночных объектов, расположенных в пределах отражающего объема (рис. 1.2) на относительно больших расстояниях по сравнению с длиной волны радиолокатора, образуют групповую цель.

	Плоский диск $\sigma_ц = \pi k^2 a^4 \sin^2\theta \left[\frac{J_1(2ka\cos\theta)}{ka\cos\theta}\right]^2,$ где J_1 — функция Бесселя 1-го порядка. При нормальном падении к плоскости диска: $\sigma_ц = \frac{4\pi^3 a^4}{\lambda^2}$
	Двугранный уголковый отражатель $\sigma_ц = \frac{8\pi (aH)^2}{\lambda^2}$ в максимуме диаграммы рассеяния
	Трехгранный уголковый отражатель $\sigma_ц = \frac{12\pi a^4}{\lambda^2}$ в максимуме диаграммы рассеяния

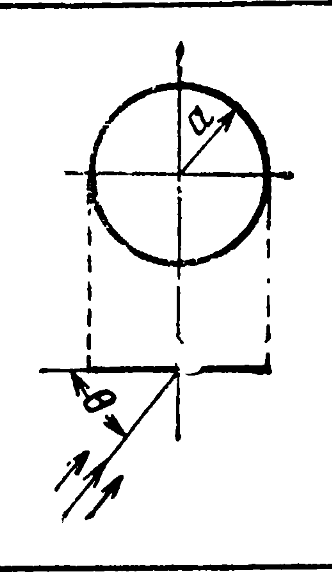
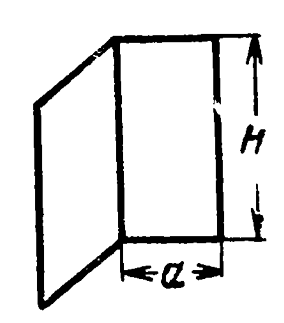
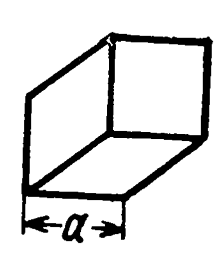
уравнений позволяют определить расчетным путем ЭПР только для тел простой геометрической формы (табл. 1.1).

В реальных условиях радиолокационного обнаружения объекты простой геометрической формы встречаются довольно редко. Как правило, они имеют сложную конфигурацию и состоят из большого числа различных элементарных отражателей. Примерами одиночных целей сложной конфигурации могут служить корабли, самолеты, ракеты, различные наземные сооружения и т. д. Несколько одиночных объектов, расположенных в пределах отражающего объема (рис. 1.2) на относительно больших расстояниях по сравнению с длиной волны радиолокатора, образуют групповую цель.

	Плоский диск $\sigma_ц = \pi k^2 a^4 \sin^2\theta \left[\frac{J_1(2ka\cos\theta)}{ka\cos\theta}\right]^2,$ где J_1 — функция Бесселя 1-го порядка. При нормальном падении к плоскости диска: $\sigma_ц = \frac{4\pi^3 a^4}{\lambda^2}$
	Двугранный уголковый отражатель $\sigma_ц = \frac{8\pi (aH)^2}{\lambda^2}$ в максимуме диаграммы рассеяния
	Трехгранный уголковый отражатель $\sigma_ц = \frac{12\pi a^4}{\lambda^2}$ в максимуме диаграммы рассеяния

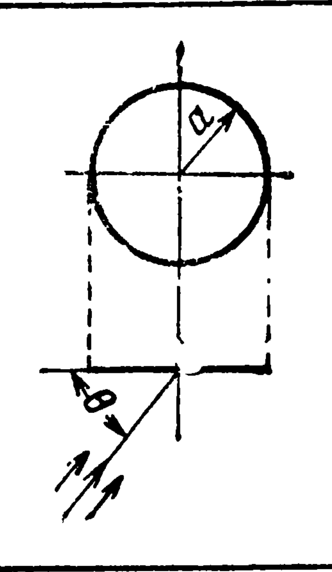
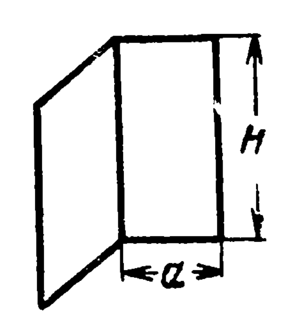
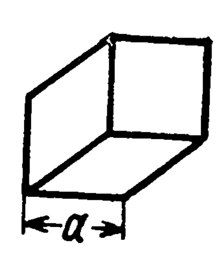
уравнений позволяют определить расчетным путем ЭПР только для тел простой геометрической формы (табл. 1.1).

В реальных условиях радиолокационного обнаружения объекты простой геометрической формы встречаются довольно редко. Как правило, они имеют сложную конфигурацию и состоят из большого числа различных элементарных отражателей. Примерами одиночных целей сложной конфигурации могут служить корабли, самолеты, ракеты, различные наземные сооружения и т. д. Несколько одиночных объектов, расположенных в пределах отражающего объема (рис. 1.2) на относительно больших расстояниях по сравнению с длиной волны радиолокатора, образуют групповую цель.

	Плоский диск $$\sigma_ц = \pi k^2 a^4 \sin^2\theta \left[\frac{J_1(2ka\cos\theta)}{ka\cos\theta}\right]^2,$$ где J_1 — функция Бесселя 1-го порядка. При нормальном падении к плоскости диска: $$\sigma_ц = \frac{4\pi^3 a^4}{\lambda^2}$$
	Двугранный уголковый отражатель $$\sigma_ц = \frac{8\pi (aH)^2}{\lambda^2}$$ в максимуме диаграммы рассеяния
	Трехгранный уголковый отражатель $$\sigma_ц = \frac{12\pi a^4}{\lambda^2}$$ в максимуме диаграммы рассеяния

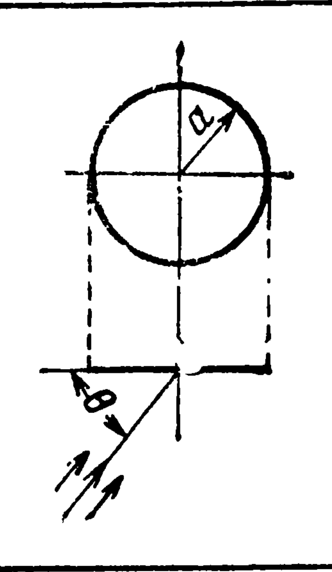
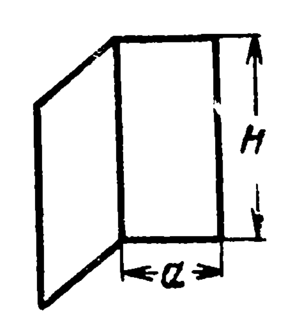
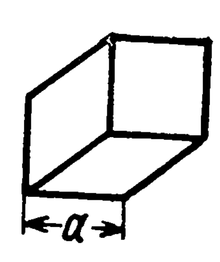
уравнений позволяют определить расчетным путем ЭПР только для тел простой геометрической формы (табл. 1.1).

В реальных условиях радиолокационного обнаружения объекты простой геометрической формы встречаются довольно редко. Как правило, они имеют сложную конфигурацию и состоят из большого числа различных элементарных отражателей. Примерами одиночных целей сложной конфигурации могут служить корабли, самолеты, ракеты, различные наземные сооружения и т. д. Несколько одиночных объектов, расположенных в пределах отражающего объема (рис. 1.2) на относительно больших расстояниях по сравнению с длиной волны радиолокатора, образуют групповую цель.

	Плоский диск $$\sigma_ц = \pi k^2 a^4 \sin^2\theta \left[\frac{J_1(2ka\cos\theta)}{ka\cos\theta}\right]^2,$$ где J_1 — функция Бесселя 1-го порядка. При нормальном падении к плоскости диска: $$\sigma_ц = \frac{4\pi^3 a^4}{\lambda^2}$$
	Двугранный уголковый отражатель $$\sigma_ц = \frac{8\pi (aH)^2}{\lambda^2}$$ в максимуме диаграммы рассеяния
	Трехгранный уголковый отражатель $$\sigma_ц = \frac{12\pi a^4}{\lambda^2}$$ в максимуме диаграммы рассеяния

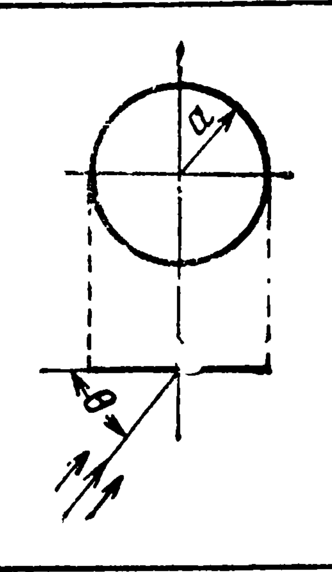
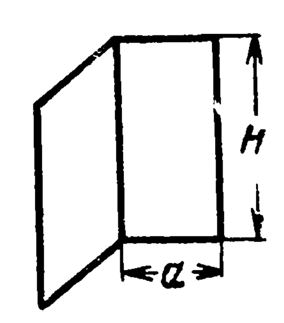
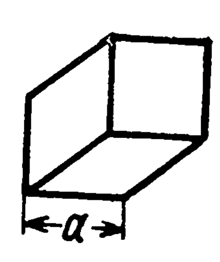
уравнений позволяют определить расчетным путем ЭПР только для тел простой геометрической формы (табл. 1.1).

В реальных условиях радиолокационного обнаружения объекты простой геометрической формы встречаются довольно редко. Как правило, они имеют сложную конфигурацию и состоят из большого числа различных элементарных отражателей. Примерами одиночных целей сложной конфигурации могут служить корабли, самолеты, ракеты, различные наземные сооружения и т. д. Несколько одиночных объектов, расположенных в пределах отражающего объема (рис. 1.2) на относительно больших расстояниях по сравнению с длиной волны радиолокатора, образуют групповую цель.

	Плоский диск $$\sigma_ц = \pi k^2 a^4 \sin^2\theta \left[\frac{J_1(2ka\cos\theta)}{ka\cos\theta}\right]^2,$$ где J_1 — функция Бесселя 1-го порядка. При нормальном падении к плоскости диска: $$\sigma_ц = \frac{4\pi^3 a^4}{\lambda^2}$$
	Двугранный уголковый отражатель $$\sigma_ц = \frac{8\pi (aH)^2}{\lambda^2}$$ в максимуме диаграммы рассеяния
	Трехгранный уголковый отражатель $$\sigma_ц = \frac{12\pi a^4}{\lambda^2}$$ в максимуме диаграммы рассеяния

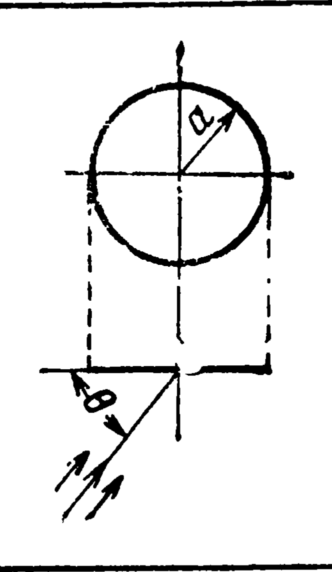
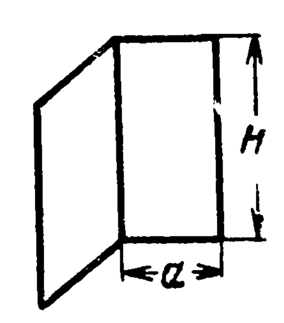
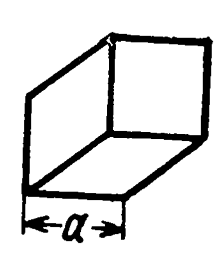
уравнений позволяют определить расчетным путем ЭПР только для тел простой геометрической формы (табл. 1.1).

В реальных условиях радиолокационного обнаружения объекты простой геометрической формы встречаются довольно редко. Как правило, они имеют сложную конфигурацию и состоят из большого числа различных элементарных отражателей. Примерами одиночных целей сложной конфигурации могут служить корабли, самолеты, ракеты, различные наземные сооружения и т. д. Несколько одиночных объектов, расположенных в пределах отражающего объема (рис. 1.2) на относительно больших расстояниях по сравнению с длиной волны радиолокатора, образуют групповую цель.

	Плоский диск $\sigma_ц = \pi k^2 a^4 \sin^2\theta \left[\frac{J_1(2ka\cos\theta)}{ka\cos\theta}\right]^2,$ где J_1 — функция Бесселя 1-го порядка. При нормальном падении к плоскости диска: $\sigma_ц = \frac{4\pi^3 a^4}{\lambda^2}$
	Двугранный уголковый отражатель $\sigma_ц = \frac{8\pi (aH)^2}{\lambda^2}$ в максимуме диаграммы рассеяния
	Трехгранный уголковый отражатель $\sigma_ц = \frac{12\pi a^4}{\lambda^2}$ в максимуме диаграммы рассеяния

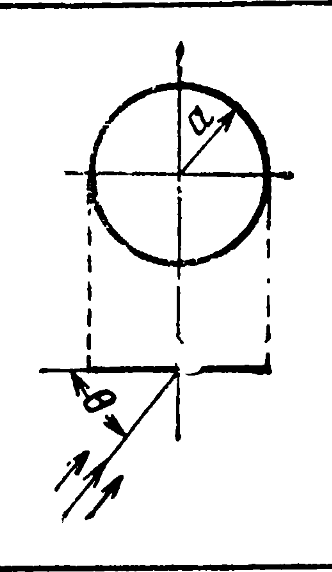
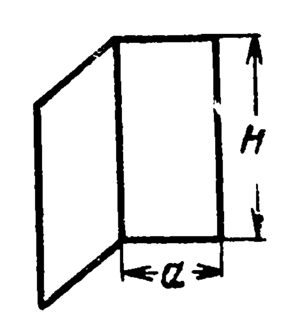
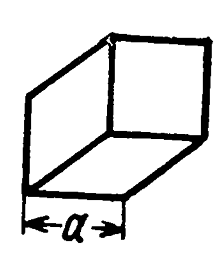
уравнений позволяют определить расчетным путем ЭПР только для тел простой геометрической формы (табл. 1.1).

В реальных условиях радиолокационного обнаружения объекты простой геометрической формы встречаются довольно редко. Как правило, они имеют сложную конфигурацию и состоят из большого числа различных элементарных отражателей. Примерами одиночных целей сложной конфигурации могут служить корабли, самолеты, ракеты, различные наземные сооружения и т. д. Несколько одиночных объектов, расположенных в пределах отражающего объема (рис. 1.2) на относительно больших расстояниях по сравнению с длиной волны радиолокатора, образуют групповую цель.

	Плоский диск $\sigma_ц = \pi k^2 a^4 \sin^2 \theta \left[\frac{J_1(2ka \cos \theta)}{ka \cos \theta} \right]^2,$ где J_1 — функция Бесселя 1-го порядка. При нормальном падении к плоскости диска: $\sigma_ц = \frac{4\pi^3 a^4}{\lambda^2}$
	Двугранный уголковый отражатель $\sigma_ц = \frac{8\pi (aH)^2}{\lambda^2}$ в максимуме диаграммы рассеяния
	Трехгранный уголковый отражатель $\sigma_ц = \frac{12\pi a^4}{\lambda^2}$ в максимуме диаграммы рассеяния

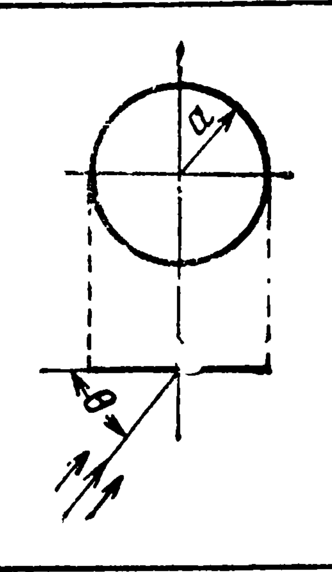
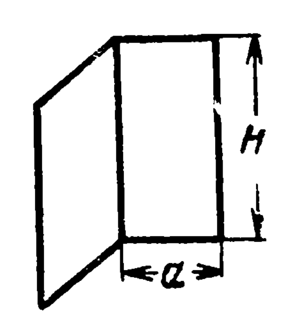
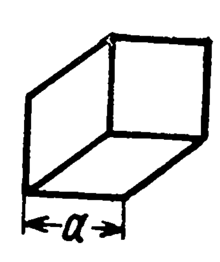
уравнений позволяют определить расчетным путем ЭПР только для тел простой геометрической формы (табл. 1.1).

В реальных условиях радиолокационного обнаружения объекты простой геометрической формы встречаются довольно редко. Как правило, они имеют сложную конфигурацию и состоят из большого числа различных элементарных отражателей. Примерами одиночных целей сложной конфигурации могут служить корабли, самолеты, ракеты, различные наземные сооружения и т. д. Несколько одиночных объектов, расположенных в пределах отражающего объема (рис. 1.2) на относительно больших расстояниях по сравнению с длиной волны радиолокатора, образуют групповую цель.

	Плоский диск $\sigma_ц = \pi k^2 a^4 \sin^2\theta \left[\frac{J_1(2ka\cos\theta)}{ka\cos\theta}\right]^2,$ где J_1 — функция Бесселя 1-го порядка. При нормальном падении к плоскости диска: $\sigma_ц = \frac{4\pi^3 a^4}{\lambda^2}$
	Двугранный уголковый отражатель $\sigma_ц = \frac{8\pi (aH)^2}{\lambda^2}$ в максимуме диаграммы рассеяния
	Трехгранный уголковый отражатель $\sigma_ц = \frac{12\pi a^4}{\lambda^2}$ в максимуме диаграммы рассеяния

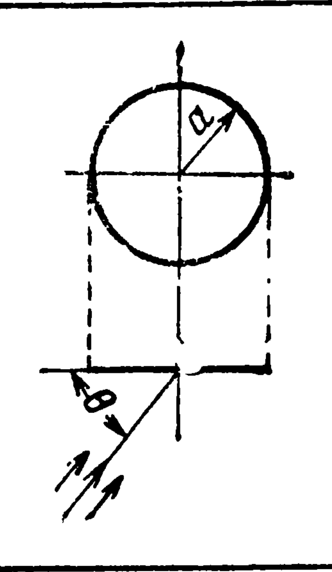
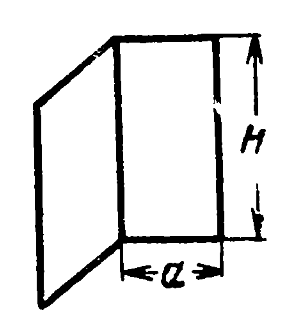
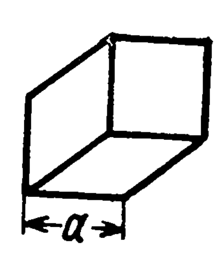
уравнений позволяют определить расчетным путем ЭПР только для тел простой геометрической формы (табл. 1.1).

В реальных условиях радиолокационного обнаружения объекты простой геометрической формы встречаются довольно редко. Как правило, они имеют сложную конфигурацию и состоят из большого числа различных элементарных отражателей. Примерами одиночных целей сложной конфигурации могут служить корабли, самолеты, ракеты, различные наземные сооружения и т. д. Несколько одиночных объектов, расположенных в пределах отражающего объема (рис. 1.2) на относительно больших расстояниях по сравнению с длиной волны радиолокатора, образуют групповую цель.

	Плоский диск $$\sigma_ц = \pi k^2 a^4 \sin^2\theta \left[\frac{J_1(2ka\cos\theta)}{ka\cos\theta}\right]^2,$$ где J_1 — функция Бесселя 1-го порядка. При нормальном падении к плоскости диска: $$\sigma_ц = \frac{4\pi^3 a^4}{\lambda^2}$$
	Двугранный уголковый отражатель $$\sigma_ц = \frac{8\pi (aH)^2}{\lambda^2}$$ в максимуме диаграммы рассеяния
	Трехгранный уголковый отражатель $$\sigma_ц = \frac{12\pi a^4}{\lambda^2}$$ в максимуме диаграммы рассеяния

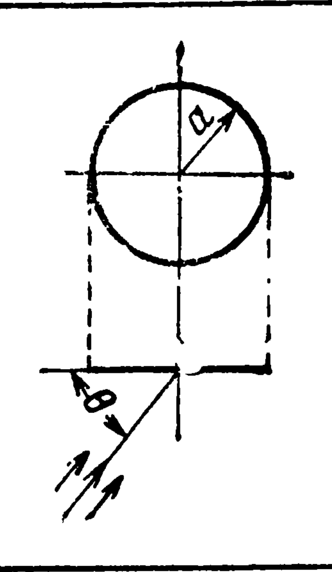
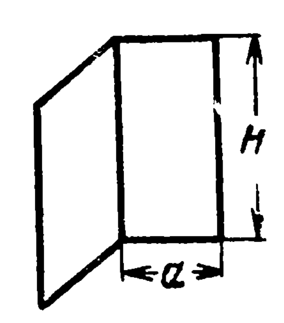
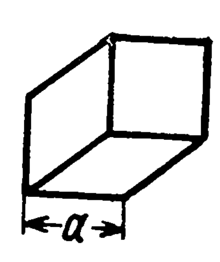
уравнений позволяют определить расчетным путем ЭПР только для тел простой геометрической формы (табл. 1.1).

В реальных условиях радиолокационного обнаружения объекты простой геометрической формы встречаются довольно редко. Как правило, они имеют сложную конфигурацию и состоят из большого числа различных элементарных отражателей. Примерами одиночных целей сложной конфигурации могут служить корабли, самолеты, ракеты, различные наземные сооружения и т. д. Несколько одиночных объектов, расположенных в пределах отражающего объема (рис. 1.2) на относительно больших расстояниях по сравнению с длиной волны радиолокатора, образуют групповую цель.

	Плоский диск $\sigma_ц = \pi k^2 a^4 \sin^2\theta \left[\frac{J_1(2ka\cos\theta)}{ka\cos\theta}\right]^2,$ где J_1 — функция Бесселя 1-го порядка. При нормальном падении к плоскости диска: $\sigma_ц = \frac{4\pi^3 a^4}{\lambda^2}$
	Двугранный уголковый отражатель $\sigma_ц = \frac{8\pi(aH)^2}{\lambda^2}$ в максимуме диаграммы рассеяния
	Трехгранный уголковый отражатель $\sigma_ц = \frac{12\pi a^4}{\lambda^2}$ в максимуме диаграммы рассеяния

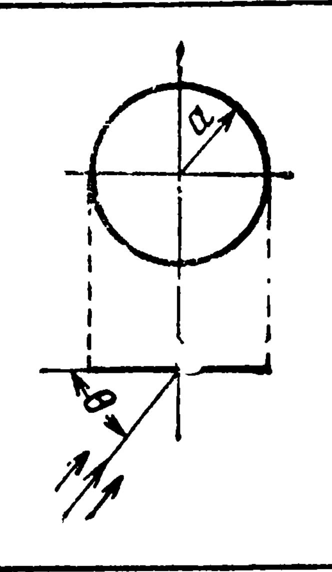
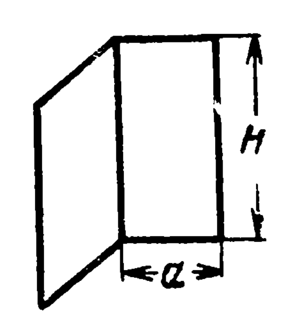
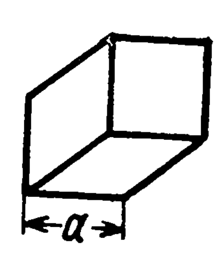
уравнений позволяют определить расчетным путем ЭПР только для тел простой геометрической формы (табл. 1.1).

В реальных условиях радиолокационного обнаружения объекты простой геометрической формы встречаются довольно редко. Как правило, они имеют сложную конфигурацию и состоят из большого числа различных элементарных отражателей. Примерами одиночных целей сложной конфигурации могут служить корабли, самолеты, ракеты, различные наземные сооружения и т. д. Несколько одиночных объектов, расположенных в пределах отражающего объема (рис. 1.2) на относительно больших расстояниях по сравнению с длиной волны радиолокатора, образуют групповую цель.

	Плоский диск $\sigma_ц = \pi k^2 a^4 \sin^2\theta \left[\frac{J_1(2ka\cos\theta)}{ka\cos\theta}\right]^2,$ где J_1 — функция Бесселя 1-го порядка. При нормальном падении к плоскости диска: $\sigma_ц = \frac{4\pi^3 a^4}{\lambda^2}$
	Двугранный уголковый отражатель $\sigma_ц = \frac{8\pi(aH)^2}{\lambda^2}$ в максимуме диаграммы рассеяния
	Трехгранный уголковый отражатель $\sigma_ц = \frac{12\pi a^4}{\lambda^2}$ в максимуме диаграммы рассеяния

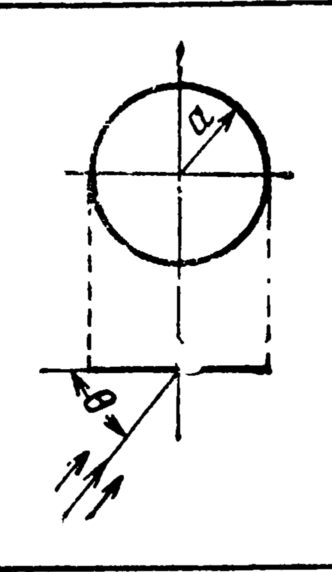
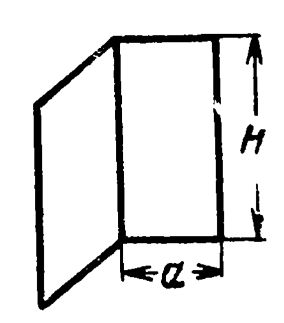
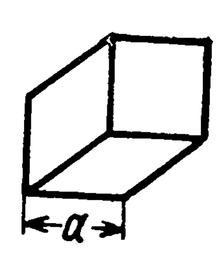
уравнений позволяют определить расчетным путем ЭПР только для тел простой геометрической формы (табл. 1.1).

В реальных условиях радиолокационного обнаружения объекты простой геометрической формы встречаются довольно редко. Как правило, они имеют сложную конфигурацию и состоят из большого числа различных элементарных отражателей. Примерами одиночных целей сложной конфигурации могут служить корабли, самолеты, ракеты, различные наземные сооружения и т. д. Несколько одиночных объектов, расположенных в пределах отражающего объема (рис. 1.2) на относительно больших расстояниях по сравнению с длиной волны радиолокатора, образуют групповую цель.

	Плоский диск $\sigma_ц = \pi k^2 a^4 \sin^2\theta \left[\frac{J_1(2ka\cos\theta)}{ka\cos\theta}\right]^2,$ где J_1 — функция Бесселя 1-го порядка. При нормальном падении к плоскости диска: $\sigma_ц = \frac{4\pi^3 a^4}{\lambda^2}$
	Двугранный уголковый отражатель $\sigma_ц = \frac{8\pi (aH)^2}{\lambda^2}$ в максимуме диаграммы рассеяния
	Трехгранный уголковый отражатель $\sigma_ц = \frac{12\pi a^4}{\lambda^2}$ в максимуме диаграммы рассеяния

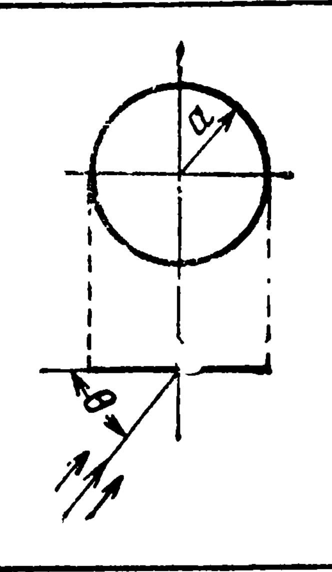
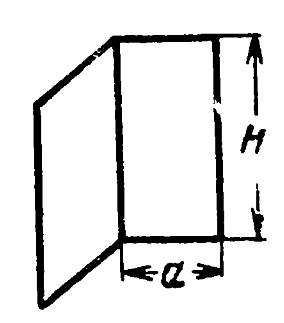
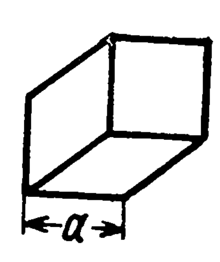
уравнений позволяют определить расчетным путем ЭПР только для тел простой геометрической формы (табл. 1.1).

В реальных условиях радиолокационного обнаружения объекты простой геометрической формы встречаются довольно редко. Как правило, они имеют сложную конфигурацию и состоят из большого числа различных элементарных отражателей. Примерами одиночных целей сложной конфигурации могут служить корабли, самолеты, ракеты, различные наземные сооружения и т. д. Несколько одиночных объектов, расположенных в пределах отражающего объема (рис. 1.2) на относительно больших расстояниях по сравнению с длиной волны радиолокатора, образуют групповую цель.

	Плоский диск $\sigma_ц = \pi k^2 a^4 \sin^2\theta \left[\frac{J_1(2ka\cos\theta)}{ka\cos\theta}\right]^2,$ где J_1 — функция Бесселя 1-го порядка. При нормальном падении к плоскости диска: $\sigma_ц = \frac{4\pi^3 a^4}{\lambda^2}$
	Двугранный уголковый отражатель $\sigma_ц = \frac{8\pi (aH)^2}{\lambda^2}$ в максимуме диаграммы рассеяния
	Трехгранный уголковый отражатель $\sigma_ц = \frac{12\pi a^4}{\lambda^2}$ в максимуме диаграммы рассеяния

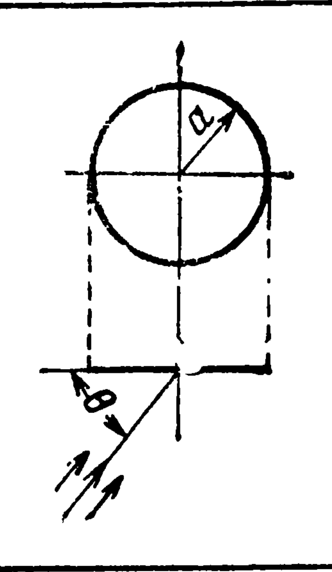
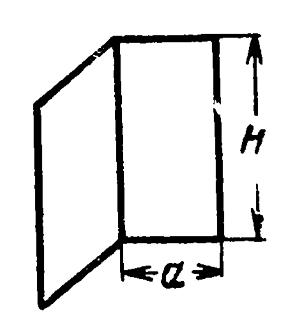
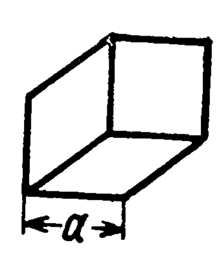
уравнений позволяют определить расчетным путем ЭПР только для тел простой геометрической формы (табл. 1.1).

В реальных условиях радиолокационного обнаружения объекты простой геометрической формы встречаются довольно редко. Как правило, они имеют сложную конфигурацию и состоят из большого числа различных элементарных отражателей. Примерами одиночных целей сложной конфигурации могут служить корабли, самолеты, ракеты, различные наземные сооружения и т. д. Несколько одиночных объектов, расположенных в пределах отражающего объема (рис. 1.2) на относительно больших расстояниях по сравнению с длиной волны радиолокатора, образуют групповую цель.

	Плоский диск $$\sigma_ц = \pi k^2 a^4 \sin^2\theta \left[\frac{J_1(2ka\cos\theta)}{ka\cos\theta}\right]^2,$$ где J_1 — функция Бесселя 1-го порядка. При нормальном падении к плоскости диска: $$\sigma_ц = \frac{4\pi^3 a^4}{\lambda^2}$$
	Двугранный уголковый отражатель $$\sigma_ц = \frac{8\pi (aH)^2}{\lambda^2}$$ в максимуме диаграммы рассеяния
	Трехгранный уголковый отражатель $$\sigma_ц = \frac{12\pi a^4}{\lambda^2}$$ в максимуме диаграммы рассеяния

уравнений позволяют определить расчетным путем ЭПР только для тел простой геометрической формы (табл. 1.1).

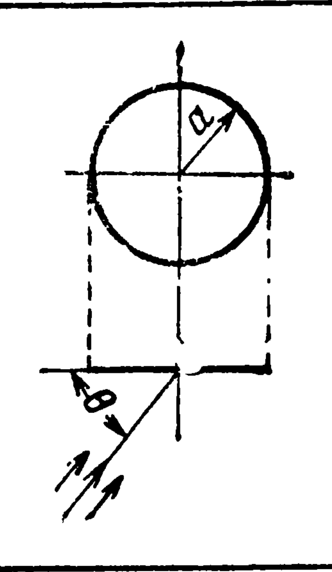
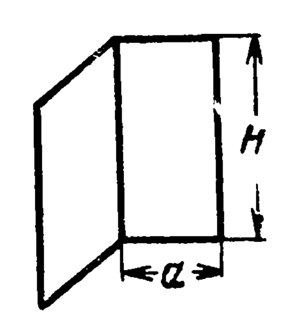
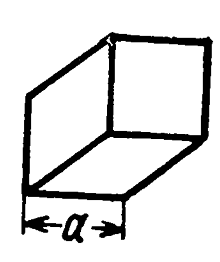
В реальных условиях радиолокационного обнаружения объекты простой геометрической формы встречаются довольно редко. Как правило, они имеют сложную конфигурацию и состоят из большого числа различных элементарных отражателей. Примерами одиночных целей сложной конфигурации могут служить корабли, самолеты, ракеты, различные наземные сооружения и т. д. Несколько одиночных объектов, расположенных в пределах отражающего объема (рис. 1.2) на относительно больших расстояниях по сравнению с длиной волны радиолокатора, образуют групповую цель.

	Плоский диск $$\sigma_{ц} = \pi k^2 a^4 \sin^2\theta \left[\frac{J_1(2ka\cos\theta)}{ka\cos\theta}\right]^2,$$ где J_1 — функция Бесселя 1-го порядка. При нормальном падении к плоскости диска: $$\sigma_{ц} = \frac{4\pi^3 a^4}{\lambda^2}$$
	Двугранный уголковый отражатель $$\sigma_{ц} = \frac{8\pi (aH)^2}{\lambda^2}$$ в максимуме диаграммы рассеяния
	Трехгранный уголковый отражатель $$\sigma_{ц} = \frac{12\pi a^4}{\lambda^2}$$ в максимуме диаграммы рассеяния

уравнений позволяют определить расчетным путем ЭПР только для тел простой геометрической формы (табл. 1.1).

В реальных условиях радиолокационного обнаружения объекты простой геометрической формы встречаются довольно редко. Как правило, они имеют сложную конфигурацию и состоят из большого числа различных элементарных отражателей. Примерами одиночных целей сложной конфигурации могут служить корабли, самолеты, ракеты, различные наземные сооружения и т. д. Несколько одиночных объектов, расположенных в пределах отражающего объема (рис. 1.2) на относительно больших расстояниях по сравнению с длиной волны радиолокатора, образуют групповую цель.

Продолжение табл. 1.1

	Плоский диск $$\sigma_ц = \pi k^2 a^4 \sin^2\theta \left[\frac{J_1(2ka\cos\theta)}{ka\cos\theta}\right]^2,$$ где J_1 — функция Бесселя 1-го порядка. При нормальном падении к плоскости диска: $$\sigma_ц = \frac{4\pi^3 a^4}{\lambda^2}$$
	Двугранный уголковый отражатель $$\sigma_ц = \frac{8\pi (aH)^2}{\lambda^2}$$ в максимуме диаграммы рассеяния
	Трехгранный уголковый отражатель $$\sigma_ц = \frac{12\pi a^4}{\lambda^2}$$ в максимуме диаграммы рассеяния

уравнений позволяют определить расчетным путем ЭПР только для тел простой геометрической формы (табл. 1.1).

В реальных условиях радиолокационного обнаружения объекты простой геометрической формы встречаются довольно редко. Как правило, они имеют сложную конфигурацию и состоят из большого числа различных элементарных отражателей. Примерами одиночных целей сложной конфигурации могут служить корабли, самолеты, ракеты, различные наземные сооружения и т. д. Несколько одиночных объектов, расположенных в пределах отражающего объема (рис. 1.2) на относительно больших расстояниях по сравнению с длиной волны радиолокатора, образуют групповую цель.

Расположив рупоры так, чтобы получить нужные углы падения и поляризацию, в центре дуги помещают металлический лист. Затем устанавливают аттенюатор в такое положение, при котором получается достаточно высокое показание на выходе усилителя. Далее металлический лист заменяют испытуемым поглощающим материалом, а затухание, вносимое аттенюатором, уменьшают до тех пор, пока не получат прежнее показание на

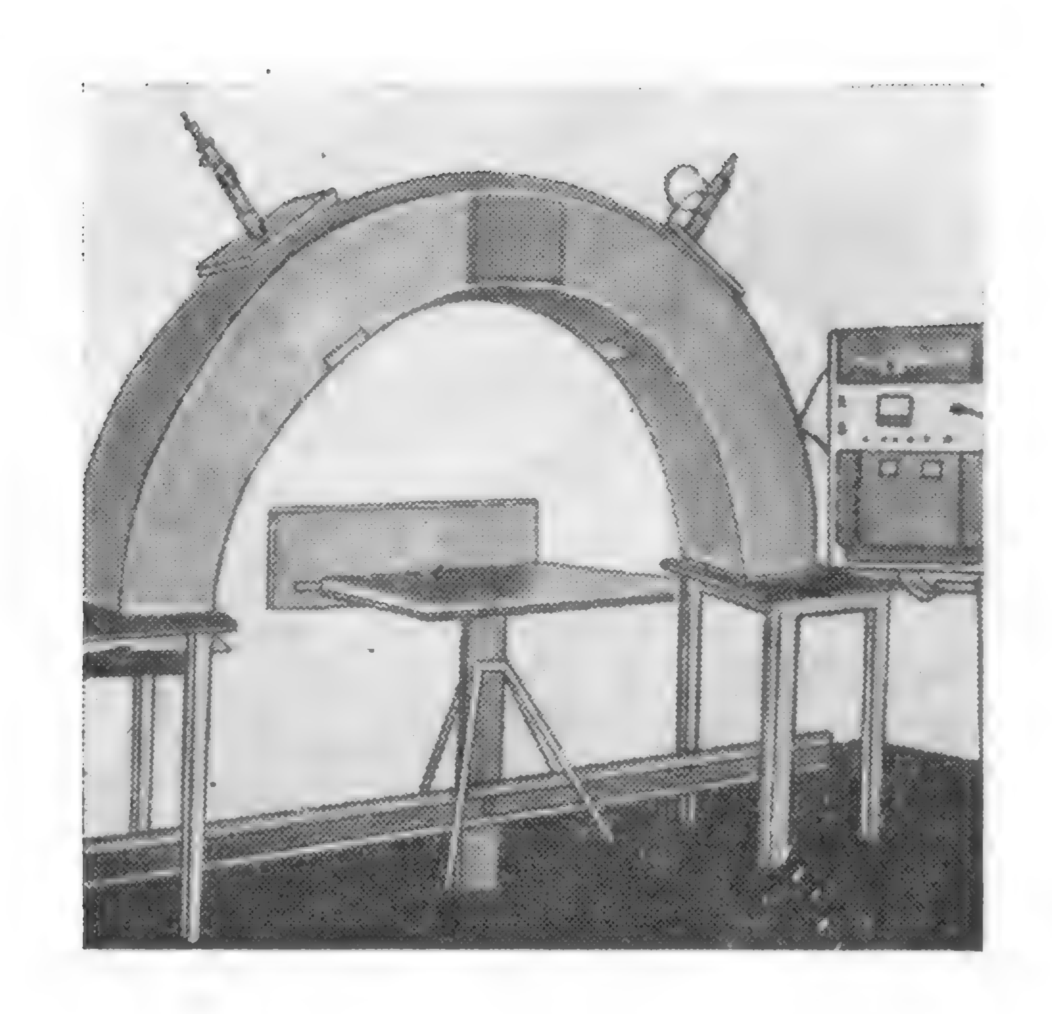


Рис. 3.15. Установка для измерения коэффициента отражения радиопоглощающих материалов.

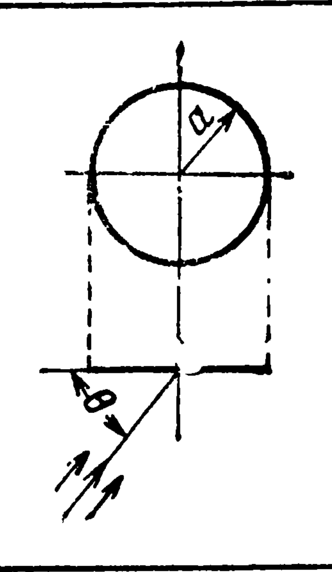
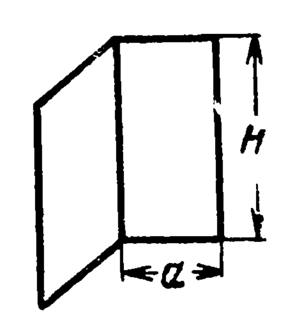
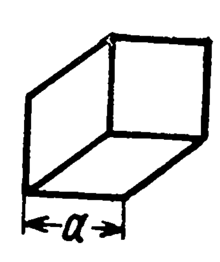
выходе усилителя. Разность двух отсчетов аттенюатора дает величину коэффициента отражения по мощности

$$s = 10 \lg \frac{P_1}{P_2} \ \partial б,$$

где P_1 — уровень мощности колебаний, отраженных материалом;

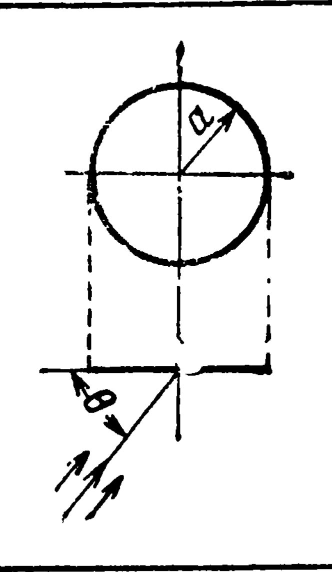
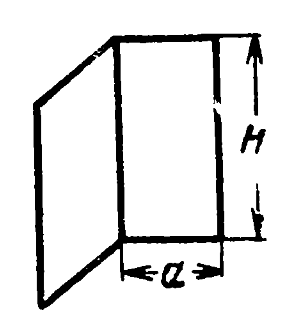
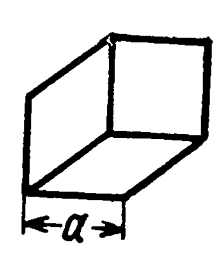
P_2 — уровень мощности колебаний, отраженных металлическим листом.

Диапазон частот измерений определяется свойством рупоров и параметрами высокочастотного генератора. При более низких частотах появляются большие ошибки из-за увеличения размеров рупоров и поверхностей испытуемых материалов по сравнению с расстоянием между

	Плоский диск $\sigma_ц = \pi k^2 a^4 \sin^2\theta \left[\frac{J_1 (2ka \cos\theta)}{ka \cos\theta} \right]^2,$ где J_1 — функция Бесселя 1-го порядка. При нормальном падении к плоскости диска: $\sigma_ц = \frac{4\pi^3 a^4}{\lambda^2}$
	Двугранный уголковый отражатель $\sigma_ц = \frac{8\pi (aH)^2}{\lambda^2}$ в максимуме диаграммы рассеяния
	Трехгранный уголковый отражатель $\sigma_ц = \frac{12\pi a^4}{\lambda^2}$ в максимуме диаграммы рассеяния

уравнений позволяют определить расчетным путем ЭПР только для тел простой геометрической формы (табл. 1.1).

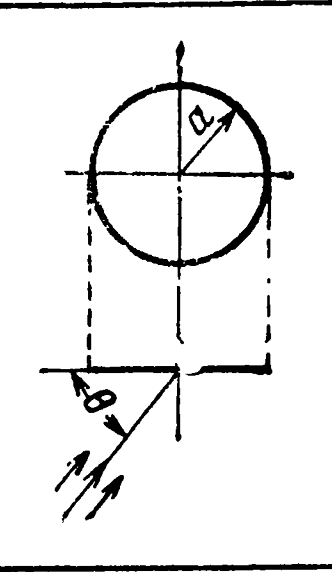
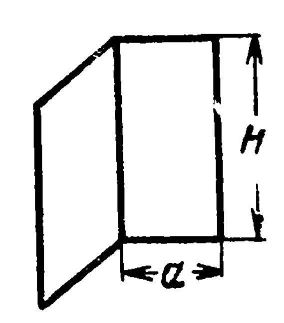
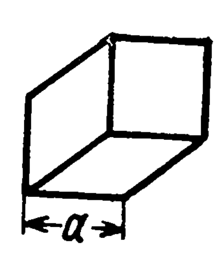
В реальных условиях радиолокационного обнаружения объекты простой геометрической формы встречаются довольно редко. Как правило, они имеют сложную конфигурацию и состоят из большого числа различных элементарных отражателей. Примерами одиночных целей сложной конфигурации могут служить корабли, самолеты, ракеты, различные наземные сооружения и т. д. Несколько одиночных объектов, расположенных в пределах отражающего объема (рис. 1.2) на относительно больших расстояниях по сравнению с длиной волны радиолокатора, образуют групповую цель.

	Плоский диск $$\sigma_ц = \pi k^2 a^4 \sin^2\theta \left[\frac{J_1(2ka\cos\theta)}{ka\cos\theta}\right]^2,$$ где J_1 — функция Бесселя 1-го порядка. При нормальном падении к плоскости диска: $$\sigma_ц = \frac{4\pi^3 a^4}{\lambda^2}$$
	Двугранный уголковый отражатель $$\sigma_ц = \frac{8\pi(aH)^2}{\lambda^2}$$ в максимуме диаграммы рассеяния
	Трехгранный уголковый отражатель $$\sigma_ц = \frac{12\pi a^4}{\lambda^2}$$ в максимуме диаграммы рассеяния

уравнений позволяют определить расчетным путем ЭПР только для тел простой геометрической формы (табл. 1.1).

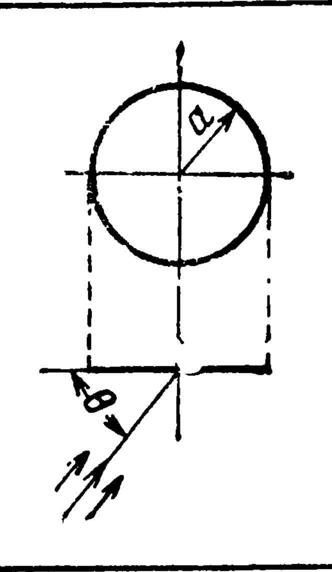
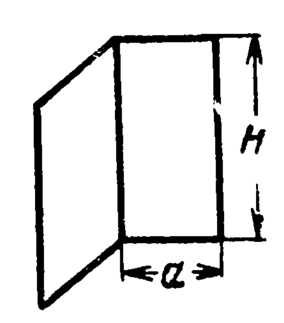
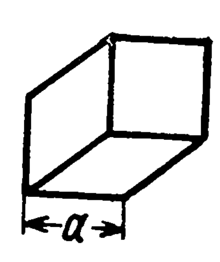
В реальных условиях радиолокационного обнаружения объекты простой геометрической формы встречаются довольно редко. Как правило, они имеют сложную конфигурацию и состоят из большого числа различных элементарных отражателей. Примерами одиночных целей сложной конфигурации могут служить корабли, самолеты, ракеты, различные наземные сооружения и т. д. Несколько одиночных объектов, расположенных в пределах отражающего объема (рис. 1.2) на относительно больших расстояниях по сравнению с длиной волны радиолокатора, образуют групповую цель.

Продолжение табл. 1.1

	Плоский диск $\sigma_ц = \pi k^2 a^4 \sin^2\theta \left[\frac{J_1(2ka\cos\theta)}{ka\cos\theta}\right]^2,$ где J_1 — функция Бесселя 1-го порядка. При нормальном падении к плоскости диска: $\sigma_ц = \frac{4\pi^3 a^4}{\lambda^2}$
	Двугранный уголковый отражатель $\sigma_ц = \frac{8\pi (aH)^2}{\lambda^2}$ в максимуме диаграммы рассеяния
	Трехгранный уголковый отражатель $\sigma_ц = \frac{12\pi a^4}{\lambda^2}$ в максимуме диаграммы рассеяния

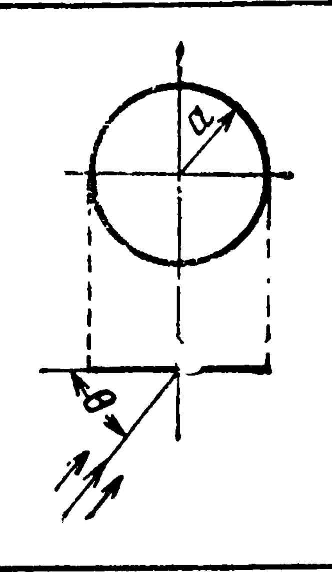
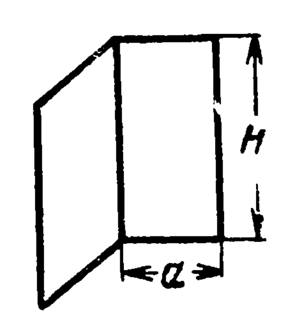
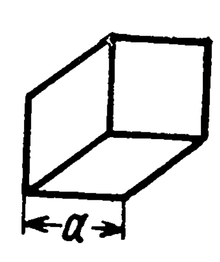
уравнений позволяют определить расчетным путем ЭПР только для тел простой геометрической формы (табл. 1.1).

В реальных условиях радиолокационного обнаружения объекты простой геометрической формы встречаются довольно редко. Как правило, они имеют сложную конфигурацию и состоят из большого числа различных элементарных отражателей. Примерами одиночных целей сложной конфигурации могут служить корабли, самолеты, ракеты, различные наземные сооружения и т. д. Несколько одиночных объектов, расположенных в пределах отражающего объема (рис. 1.2) на относительно больших расстояниях по сравнению с длиной волны радиолокатора, образуют групповую цель.

	Плоский диск $$\sigma_ц = \pi k^2 a^4 \sin^2\theta \left[\frac{J_1 (2ka\cos\theta)}{ka\cos\theta} \right]^2,$$ где J_1 — функция Бесселя 1-го порядка. При нормальном падении к плоскости диска: $$\sigma_ц = \frac{4\pi^3 a^4}{\lambda^2}$$
	Двугранный уголковый отражатель $$\sigma_ц = \frac{8\pi (aH)^2}{\lambda^2}$$ в максимуме диаграммы рассеяния
	Трехгранный уголковый отражатель $$\sigma_ц = \frac{12\pi a^4}{\lambda^2}$$ в максимуме диаграммы рассеяния

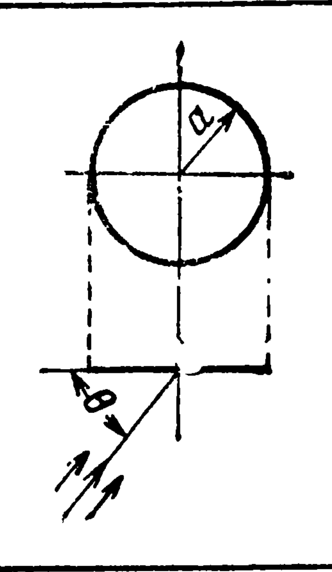
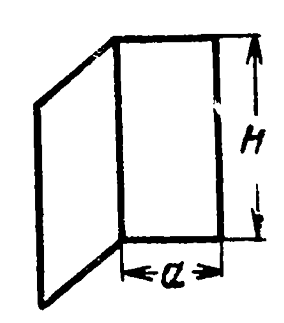
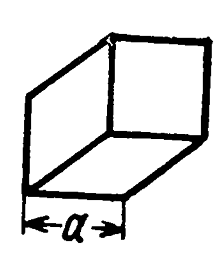
уравнений позволяют определить расчетным путем ЭПР только для тел простой геометрической формы (табл. 1.1).

В реальных условиях радиолокационного обнаружения объекты простой геометрической формы встречаются довольно редко. Как правило, они имеют сложную конфигурацию и состоят из большого числа различных элементарных отражателей. Примерами одиночных целей сложной конфигурации могут служить корабли, самолеты, ракеты, различные наземные сооружения и т. д. Несколько одиночных объектов, расположенных в пределах отражающего объема (рис. 1.2) на относительно больших расстояниях по сравнению с длиной волны радиолокатора, образуют групповую цель.

	Плоский диск $$\sigma_ц = \pi k^2 a^4 \sin^2\theta \left[\frac{J_1(2ka\cos\theta)}{ka\cos\theta}\right]^2,$$ где J_1 — функция Бесселя 1-го порядка. При нормальном падении к плоскости диска: $$\sigma_ц = \frac{4\pi^3 a^4}{\lambda^2}$$
	Двугранный уголковый отражатель $$\sigma_ц = \frac{8\pi (aH)^2}{\lambda^2}$$ в максимуме диаграммы рассеяния
	Трехгранный уголковый отражатель $$\sigma_ц = \frac{12\pi a^4}{\lambda^2}$$ в максимуме диаграммы рассеяния

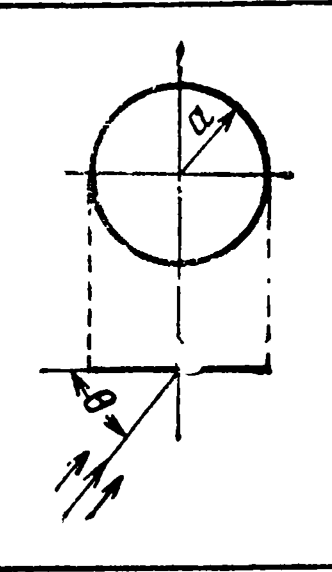
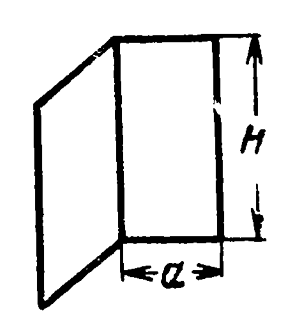
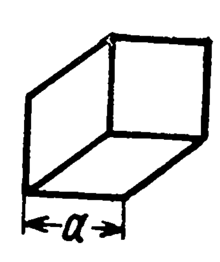
уравнений позволяют определить расчетным путем ЭПР только для тел простой геометрической формы (табл. 1.1).

В реальных условиях радиолокационного обнаружения объекты простой геометрической формы встречаются довольно редко. Как правило, они имеют сложную конфигурацию и состоят из большого числа различных элементарных отражателей. Примерами одиночных целей сложной конфигурации могут служить корабли, самолеты, ракеты, различные наземные сооружения и т. д. Несколько одиночных объектов, расположенных в пределах отражающего объема (рис. 1.2) на относительно больших расстояниях по сравнению с длиной волны радиолокатора, образуют групповую цель.

	Плоский диск $\sigma_ц = \pi k^2 a^4 \sin^2\theta \left[\frac{J_1(2ka\cos\theta)}{ka\cos\theta}\right]^2,$ где J_1 — функция Бесселя 1-го порядка. При нормальном падении к плоскости диска: $\sigma_ц = \frac{4\pi^3 a^4}{\lambda^2}$
	Двугранный уголковый отражатель $\sigma_ц = \frac{8\pi (aH)^2}{\lambda^2}$ в максимуме диаграммы рассеяния
	Трехгранный уголковый отражатель $\sigma_ц = \frac{12\pi a^4}{\lambda^2}$ в максимуме диаграммы рассеяния

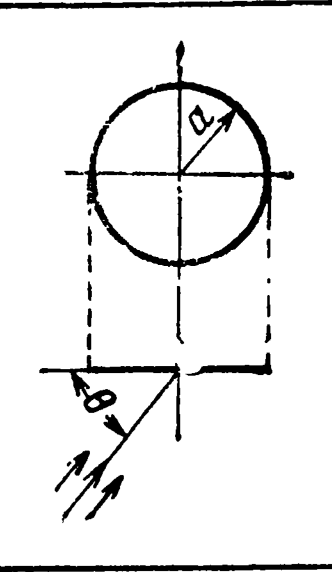
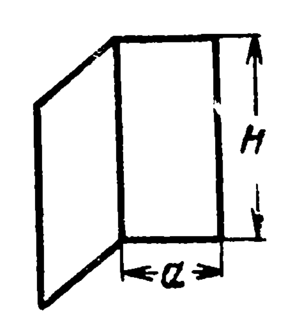
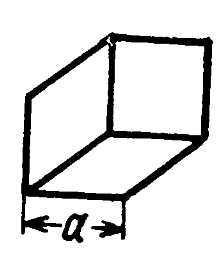
уравнений позволяют определить расчетным путем ЭПР только для тел простой геометрической формы (табл. 1.1).

В реальных условиях радиолокационного обнаружения объекты простой геометрической формы встречаются довольно редко. Как правило, они имеют сложную конфигурацию и состоят из большого числа различных элементарных отражателей. Примерами одиночных целей сложной конфигурации могут служить корабли, самолеты, ракеты, различные наземные сооружения и т. д. Несколько одиночных объектов, расположенных в пределах отражающего объема (рис. 1.2) на относительно больших расстояниях по сравнению с длиной волны радиолокатора, образуют групповую цель.

	Плоский диск $$\sigma_ц = \pi k^2 a^4 \sin^2\theta \left[\frac{J_1(2ka\cos\theta)}{ka\cos\theta}\right]^2,$$ где J_1 — функция Бесселя 1-го порядка. При нормальном падении к плоскости диска: $$\sigma_ц = \frac{4\pi^3 a^4}{\lambda^2}$$
	Двугранный уголковый отражатель $$\sigma_ц = \frac{8\pi (aH)^2}{\lambda^2}$$ в максимуме диаграммы рассеяния
	Трехгранный уголковый отражатель $$\sigma_ц = \frac{12\pi a^4}{\lambda^2}$$ в максимуме диаграммы рассеяния

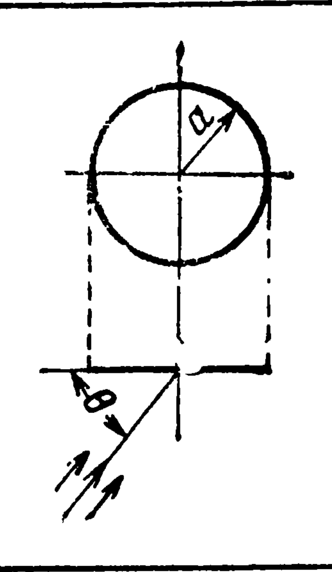
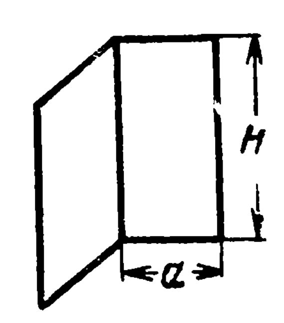
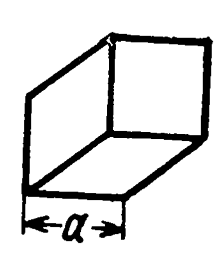
уравнений позволяют определить расчетным путем ЭПР только для тел простой геометрической формы (табл. 1.1).

В реальных условиях радиолокационного обнаружения объекты простой геометрической формы встречаются довольно редко. Как правило, они имеют сложную конфигурацию и состоят из большого числа различных элементарных отражателей. Примерами одиночных целей сложной конфигурации могут служить корабли, самолеты, ракеты, различные наземные сооружения и т. д. Несколько одиночных объектов, расположенных в пределах отражающего объема (рис. 1.2) на относительно больших расстояниях по сравнению с длиной волны радиолокатора, образуют групповую цель.

	Плоский диск $$\sigma_ц = \pi k^2 a^4 \sin^2\theta \left[\frac{J_1(2ka\cos\theta)}{ka\cos\theta}\right]^2,$$ где J_1 — функция Бесселя 1-го порядка. При нормальном падении к плоскости диска: $$\sigma_ц = \frac{4\pi^3 a^4}{\lambda^2}$$
	Двугранный уголковый отражатель $$\sigma_ц = \frac{8\pi (aH)^2}{\lambda^2}$$ в максимуме диаграммы рассеяния
	Трехгранный уголковый отражатель $$\sigma_ц = \frac{12\pi a^4}{\lambda^2}$$ в максимуме диаграммы рассеяния

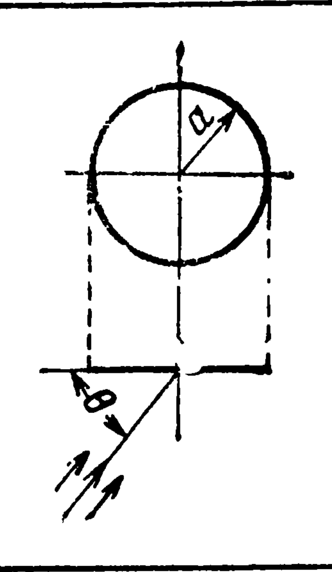
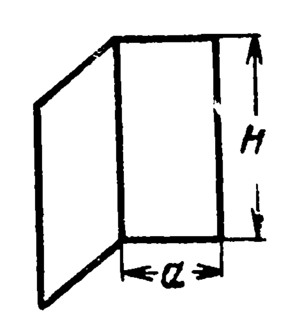
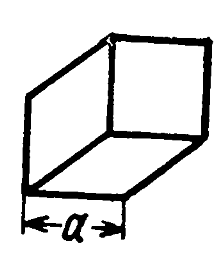
уравнений позволяют определить расчетным путем ЭПР только для тел простой геометрической формы (табл. 1.1).

В реальных условиях радиолокационного обнаружения объекты простой геометрической формы встречаются довольно редко. Как правило, они имеют сложную конфигурацию и состоят из большого числа различных элементарных отражателей. Примерами одиночных целей сложной конфигурации могут служить корабли, самолеты, ракеты, различные наземные сооружения и т. д. Несколько одиночных объектов, расположенных в пределах отражающего объема (рис. 1.2) на относительно больших расстояниях по сравнению с длиной волны радиолокатора, образуют групповую цель.

	Плоский диск $$\sigma_ц = \pi k^2 a^4 \sin^2\theta \left[\frac{J_1(2ka\cos\theta)}{ka\cos\theta}\right]^2,$$ где J_1 — функция Бесселя 1-го порядка. При нормальном падении к плоскости диска: $$\sigma_ц = \frac{4\pi^3 a^4}{\lambda^2}$$
	Двугранный уголковый отражатель $$\sigma_ц = \frac{8\pi (aH)^2}{\lambda^2}$$ в максимуме диаграммы рассеяния
	Трехгранный уголковый отражатель $$\sigma_ц = \frac{12\pi a^4}{\lambda^2}$$ в максимуме диаграммы рассеяния

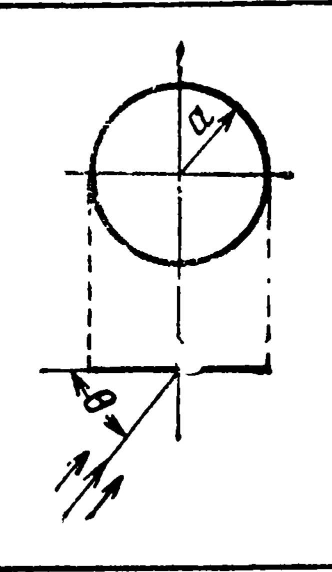
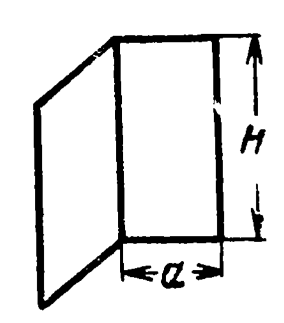
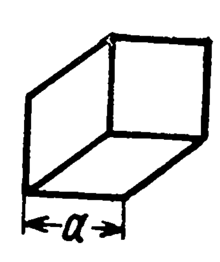
уравнений позволяют определить расчетным путем ЭПР только для тел простой геометрической формы (табл. 1.1).

В реальных условиях радиолокационного обнаружения объекты простой геометрической формы встречаются довольно редко. Как правило, они имеют сложную конфигурацию и состоят из большого числа различных элементарных отражателей. Примерами одиночных целей сложной конфигурации могут служить корабли, самолеты, ракеты, различные наземные сооружения и т. д. Несколько одиночных объектов, расположенных в пределах отражающего объема (рис. 1.2) на относительно больших расстояниях по сравнению с длиной волны радиолокатора, образуют групповую цель.

	Плоский диск $$\sigma_ц = \pi k^2 a^4 \sin^2\theta \left[\frac{J_1(2ka\cos\theta)}{ka\cos\theta}\right]^2,$$ где J_1 — функция Бесселя 1-го порядка. При нормальном падении к плоскости диска: $$\sigma_ц = \frac{4\pi^3 a^4}{\lambda^2}$$
	Двугранный уголковый отражатель $$\sigma_ц = \frac{8\pi (aH)^2}{\lambda^2}$$ в максимуме диаграммы рассеяния
	Трехгранный уголковый отражатель $$\sigma_ц = \frac{12\pi a^4}{\lambda^2}$$ в максимуме диаграммы рассеяния

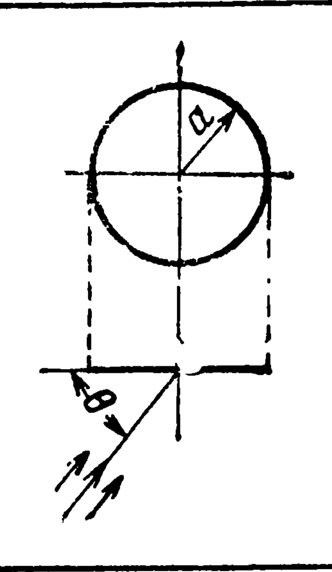
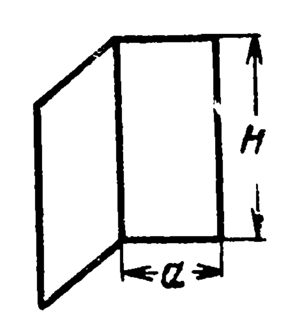
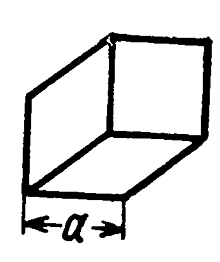
уравнений позволяют определить расчетным путем ЭПР только для тел простой геометрической формы (табл. 1.1).

В реальных условиях радиолокационного обнаружения объекты простой геометрической формы встречаются довольно редко. Как правило, они имеют сложную конфигурацию и состоят из большого числа различных элементарных отражателей. Примерами одиночных целей сложной конфигурации могут служить корабли, самолеты, ракеты, различные наземные сооружения и т. д. Несколько одиночных объектов, расположенных в пределах отражающего объема (рис. 1.2) на относительно больших расстояниях по сравнению с длиной волны радиолокатора, образуют групповую цель.

	Плоский диск $$\sigma_ц = \pi k^2 a^4 \sin^2\theta \left[\frac{J_1(2ka\cos\theta)}{ka\cos\theta}\right]^2,$$ где J_1 — функция Бесселя 1-го порядка. При нормальном падении к плоскости диска: $$\sigma_ц = \frac{4\pi^3 a^4}{\lambda^2}$$
	Двугранный уголковый отражатель $$\sigma_ц = \frac{8\pi (aH)^2}{\lambda^2}$$ в максимуме диаграммы рассеяния
	Трехгранный уголковый отражатель $$\sigma_ц = \frac{12\pi a^4}{\lambda^2}$$ в максимуме диаграммы рассеяния

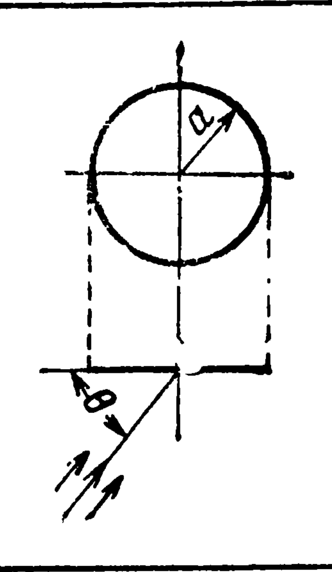
уравнений позволяют определить расчетным путем ЭПР только для тел простой геометрической формы (табл. 1.1).

В реальных условиях радиолокационного обнаружения объекты простой геометрической формы встречаются довольно редко. Как правило, они имеют сложную конфигурацию и состоят из большого числа различных элементарных отражателей. Примерами одиночных целей сложной конфигурации могут служить корабли, самолеты, ракеты, различные наземные сооружения и т. д. Несколько одиночных объектов, расположенных в пределах отражающего объема (рис. 1.2) на относительно больших расстояниях по сравнению с длиной волны радиолокатора, образуют групповую цель.

	Плоский диск $\sigma_ц = \pi k^2 a^4 \sin^2\theta \left[\frac{J_1(2ka\cos\theta)}{ka\cos\theta}\right]^2,$ где J_1 — функция Бесселя 1-го порядка. При нормальном падении к плоскости диска: $\sigma_ц = \frac{4\pi^3 a^4}{\lambda^2}$
	Двугранный уголковый отражатель $\sigma_ц = \frac{8\pi (aH)^2}{\lambda^2}$ в максимуме диаграммы рассеяния
	Трехгранный уголковый отражатель $\sigma_ц = \frac{12\pi a^4}{\lambda^2}$ в максимуме диаграммы рассеяния

уравнений позволяют определить расчетным путем ЭПР только для тел простой геометрической формы (табл. 1.1).

В реальных условиях радиолокационного обнаружения объекты простой геометрической формы встречаются довольно редко. Как правило, они имеют сложную конфигурацию и состоят из большого числа различных элементарных отражателей. Примерами одиночных целей сложной конфигурации могут служить корабли, самолеты, ракеты, различные наземные сооружения и т. д. Несколько одиночных объектов, расположенных в пределах отражающего объема (рис. 1.2) на относительно больших расстояниях по сравнению с длиной волны радиолокатора, образуют групповую цель.



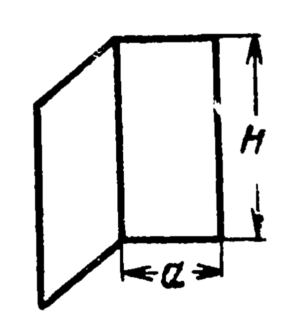
Плоский диск

$$\sigma_ц = \pi k^2 a^4 \sin^2\theta \left[\frac{J_1(2ka\cos\theta)}{ka\cos\theta}\right]^2,$$

где J_1 — функция Бесселя 1-го порядка.

При нормальном падении к плоскости диска:

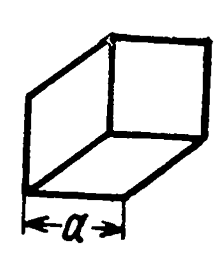
$$\sigma_ц = \frac{4\pi^3 a^4}{\lambda^2}$$



Двугранный уголковый отражатель

$$\sigma_ц = \frac{8\pi (aH)^2}{\lambda^2}$$

в максимуме диаграммы рассеяния



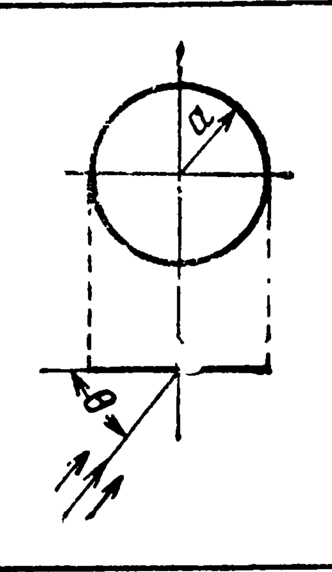
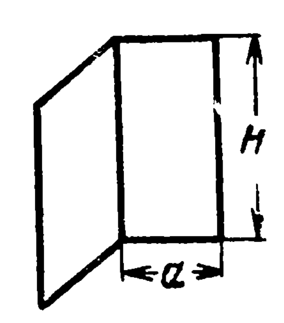
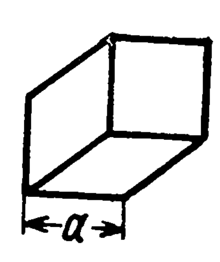
Трехгранный уголковый отражатель

$$\sigma_ц = \frac{12\pi a^4}{\lambda^2}$$

в максимуме диаграммы рассеяния

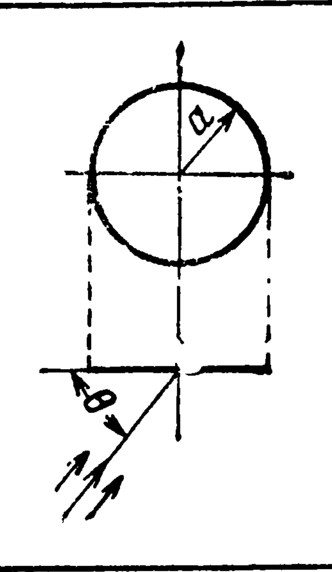
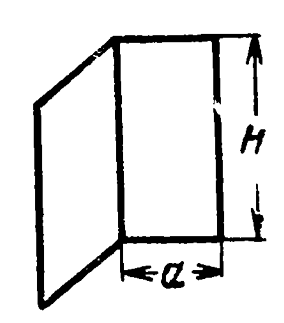
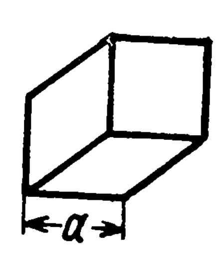
уравнений позволяют определить расчетным путем ЭПР только для тел простой геометрической формы (табл. 1.1).

В реальных условиях радиолокационного обнаружения объекты простой геометрической формы встречаются довольно редко. Как правило, они имеют сложную конфигурацию и состоят из большого числа различных элементарных отражателей. Примерами одиночных целей сложной конфигурации могут служить корабли, самолеты, ракеты, различные наземные сооружения и т. д. Несколько одиночных объектов, расположенных в пределах отражающего объема (рис. 1.2) на относительно больших расстояниях по сравнению с длиной волны радиолокатора, образуют групповую цель.

	Плоский диск $$\sigma_ц = \pi k^2 a^4 \sin^2\theta \left[\frac{J_1(2ka\cos\theta)}{ka\cos\theta}\right]^2,$$ где J_1 — функция Бесселя 1-го порядка. При нормальном падении к плоскости диска: $$\sigma_ц = \frac{4\pi^3 a^4}{\lambda^2}$$
	Двугранный уголковый отражатель $$\sigma_ц = \frac{8\pi (aH)^2}{\lambda^2}$$ в максимуме диаграммы рассеяния
	Трехгранный уголковый отражатель $$\sigma_ц = \frac{12\pi a^4}{\lambda^2}$$ в максимуме диаграммы рассеяния

уравнений позволяют определить расчетным путем ЭПР только для тел простой геометрической формы (табл. 1.1).

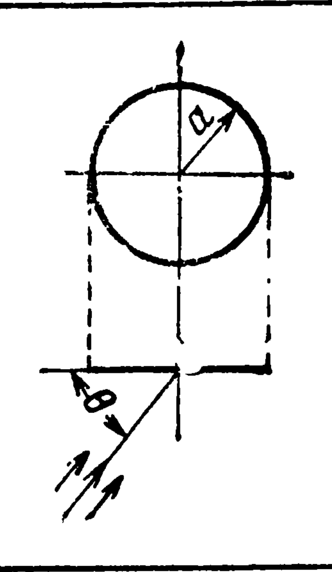
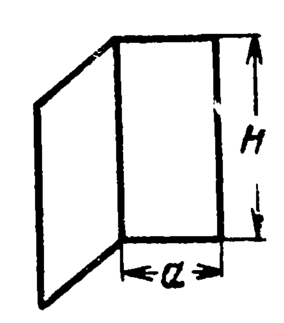
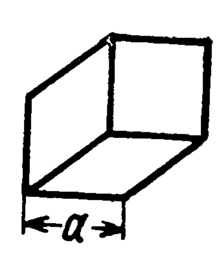
В реальных условиях радиолокационного обнаружения объекты простой геометрической формы встречаются довольно редко. Как правило, они имеют сложную конфигурацию и состоят из большого числа различных элементарных отражателей. Примерами одиночных целей сложной конфигурации могут служить корабли, самолеты, ракеты, различные наземные сооружения и т. д. Несколько одиночных объектов, расположенных в пределах отражающего объема (рис. 1.2) на относительно больших расстояниях по сравнению с длиной волны радиолокатора, образуют групповую цель.

	Плоский диск $$\sigma_ц = \pi k^2 a^4 \sin^2\theta \left[\frac{J_1(2ka\cos\theta)}{ka\cos\theta}\right]^2,$$ где J_1 — функция Бесселя 1-го порядка. При нормальном падении к плоскости диска: $$\sigma_ц = \frac{4\pi^3 a^4}{\lambda^2}$$
	Двугранный уголковый отражатель $$\sigma_ц = \frac{8\pi (aH)^2}{\lambda^2}$$ в максимуме диаграммы рассеяния
	Трехгранный уголковый отражатель $$\sigma_ц = \frac{12\pi a^4}{\lambda^2}$$ в максимуме диаграммы рассеяния

уравнений позволяют определить расчетным путем ЭПР только для тел простой геометрической формы (табл. 1.1).

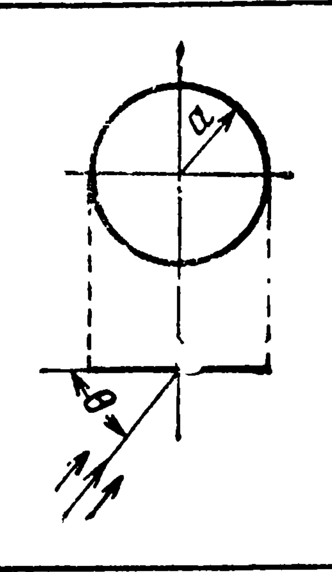
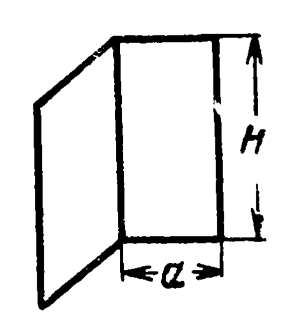
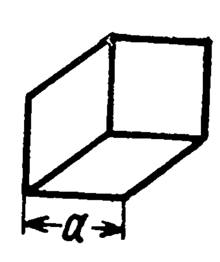
В реальных условиях радиолокационного обнаружения объекты простой геометрической формы встречаются довольно редко. Как правило, они имеют сложную конфигурацию и состоят из большого числа различных элементарных отражателей. Примерами одиночных целей сложной конфигурации могут служить корабли, самолеты, ракеты, различные наземные сооружения и т. д. Несколько одиночных объектов, расположенных в пределах отражающего объема (рис. 1.2) на относительно больших расстояниях по сравнению с длиной волны радиолокатора, образуют групповую цель.

Продолжение табл. 1.1

	Плоский диск $$\sigma_ц = \pi k^2 a^4 \sin^2\theta \left[\frac{J_1(2ka\cos\theta)}{ka\cos\theta}\right]^2,$$ где J_1 — функция Бесселя 1-го порядка. При нормальном падении к плоскости диска: $$\sigma_ц = \frac{4\pi^3 a^4}{\lambda^2}$$
	Двугранный уголковый отражатель $$\sigma_ц = \frac{8\pi(aH)^2}{\lambda^2}$$ в максимуме диаграммы рассеяния
	Трехгранный уголковый отражатель $$\sigma_ц = \frac{12\pi a^4}{\lambda^2}$$ в максимуме диаграммы рассеяния

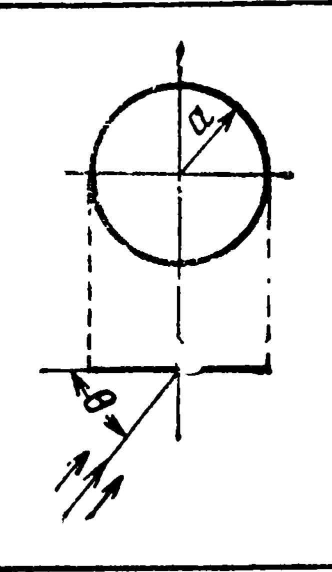
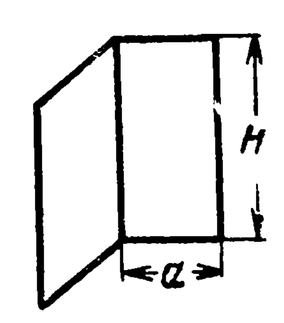
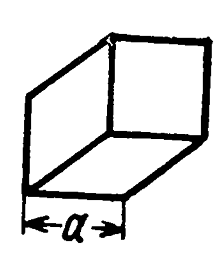
уравнений позволяют определить расчетным путем ЭПР только для тел простой геометрической формы (табл. 1.1).

В реальных условиях радиолокационного обнаружения объекты простой геометрической формы встречаются довольно редко. Как правило, они имеют сложную конфигурацию и состоят из большого числа различных элементарных отражателей. Примерами одиночных целей сложной конфигурации могут служить корабли, самолеты, ракеты, различные наземные сооружения и т. д. Несколько одиночных объектов, расположенных в пределах отражающего объема (рис. 1.2) на относительно больших расстояниях по сравнению с длиной волны радиолокатора, образуют групповую цель.

	Плоский диск $$\sigma_ц = \pi k^2 a^4 \sin^2\theta \left[\frac{J_1(2ka\cos\theta)}{ka\cos\theta}\right]^2,$$ где J_1 — функция Бесселя 1-го порядка. При нормальном падении к плоскости диска: $$\sigma_ц = \frac{4\pi^3 a^4}{\lambda^2}$$
	Двугранный уголковый отражатель $$\sigma_ц = \frac{8\pi (aH)^2}{\lambda^2}$$ в максимуме диаграммы рассеяния
	Трехгранный уголковый отражатель $$\sigma_ц = \frac{12\pi a^4}{\lambda^2}$$ в максимуме диаграммы рассеяния

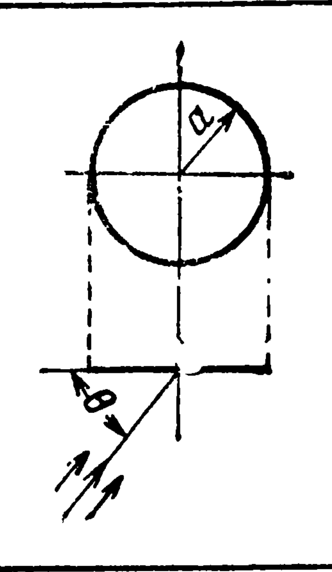
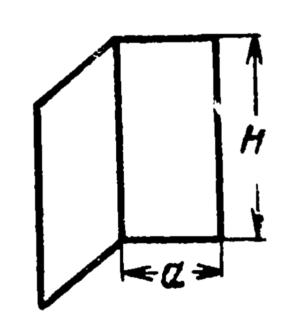
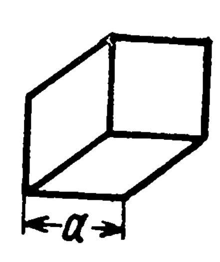
уравнений позволяют определить расчетным путем ЭПР только для тел простой геометрической формы (табл. 1.1).

В реальных условиях радиолокационного обнаружения объекты простой геометрической формы встречаются довольно редко. Как правило, они имеют сложную конфигурацию и состоят из большого числа различных элементарных отражателей. Примерами одиночных целей сложной конфигурации могут служить корабли, самолеты, ракеты, различные наземные сооружения и т. д. Несколько одиночных объектов, расположенных в пределах отражающего объема (рис. 1.2) на относительно больших расстояниях по сравнению с длиной волны радиолокатора, образуют групповую цель.

	Плоский диск $\sigma_ц = \pi k^2 a^4 \sin^2\theta \left[\frac{J_1(2ka\cos\theta)}{ka\cos\theta}\right]^2,$ где J_1 — функция Бесселя 1-го порядка. При нормальном падении к плоскости диска: $\sigma_ц = \frac{4\pi^3 a^4}{\lambda^2}$
	Двугранный уголковый отражатель $\sigma_ц = \frac{8\pi (aH)^2}{\lambda^2}$ в максимуме диаграммы рассеяния
	Трехгранный уголковый отражатель $\sigma_ц = \frac{12\pi a^4}{\lambda^2}$ в максимуме диаграммы рассеяния

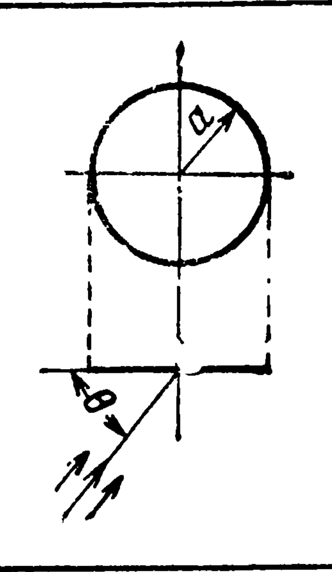
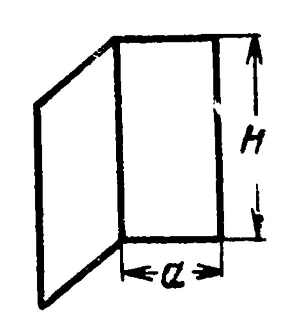
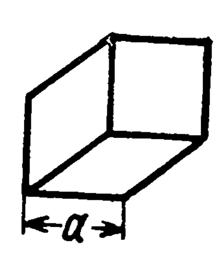
уравнений позволяют определить расчетным путем ЭПР только для тел простой геометрической формы (табл. 1.1).

В реальных условиях радиолокационного обнаружения объекты простой геометрической формы встречаются довольно редко. Как правило, они имеют сложную конфигурацию и состоят из большого числа различных элементарных отражателей. Примерами одиночных целей сложной конфигурации могут служить корабли, самолеты, ракеты, различные наземные сооружения и т. д. Несколько одиночных объектов, расположенных в пределах отражающего объема (рис. 1.2) на относительно больших расстояниях по сравнению с длиной волны радиолокатора, образуют групповую цель.

	Плоский диск $$\sigma_ц = \pi k^2 a^4 \sin^2 \theta \left[\frac{J_1(2ka \cos \theta)}{ka \cos \theta} \right]^2,$$ где J_1 — функция Бесселя 1-го порядка. При нормальном падении к плоскости диска: $$\sigma_ц = \frac{4\pi^3 a^4}{\lambda^2}$$
	Двугранный уголковый отражатель $$\sigma_ц = \frac{8\pi (aH)^2}{\lambda^2}$$ в максимуме диаграммы рассеяния
	Трехгранный уголковый отражатель $$\sigma_ц = \frac{12\pi a^4}{\lambda^2}$$ в максимуме диаграммы рассеяния

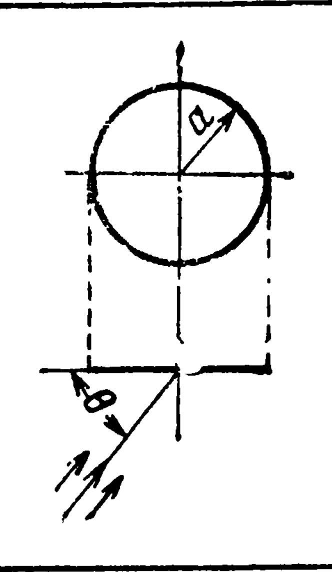
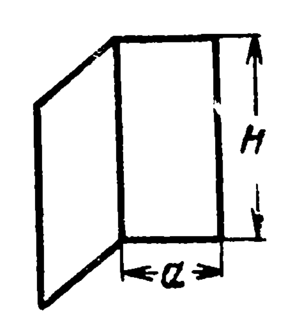
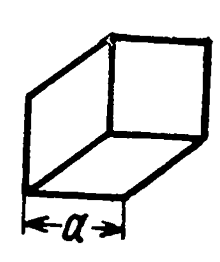
уравнений позволяют определить расчетным путем ЭПР только для тел простой геометрической формы (табл. 1.1).

В реальных условиях радиолокационного обнаружения объекты простой геометрической формы встречаются довольно редко. Как правило, они имеют сложную конфигурацию и состоят из большого числа различных элементарных отражателей. Примерами одиночных целей сложной конфигурации могут служить корабли, самолеты, ракеты, различные наземные сооружения и т. д. Несколько одиночных объектов, расположенных в пределах отражающего объема (рис. 1.2) на относительно больших расстояниях по сравнению с длиной волны радиолокатора, образуют групповую цель.

	Плоский диск $$\sigma_ц = \pi k^2 a^4 \sin^2\theta \left[\frac{J_1(2ka\cos\theta)}{ka\cos\theta}\right]^2,$$ где J_1 — функция Бесселя 1-го порядка. При нормальном падении к плоскости диска: $$\sigma_ц = \frac{4\pi^3 a^4}{\lambda^2}$$
	Двугранный уголковый отражатель $$\sigma_ц = \frac{8\pi (aH)^2}{\lambda^2}$$ в максимуме диаграммы рассеяния
	Трехгранный уголковый отражатель $$\sigma_ц = \frac{12\pi a^4}{\lambda^2}$$ в максимуме диаграммы рассеяния

уравнений позволяют определить расчетным путем ЭПР только для тел простой геометрической формы (табл. 1.1).

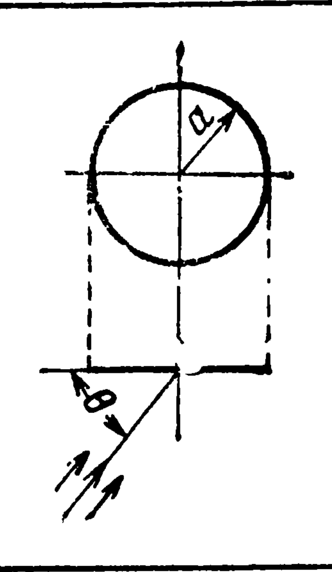
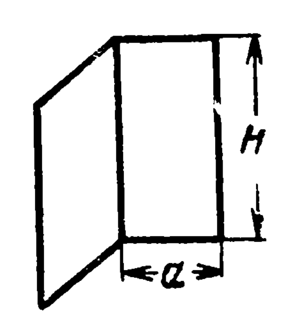
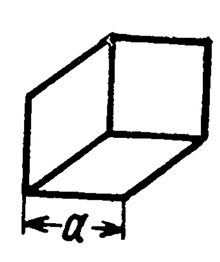
В реальных условиях радиолокационного обнаружения объекты простой геометрической формы встречаются довольно редко. Как правило, они имеют сложную конфигурацию и состоят из большого числа различных элементарных отражателей. Примерами одиночных целей сложной конфигурации могут служить корабли, самолеты, ракеты, различные наземные сооружения и т. д. Несколько одиночных объектов, расположенных в пределах отражающего объема (рис. 1.2) на относительно больших расстояниях по сравнению с длиной волны радиолокатора, образуют групповую цель.

	Плоский диск $$\sigma_ц = \pi k^2 a^4 \sin^2\theta \left[\frac{J_1(2ka\cos\theta)}{ka\cos\theta}\right]^2,$$ где J_1 — функция Бесселя 1-го порядка. При нормальном падении к плоскости диска: $$\sigma_ц = \frac{4\pi^3 a^4}{\lambda^2}$$
	Двугранный уголковый отражатель $$\sigma_ц = \frac{8\pi (aH)^2}{\lambda^2}$$ в максимуме диаграммы рассеяния
	Трехгранный уголковый отражатель $$\sigma_ц = \frac{12\pi a^4}{\lambda^2}$$ в максимуме диаграммы рассеяния

уравнений позволяют определить расчетным путем ЭПР только для тел простой геометрической формы (табл. 1.1).

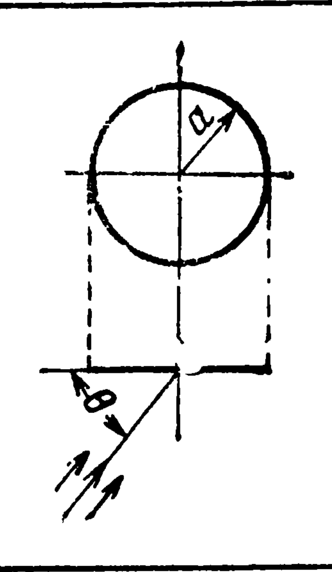
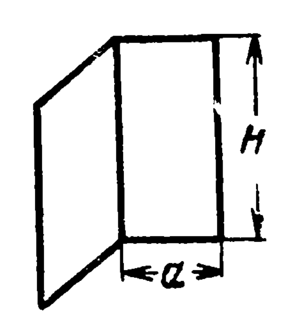
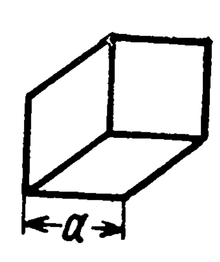
В реальных условиях радиолокационного обнаружения объекты простой геометрической формы встречаются довольно редко. Как правило, они имеют сложную конфигурацию и состоят из большого числа различных элементарных отражателей. Примерами одиночных целей сложной конфигурации могут служить корабли, самолеты, ракеты, различные наземные сооружения и т. д. Несколько одиночных объектов, расположенных в пределах отражающего объема (рис. 1.2) на относительно больших расстояниях по сравнению с длиной волны радиолокатора, образуют групповую цель.

Продолжение табл. 1.1

	Плоский диск $$\sigma_ц = \pi k^2 a^4 \sin^2\theta \left[\frac{J_1(2ka\cos\theta)}{ka\cos\theta}\right]^2,$$ где J_1 — функция Бесселя 1-го порядка. При нормальном падении к плоскости диска: $$\sigma_ц = \frac{4\pi^3 a^4}{\lambda^2}$$
	Двугранный уголковый отражатель $$\sigma_ц = \frac{8\pi (aH)^2}{\lambda^2}$$ в максимуме диаграммы рассеяния
	Трехгранный уголковый отражатель $$\sigma_ц = \frac{12\pi a^4}{\lambda^2}$$ в максимуме диаграммы рассеяния

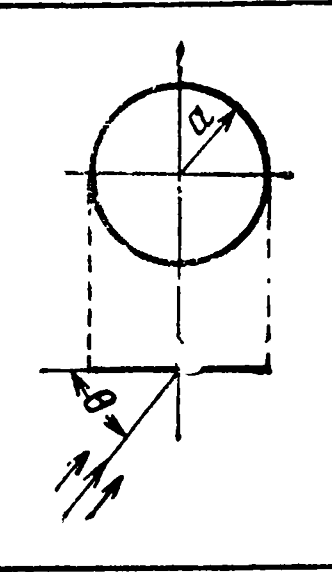
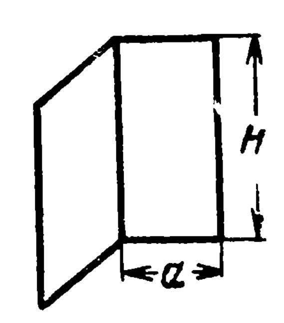
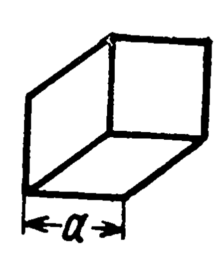
уравнений позволяют определить расчетным путем ЭПР только для тел простой геометрической формы (табл. 1.1).

В реальных условиях радиолокационного обнаружения объекты простой геометрической формы встречаются довольно редко. Как правило, они имеют сложную конфигурацию и состоят из большого числа различных элементарных отражателей. Примерами одиночных целей сложной конфигурации могут служить корабли, самолеты, ракеты, различные наземные сооружения и т. д. Несколько одиночных объектов, расположенных в пределах отражающего объема (рис. 1.2) на относительно больших расстояниях по сравнению с длиной волны радиолокатора, образуют групповую цель.

	Плоский диск $$\sigma_ц = \pi k^2 a^4 \sin^2\theta\left[\frac{J_1(2ka\cos\theta)}{ka\cos\theta}\right]^2,$$ где J_1 — функция Бесселя 1-го порядка. При нормальном падении к плоскости диска: $$\sigma_ц = \frac{4\pi^3 a^4}{\lambda^2}$$
	Двугранный уголковый отражатель $$\sigma_ц = \frac{8\pi(aH)^2}{\lambda^2}$$ в максимуме диаграммы рассеяния
	Трехгранный уголковый отражатель $$\sigma_ц = \frac{12\pi a^4}{\lambda^2}$$ в максимуме диаграммы рассеяния

уравнений позволяют определить расчетным путем ЭПР только для тел простой геометрической формы (табл. 1.1).

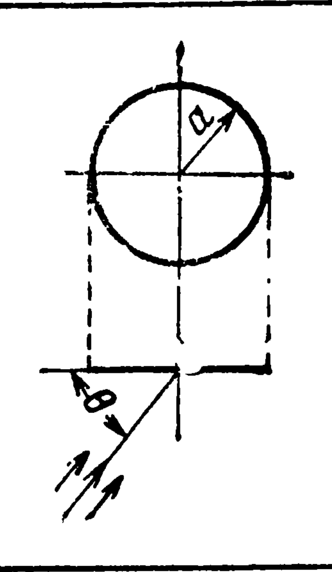
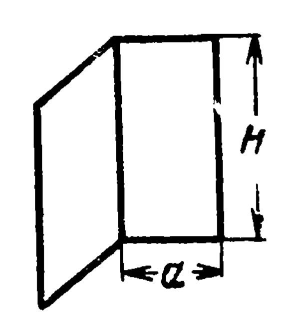
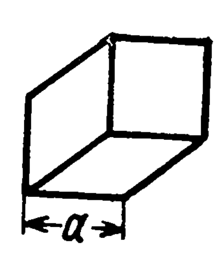
В реальных условиях радиолокационного обнаружения объекты простой геометрической формы встречаются довольно редко. Как правило, они имеют сложную конфигурацию и состоят из большого числа различных элементарных отражателей. Примерами одиночных целей сложной конфигурации могут служить корабли, самолеты, ракеты, различные наземные сооружения и т. д. Несколько одиночных объектов, расположенных в пределах отражающего объема (рис. 1.2) на относительно больших расстояниях по сравнению с длиной волны радиолокатора, образуют групповую цель.

	Плоский диск $$\sigma_ц = \pi k^2 a^4 \sin^2 \theta \left[\frac{J_1(2ka \cos \theta)}{ka \cos \theta} \right]^2,$$ где J_1 — функция Бесселя 1-го порядка. При нормальном падении к плоскости диска: $$\sigma_ц = \frac{4\pi^3 a^4}{\lambda^2}$$
	Двугранный уголковый отражатель $$\sigma_ц = \frac{8\pi (aH)^2}{\lambda^2}$$ в максимуме диаграммы рассеяния
	Трехгранный уголковый отражатель $$\sigma_ц = \frac{12\pi a^4}{\lambda^2}$$ в максимуме диаграммы рассеяния

уравнений позволяют определить расчетным путем ЭПР только для тел простой геометрической формы (табл. 1.1).

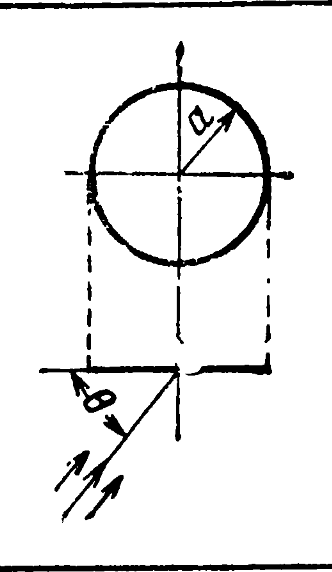
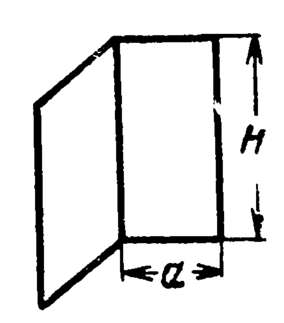
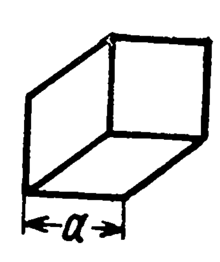
В реальных условиях радиолокационного обнаружения объекты простой геометрической формы встречаются довольно редко. Как правило, они имеют сложную конфигурацию и состоят из большого числа различных элементарных отражателей. Примерами одиночных целей сложной конфигурации могут служить корабли, самолеты, ракеты, различные наземные сооружения и т. д. Несколько одиночных объектов, расположенных в пределах отражающего объема (рис. 1.2) на относительно больших расстояниях по сравнению с длиной волны радиолокатора, образуют групповую цель.

Продолжение табл. 1.1

	Плоский диск $\sigma_ц = \pi k^2 a^4 \sin^2\theta \left[\frac{J_1(2ka\cos\theta)}{ka\cos\theta}\right]^2,$ где J_1 — функция Бесселя 1-го порядка. При нормальном падении к плоскости диска: $\sigma_ц = \frac{4\pi^3 a^4}{\lambda^2}$
	Двугранный уголковый отражатель $\sigma_ц = \frac{8\pi (aH)^2}{\lambda^2}$ в максимуме диаграммы рассеяния
	Трехгранный уголковый отражатель $\sigma_ц = \frac{12\pi a^4}{\lambda^2}$ в максимуме диаграммы рассеяния

уравнений позволяют определить расчетным путем ЭПР только для тел простой геометрической формы (табл. 1.1).

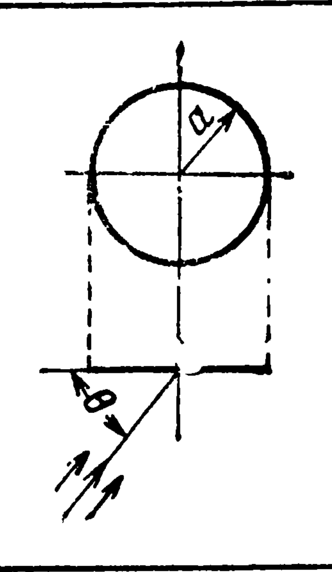
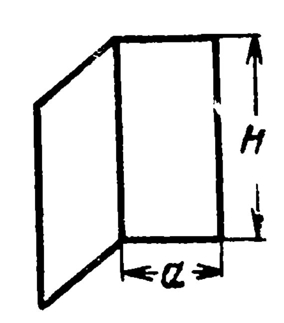
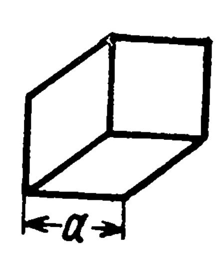
В реальных условиях радиолокационного обнаружения объекты простой геометрической формы встречаются довольно редко. Как правило, они имеют сложную конфигурацию и состоят из большого числа различных элементарных отражателей. Примерами одиночных целей сложной конфигурации могут служить корабли, самолеты, ракеты, различные наземные сооружения и т. д. Несколько одиночных объектов, расположенных в пределах отражающего объема (рис. 1.2) на относительно больших расстояниях по сравнению с длиной волны радиолокатора, образуют групповую цель.

	Плоский диск $$\sigma_ц = \pi k^2 a^4 \sin^2\theta \left[\frac{J_1(2ka\cos\theta)}{ka\cos\theta}\right]^2,$$ где J_1 — функция Бесселя 1-го порядка. При нормальном падении к плоскости диска: $$\sigma_ц = \frac{4\pi^3 a^4}{\lambda^2}$$
	Двугранный уголковый отражатель $$\sigma_ц = \frac{8\pi (aH)^2}{\lambda^2}$$ в максимуме диаграммы рассеяния
	Трехгранный уголковый отражатель $$\sigma_ц = \frac{12\pi a^4}{\lambda^2}$$ в максимуме диаграммы рассеяния

уравнений позволяют определить расчетным путем ЭПР только для тел простой геометрической формы (табл. 1.1).

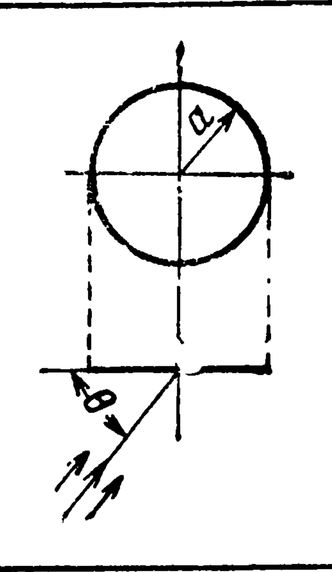
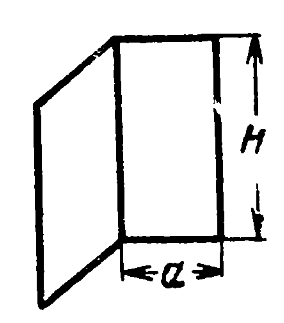
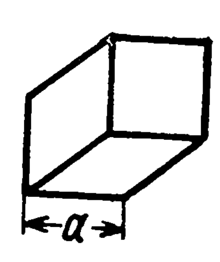
В реальных условиях радиолокационного обнаружения объекты простой геометрической формы встречаются довольно редко. Как правило, они имеют сложную конфигурацию и состоят из большого числа различных элементарных отражателей. Примерами одиночных целей сложной конфигурации могут служить корабли, самолеты, ракеты, различные наземные сооружения и т. д. Несколько одиночных объектов, расположенных в пределах отражающего объема (рис. 1.2) на относительно больших расстояниях по сравнению с длиной волны радиолокатора, образуют групповую цель.

Продолжение табл. 1.1

	Плоский диск $\sigma_ц = \pi k^2 a^4 \sin^2\theta \left[\frac{J_1(2ka\cos\theta)}{ka\cos\theta}\right]^2,$ где J_1 — функция Бесселя 1-го порядка. При нормальном падении к плоскости диска: $\sigma_ц = \frac{4\pi^3 a^4}{\lambda^2}$
	Двугранный уголковый отражатель $\sigma_ц = \frac{8\pi (aH)^2}{\lambda^2}$ в максимуме диаграммы рассеяния
	Трехгранный уголковый отражатель $\sigma_ц = \frac{12\pi a^4}{\lambda^2}$ в максимуме диаграммы рассеяния

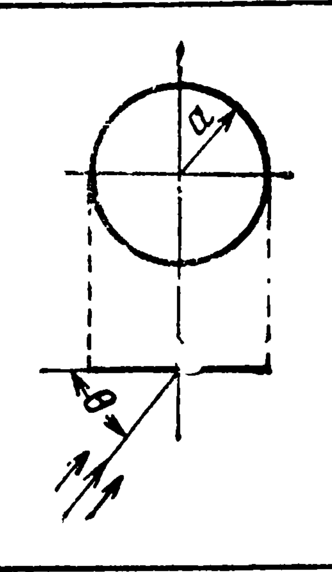
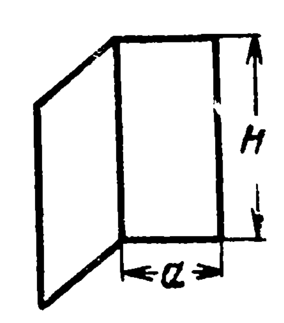
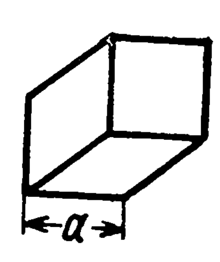
уравнений позволяют определить расчетным путем ЭПР только для тел простой геометрической формы (табл. 1.1).

В реальных условиях радиолокационного обнаружения объекты простой геометрической формы встречаются довольно редко. Как правило, они имеют сложную конфигурацию и состоят из большого числа различных элементарных отражателей. Примерами одиночных целей сложной конфигурации могут служить корабли, самолеты, ракеты, различные наземные сооружения и т. д. Несколько одиночных объектов, расположенных в пределах отражающего объема (рис. 1.2) на относительно больших расстояниях по сравнению с длиной волны радиолокатора, образуют групповую цель.

	Плоский диск $\sigma_ц = \pi k^2 a^4 \sin^2\theta \left[\frac{J_1(2ka\cos\theta)}{ka\cos\theta}\right]^2,$ где J_1 — функция Бесселя 1-го порядка. При нормальном падении к плоскости диска: $\sigma_ц = \frac{4\pi^3 a^4}{\lambda^2}$
	Двугранный уголковый отражатель $\sigma_ц = \frac{8\pi (aH)^2}{\lambda^2}$ в максимуме диаграммы рассеяния
	Трехгранный уголковый отражатель $\sigma_ц = \frac{12\pi a^4}{\lambda^2}$ в максимуме диаграммы рассеяния

уравнений позволяют определить расчетным путем ЭПР только для тел простой геометрической формы (табл. 1.1).

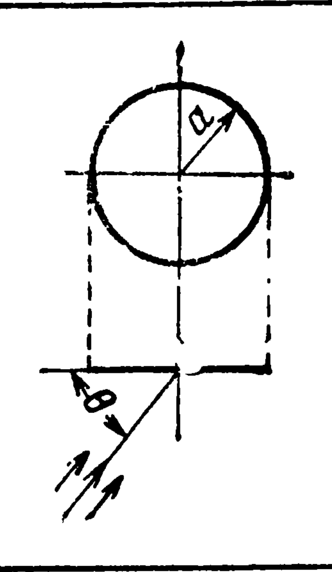
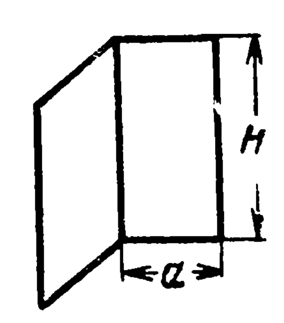
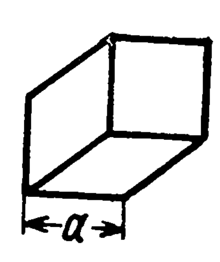
В реальных условиях радиолокационного обнаружения объекты простой геометрической формы встречаются довольно редко. Как правило, они имеют сложную конфигурацию и состоят из большого числа различных элементарных отражателей. Примерами одиночных целей сложной конфигурации могут служить корабли, самолеты, ракеты, различные наземные сооружения и т. д. Несколько одиночных объектов, расположенных в пределах отражающего объема (рис. 1.2) на относительно больших расстояниях по сравнению с длиной волны радиолокатора, образуют групповую цель.

	Плоский диск $\sigma_{ц} = \pi k^2 a^4 \sin^2\theta \left[\frac{J_1(2ka\cos\theta)}{ka\cos\theta}\right]^2,$ где J_1 — функция Бесселя 1-го порядка. При нормальном падении к плоскости диска: $\sigma_{ц} = \frac{4\pi^3 a^4}{\lambda^2}$
	Двугранный уголковый отражатель $\sigma_{ц} = \frac{8\pi (aH)^2}{\lambda^2}$ в максимуме диаграммы рассеяния
	Трехгранный уголковый отражатель $\sigma_{ц} = \frac{12\pi a^4}{\lambda^2}$ в максимуме диаграммы рассеяния

уравнений позволяют определить расчетным путем ЭПР только для тел простой геометрической формы (табл. 1.1).

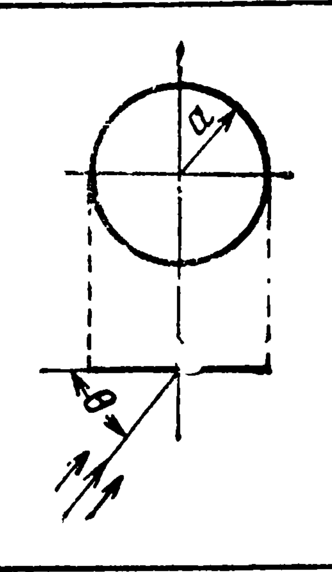
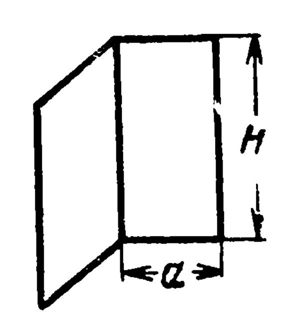
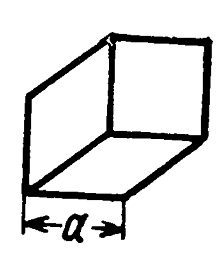
В реальных условиях радиолокационного обнаружения объекты простой геометрической формы встречаются довольно редко. Как правило, они имеют сложную конфигурацию и состоят из большого числа различных элементарных отражателей. Примерами одиночных целей сложной конфигурации могут служить корабли, самолеты, ракеты, различные наземные сооружения и т. д. Несколько одиночных объектов, расположенных в пределах отражающего объема (рис. 1.2) на относительно больших расстояниях по сравнению с длиной волны радиолокатора, образуют групповую цель.

Продолжение табл. 1.1

	Плоский диск $\sigma_\text{ц} = \pi k^2 a^4 \sin^2\theta \left[\frac{J_1(2ka\cos\theta)}{ka\cos\theta}\right]^2,$ где J_1 — функция Бесселя 1-го порядка. При нормальном падении к плоскости диска: $\sigma_\text{ц} = \frac{4\pi^3 a^4}{\lambda^2}$
	Двугранный уголковый отражатель $\sigma_\text{ц} = \frac{8\pi (aH)^2}{\lambda^2}$ в максимуме диаграммы рассеяния
	Трехгранный уголковый отражатель $\sigma_\text{ц} = \frac{12\pi a^4}{\lambda^2}$ в максимуме диаграммы рассеяния

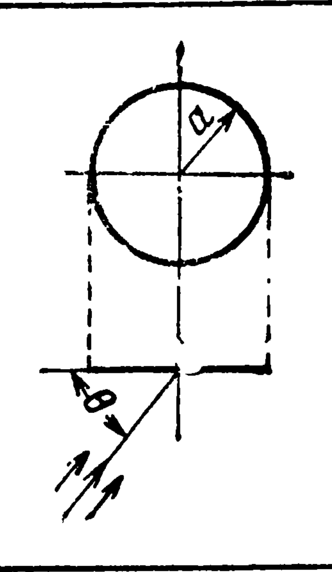
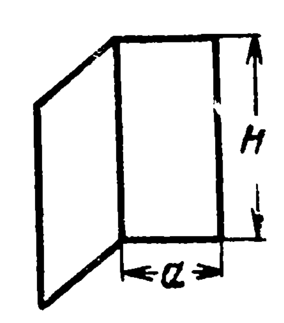
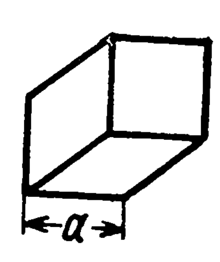
уравнений позволяют определить расчетным путем ЭПР только для тел простой геометрической формы (табл. 1.1).

В реальных условиях радиолокационного обнаружения объекты простой геометрической формы встречаются довольно редко. Как правило, они имеют сложную конфигурацию и состоят из большого числа различных элементарных отражателей. Примерами одиночных целей сложной конфигурации могут служить корабли, самолеты, ракеты, различные наземные сооружения и т. д. Несколько одиночных объектов, расположенных в пределах отражающего объема (рис. 1.2) на относительно больших расстояниях по сравнению с длиной волны радиолокатора, образуют групповую цель.

	Плоский диск $\sigma_ц = \pi k^2 a^4 \sin^2\theta \left[\frac{J_1(2ka\cos\theta)}{ka\cos\theta}\right]^2,$ где J_1 — функция Бесселя 1-го порядка. При нормальном падении к плоскости диска: $\sigma_ц = \frac{4\pi^3 a^4}{\lambda^2}$
	Двугранный уголковый отражатель $\sigma_ц = \frac{8\pi (aH)^2}{\lambda^2}$ в максимуме диаграммы рассеяния
	Трехгранный уголковый отражатель $\sigma_ц = \frac{12\pi a^4}{\lambda^2}$ в максимуме диаграммы рассеяния

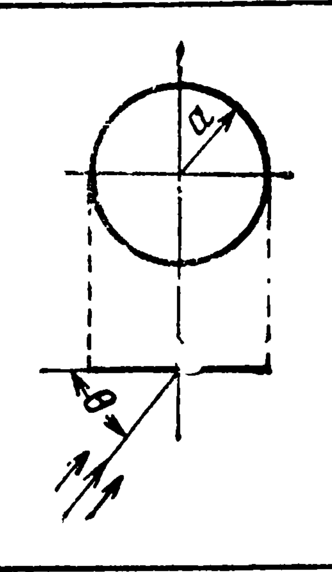
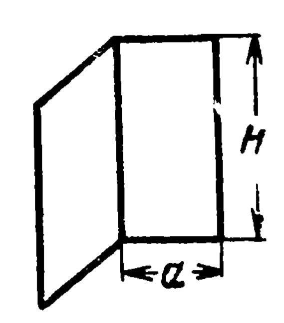
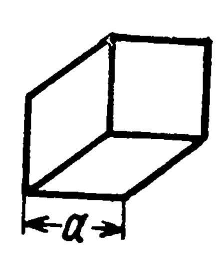
уравнений позволяют определить расчетным путем ЭПР только для тел простой геометрической формы (табл. 1.1).

В реальных условиях радиолокационного обнаружения объекты простой геометрической формы встречаются довольно редко. Как правило, они имеют сложную конфигурацию и состоят из большого числа различных элементарных отражателей. Примерами одиночных целей сложной конфигурации могут служить корабли, самолеты, ракеты, различные наземные сооружения и т. д. Несколько одиночных объектов, расположенных в пределах отражающего объема (рис. 1.2) на относительно больших расстояниях по сравнению с длиной волны радиолокатора, образуют групповую цель.

	Плоский диск $\sigma_ц = \pi k^2 a^4 \sin^2\theta \left[\frac{J_1(2ka\cos\theta)}{ka\cos\theta}\right]^2,$ где J_1 — функция Бесселя 1-го порядка. При нормальном падении к плоскости диска: $\sigma_ц = \frac{4\pi^3 a^4}{\lambda^2}$
	Двугранный уголковый отражатель $\sigma_ц = \frac{8\pi (aH)^2}{\lambda^2}$ в максимуме диаграммы рассеяния
	Трехгранный уголковый отражатель $\sigma_ц = \frac{12\pi a^4}{\lambda^2}$ в максимуме диаграммы рассеяния

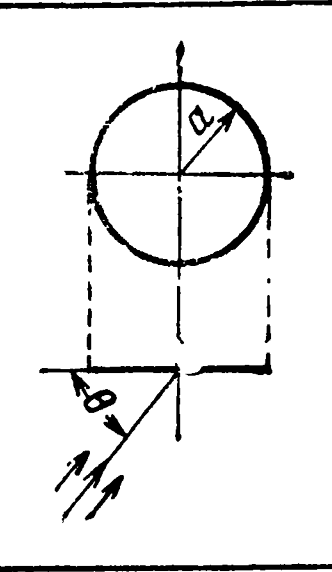
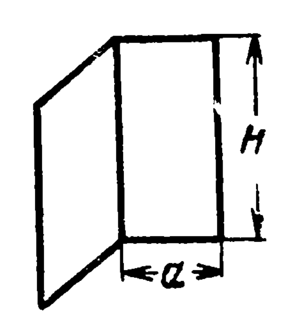
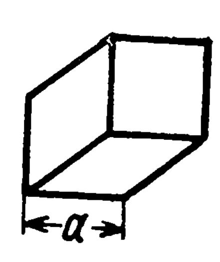
уравнений позволяют определить расчетным путем ЭПР только для тел простой геометрической формы (табл. 1.1).

В реальных условиях радиолокационного обнаружения объекты простой геометрической формы встречаются довольно редко. Как правило, они имеют сложную конфигурацию и состоят из большого числа различных элементарных отражателей. Примерами одиночных целей сложной конфигурации могут служить корабли, самолеты, ракеты, различные наземные сооружения и т. д. Несколько одиночных объектов, расположенных в пределах отражающего объема (рис. 1.2) на относительно больших расстояниях по сравнению с длиной волны радиолокатора, образуют групповую цель.

	Плоский диск $$\sigma_ц = \pi k^2 a^4 \sin^2 \theta \left[\frac{J_1 (2ka \cos \theta)}{ka \cos \theta} \right]^2,$$ где J_1 — функция Бесселя 1-го порядка. При нормальном падении к плоскости диска: $$\sigma_ц = \frac{4\pi^3 a^4}{\lambda^2}$$
	Двугранный уголковый отражатель $$\sigma_ц = \frac{8\pi (aH)^2}{\lambda^2}$$ в максимуме диаграммы рассеяния
	Трехгранный уголковый отражатель $$\sigma_ц = \frac{12\pi a^4}{\lambda^2}$$ в максимуме диаграммы рассеяния

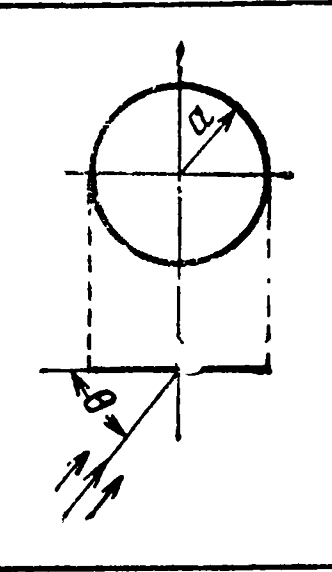
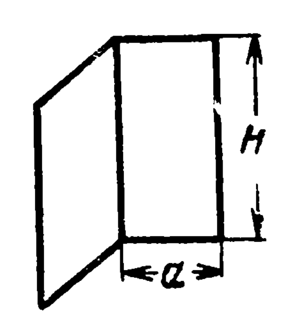
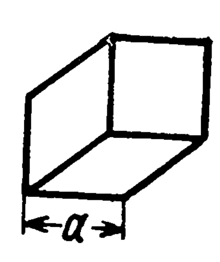
уравнений позволяют определить расчетным путем ЭПР только для тел простой геометрической формы (табл. 1.1).

В реальных условиях радиолокационного обнаружения объекты простой геометрической формы встречаются довольно редко. Как правило, они имеют сложную конфигурацию и состоят из большого числа различных элементарных отражателей. Примерами одиночных целей сложной конфигурации могут служить корабли, самолеты, ракеты, различные наземные сооружения и т. д. Несколько одиночных объектов, расположенных в пределах отражающего объема (рис. 1.2) на относительно больших расстояниях по сравнению с длиной волны радиолокатора, образуют групповую цель.

	Плоский диск $$\sigma_ц = \pi k^2 a^4 \sin^2 \theta \left[\frac{J_1 (2ka \cos \theta)}{ka \cos \theta} \right]^2,$$ где J_1 — функция Бесселя 1-го порядка. При нормальном падении к плоскости диска: $$\sigma_ц = \frac{4\pi^3 a^4}{\lambda^2}$$
	Двугранный уголковый отражатель $$\sigma_ц = \frac{8\pi (aH)^2}{\lambda^2}$$ в максимуме диаграммы рассеяния
	Трехгранный уголковый отражатель $$\sigma_ц = \frac{12\pi a^4}{\lambda^2}$$ в максимуме диаграммы рассеяния

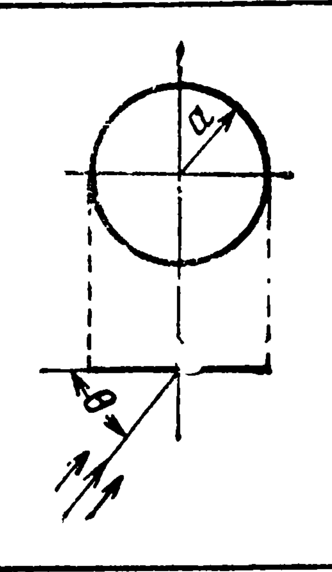
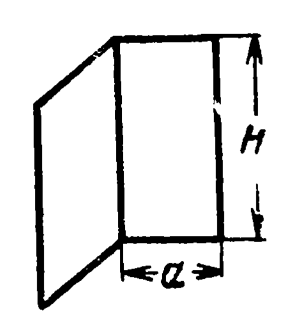
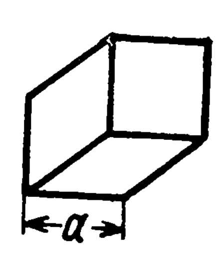
уравнений позволяют определить расчетным путем ЭПР только для тел простой геометрической формы (табл. 1.1).

В реальных условиях радиолокационного обнаружения объекты простой геометрической формы встречаются довольно редко. Как правило, они имеют сложную конфигурацию и состоят из большого числа различных элементарных отражателей. Примерами одиночных целей сложной конфигурации могут служить корабли, самолеты, ракеты, различные наземные сооружения и т. д. Несколько одиночных объектов, расположенных в пределах отражающего объема (рис. 1.2) на относительно больших расстояниях по сравнению с длиной волны радиолокатора, образуют групповую цель.

	Плоский диск $$\sigma_ц = \pi k^2 a^4 \sin^2\theta \left[\frac{J_1(2ka\cos\theta)}{ka\cos\theta}\right]^2,$$ где J_1 — функция Бесселя 1-го порядка. При нормальном падении к плоскости диска: $$\sigma_ц = \frac{4\pi^3 a^4}{\lambda^2}$$
	Двугранный уголковый отражатель $$\sigma_ц = \frac{8\pi (aH)^2}{\lambda^2}$$ в максимуме диаграммы рассеяния
	Трехгранный уголковый отражатель $$\sigma_ц = \frac{12\pi a^4}{\lambda^2}$$ в максимуме диаграммы рассеяния

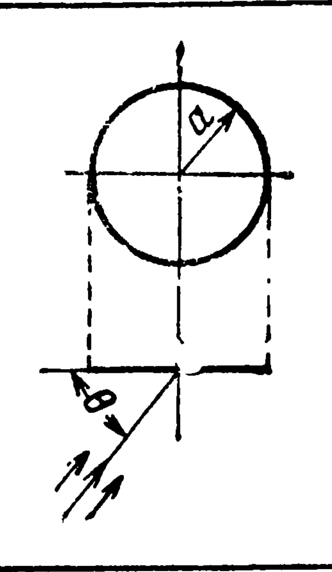
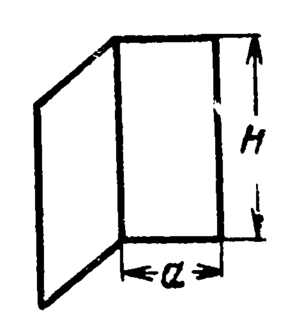
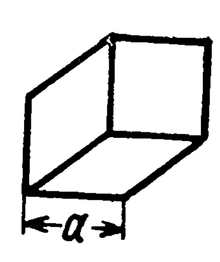
уравнений позволяют определить расчетным путем ЭПР только для тел простой геометрической формы (табл. 1.1).

В реальных условиях радиолокационного обнаружения объекты простой геометрической формы встречаются довольно редко. Как правило, они имеют сложную конфигурацию и состоят из большого числа различных элементарных отражателей. Примерами одиночных целей сложной конфигурации могут служить корабли, самолеты, ракеты, различные наземные сооружения и т. д. Несколько одиночных объектов, расположенных в пределах отражающего объема (рис. 1.2) на относительно больших расстояниях по сравнению с длиной волны радиолокатора, образуют групповую цель.

	Плоский диск $\sigma_ц = \pi k^2 a^4 \sin^2\theta \left[\frac{J_1(2ka\cos\theta)}{ka\cos\theta}\right]^2,$ где J_1 — функция Бесселя 1-го порядка. При нормальном падении к плоскости диска: $\sigma_ц = \frac{4\pi^3 a^4}{\lambda^2}$
	Двугранный уголковый отражатель $\sigma_ц = \frac{8\pi (aH)^2}{\lambda^2}$ в максимуме диаграммы рассеяния
	Трехгранный уголковый отражатель $\sigma_ц = \frac{12\pi a^4}{\lambda^2}$ в максимуме диаграммы рассеяния

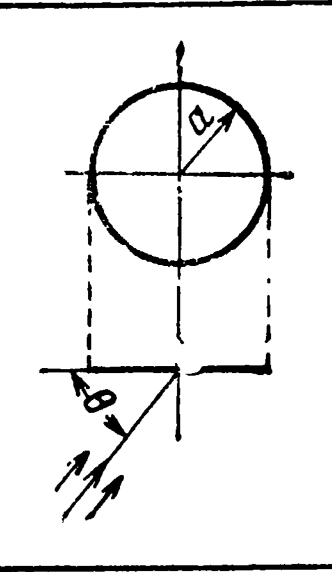
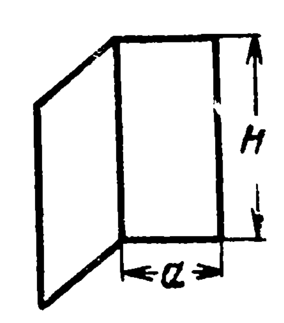
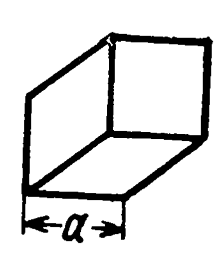
уравнений позволяют определить расчетным путем ЭПР только для тел простой геометрической формы (табл. 1.1).

В реальных условиях радиолокационного обнаружения объекты простой геометрической формы встречаются довольно редко. Как правило, они имеют сложную конфигурацию и состоят из большого числа различных элементарных отражателей. Примерами одиночных целей сложной конфигурации могут служить корабли, самолеты, ракеты, различные наземные сооружения и т. д. Несколько одиночных объектов, расположенных в пределах отражающего объема (рис. 1.2) на относительно больших расстояниях по сравнению с длиной волны радиолокатора, образуют групповую цель.

	Плоский диск $\sigma_ц = \pi k^2 a^4 \sin^2\theta \left[\frac{J_1(2ka\cos\theta)}{ka\cos\theta}\right]^2,$ где J_1 — функция Бесселя 1-го порядка. При нормальном падении к плоскости диска: $\sigma_ц = \frac{4\pi^3 a^4}{\lambda^2}$
	Двугранный уголковый отражатель $\sigma_ц = \frac{8\pi (aH)^2}{\lambda^2}$ в максимуме диаграммы рассеяния
	Трехгранный уголковый отражатель $\sigma_ц = \frac{12\pi a^4}{\lambda^2}$ в максимуме диаграммы рассеяния

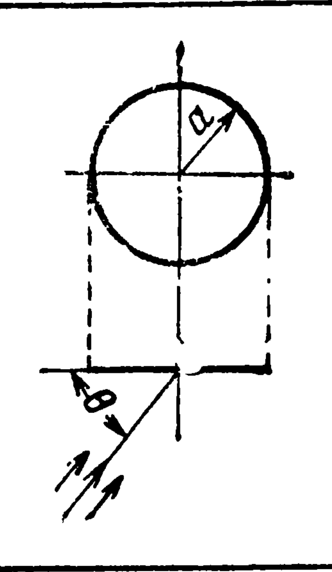
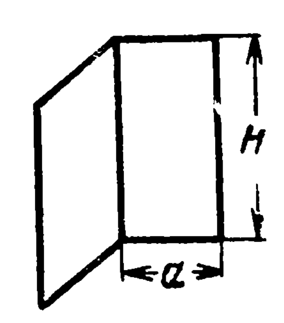
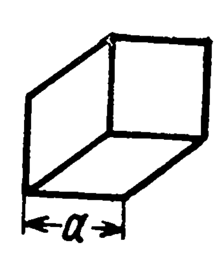
уравнений позволяют определить расчетным путем ЭПР только для тел простой геометрической формы (табл. 1.1).

В реальных условиях радиолокационного обнаружения объекты простой геометрической формы встречаются довольно редко. Как правило, они имеют сложную конфигурацию и состоят из большого числа различных элементарных отражателей. Примерами одиночных целей сложной конфигурации могут служить корабли, самолеты, ракеты, различные наземные сооружения и т. д. Несколько одиночных объектов, расположенных в пределах отражающего объема (рис. 1.2) на относительно больших расстояниях по сравнению с длиной волны радиолокатора, образуют групповую цель.

	Плоский диск $$\sigma_ц = \pi k^2 a^4 \sin^2\theta \left[\frac{J_1(2ka\cos\theta)}{ka\cos\theta}\right]^2,$$ где J_1 — функция Бесселя 1-го порядка. При нормальном падении к плоскости диска: $$\sigma_ц = \frac{4\pi^3 a^4}{\lambda^2}$$
	Двугранный уголковый отражатель $$\sigma_ц = \frac{8\pi (aH)^2}{\lambda^2}$$ в максимуме диаграммы рассеяния
	Трехгранный уголковый отражатель $$\sigma_ц = \frac{12\pi a^4}{\lambda^2}$$ в максимуме диаграммы рассеяния

уравнений позволяют определить расчетным путем ЭПР только для тел простой геометрической формы (табл. 1.1).

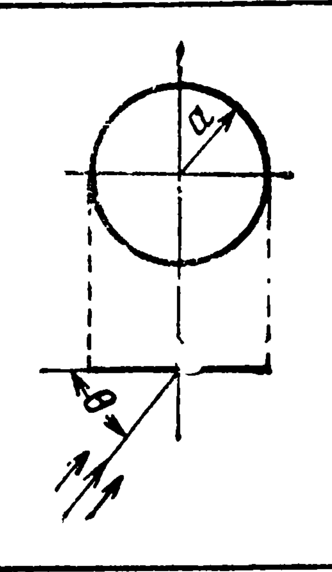
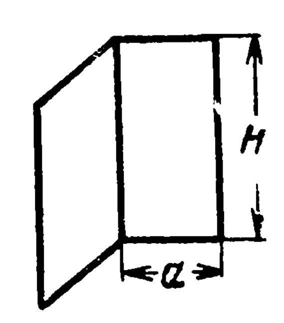
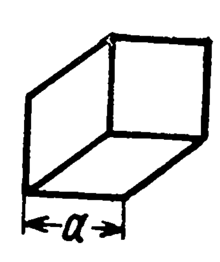
В реальных условиях радиолокационного обнаружения объекты простой геометрической формы встречаются довольно редко. Как правило, они имеют сложную конфигурацию и состоят из большого числа различных элементарных отражателей. Примерами одиночных целей сложной конфигурации могут служить корабли, самолеты, ракеты, различные наземные сооружения и т. д. Несколько одиночных объектов, расположенных в пределах отражающего объема (рис. 1.2) на относительно больших расстояниях по сравнению с длиной волны радиолокатора, образуют групповую цель.

	Плоский диск $$\sigma_ц = \pi k^2 a^4 \sin^2\theta \left[\frac{J_1(2ka\cos\theta)}{ka\cos\theta}\right]^2,$$ где J_1 — функция Бесселя 1-го порядка. При нормальном падении к плоскости диска: $$\sigma_ц = \frac{4\pi^3 a^4}{\lambda^2}$$
	Двугранный уголковый отражатель $$\sigma_ц = \frac{8\pi (aH)^2}{\lambda^2}$$ в максимуме диаграммы рассеяния
	Трехгранный уголковый отражатель $$\sigma_ц = \frac{12\pi a^4}{\lambda^2}$$ в максимуме диаграммы рассеяния

уравнений позволяют определить расчетным путем ЭПР только для тел простой геометрической формы (табл. 1.1).

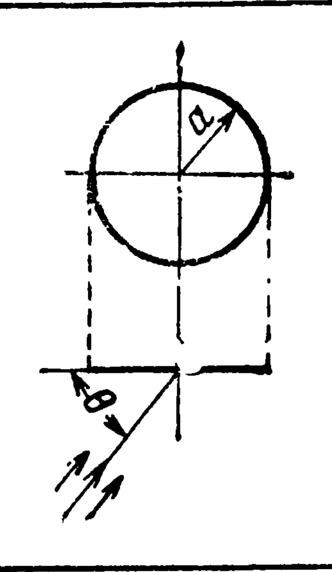
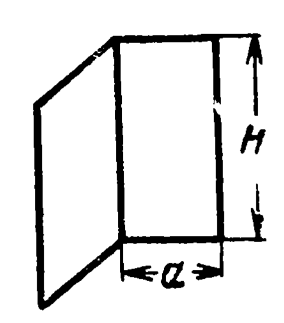
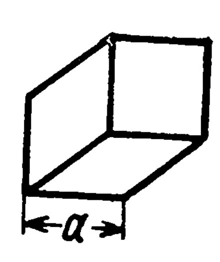
В реальных условиях радиолокационного обнаружения объекты простой геометрической формы встречаются довольно редко. Как правило, они имеют сложную конфигурацию и состоят из большого числа различных элементарных отражателей. Примерами одиночных целей сложной конфигурации могут служить корабли, самолеты, ракеты, различные наземные сооружения и т. д. Несколько одиночных объектов, расположенных в пределах отражающего объема (рис. 1.2) на относительно больших расстояниях по сравнению с длиной волны радиолокатора, образуют групповую цель.

Продолжение табл. 1.1

	Плоский диск $$\sigma_ц = \pi k^2 a^4 \sin^2\theta \left[\frac{J_1(2ka\cos\theta)}{ka\cos\theta}\right]^2,$$ где J_1 — функция Бесселя 1-го порядка. При нормальном падении к плоскости диска: $$\sigma_ц = \frac{4\pi^3 a^4}{\lambda^2}$$
	Двугранный уголковый отражатель $$\sigma_ц = \frac{8\pi(aH)^2}{\lambda^2}$$ в максимуме диаграммы рассеяния
	Трехгранный уголковый отражатель $$\sigma_ц = \frac{12\pi a^4}{\lambda^2}$$ в максимуме диаграммы рассеяния

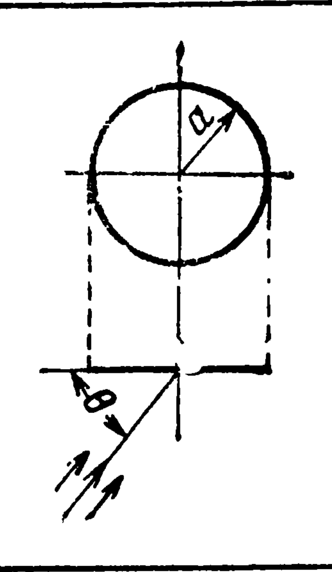
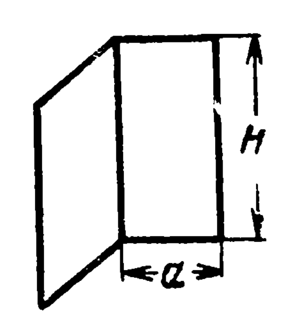
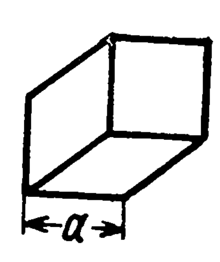
уравнений позволяют определить расчетным путем ЭПР только для тел простой геометрической формы (табл. 1.1).

В реальных условиях радиолокационного обнаружения объекты простой геометрической формы встречаются довольно редко. Как правило, они имеют сложную конфигурацию и состоят из большого числа различных элементарных отражателей. Примерами одиночных целей сложной конфигурации могут служить корабли, самолеты, ракеты, различные наземные сооружения и т. д. Несколько одиночных объектов, расположенных в пределах отражающего объема (рис. 1.2) на относительно больших расстояниях по сравнению с длиной волны радиолокатора, образуют групповую цель.

	Плоский диск $\sigma_ц = \pi k^2 a^4 \sin^2\theta \left[\frac{J_1(2ka\cos\theta)}{ka\cos\theta}\right]^2,$ где J_1 — функция Бесселя 1-го порядка. При нормальном падении к плоскости диска: $\sigma_ц = \frac{4\pi^3 a^4}{\lambda^2}$
	Двугранный уголковый отражатель $\sigma_ц = \frac{8\pi (aH)^2}{\lambda^2}$ в максимуме диаграммы рассеяния
	Трехгранный уголковый отражатель $\sigma_ц = \frac{12\pi a^4}{\lambda^2}$ в максимуме диаграммы рассеяния

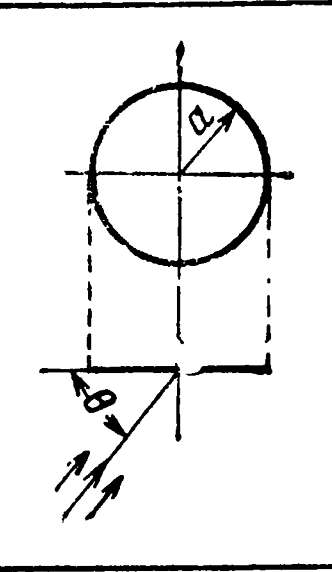
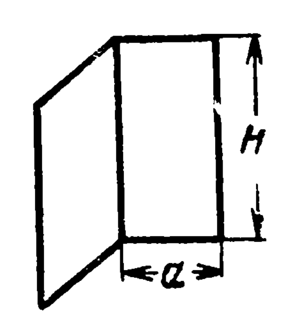
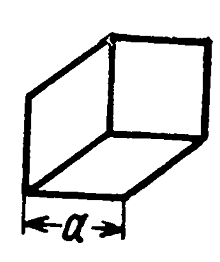
уравнений позволяют определить расчетным путем ЭПР только для тел простой геометрической формы (табл. 1.1).

В реальных условиях радиолокационного обнаружения объекты простой геометрической формы встречаются довольно редко. Как правило, они имеют сложную конфигурацию и состоят из большого числа различных элементарных отражателей. Примерами одиночных целей сложной конфигурации могут служить корабли, самолеты, ракеты, различные наземные сооружения и т. д. Несколько одиночных объектов, расположенных в пределах отражающего объема (рис. 1.2) на относительно больших расстояниях по сравнению с длиной волны радиолокатора, образуют групповую цель.

	Плоский диск $$\sigma_{ц} = \pi k^2 a^4 \sin^2\theta \left[\frac{J_1(2ka\cos\theta)}{ka\cos\theta}\right]^2,$$ где J_1 — функция Бесселя 1-го порядка. При нормальном падении к плоскости диска: $$\sigma_{ц} = \frac{4\pi^3 a^4}{\lambda^2}$$
	Двугранный уголковый отражатель $$\sigma_{ц} = \frac{8\pi (aH)^2}{\lambda^2}$$ в максимуме диаграммы рассеяния
	Трехгранный уголковый отражатель $$\sigma_{ц} = \frac{12\pi a^4}{\lambda^2}$$ в максимуме диаграммы рассеяния

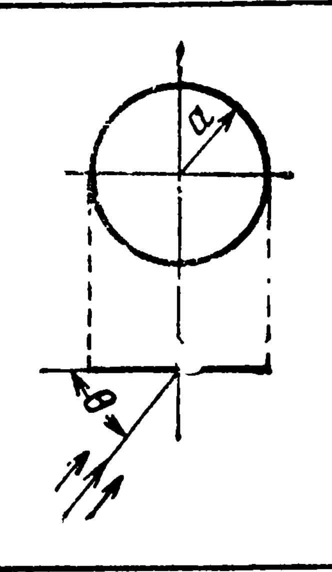
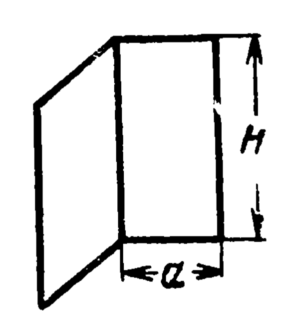
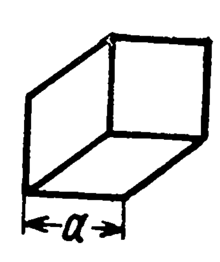
уравнений позволяют определить расчетным путем ЭПР только для тел простой геометрической формы (табл. 1.1).

В реальных условиях радиолокационного обнаружения объекты простой геометрической формы встречаются довольно редко. Как правило, они имеют сложную конфигурацию и состоят из большого числа различных элементарных отражателей. Примерами одиночных целей сложной конфигурации могут служить корабли, самолеты, ракеты, различные наземные сооружения и т. д. Несколько одиночных объектов, расположенных в пределах отражающего объема (рис. 1.2) на относительно больших расстояниях по сравнению с длиной волны радиолокатора, образуют групповую цель.

	Плоский диск $$\sigma_ц = \pi k^2 a^4 \sin^2\theta \left[\frac{J_1(2ka\cos\theta)}{ka\cos\theta}\right]^2,$$ где J_1 — функция Бесселя 1-го порядка. При нормальном падении к плоскости диска: $$\sigma_ц = \frac{4\pi^3 a^4}{\lambda^2}$$
	Двугранный уголковый отражатель $$\sigma_ц = \frac{8\pi (aH)^2}{\lambda^2}$$ в максимуме диаграммы рассеяния
	Трехгранный уголковый отражатель $$\sigma_ц = \frac{12\pi a^4}{\lambda^2}$$ в максимуме диаграммы рассеяния

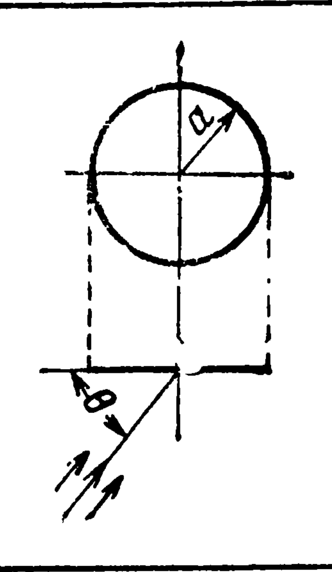
уравнений позволяют определить расчетным путем ЭПР только для тел простой геометрической формы (табл. 1.1).

В реальных условиях радиолокационного обнаружения объекты простой геометрической формы встречаются довольно редко. Как правило, они имеют сложную конфигурацию и состоят из большого числа различных элементарных отражателей. Примерами одиночных целей сложной конфигурации могут служить корабли, самолеты, ракеты, различные наземные сооружения и т. д. Несколько одиночных объектов, расположенных в пределах отражающего объема (рис. 1.2) на относительно больших расстояниях по сравнению с длиной волны радиолокатора, образуют групповую цель.

	Плоский диск $\sigma_ц = \pi k^2 a^4 \sin^2\theta \left[\frac{J_1(2ka\cos\theta)}{ka\cos\theta}\right]^2,$ где J_1 — функция Бесселя 1-го порядка. При нормальном падении к плоскости диска: $\sigma_ц = \frac{4\pi^3 a^4}{\lambda^2}$
	Двугранный уголковый отражатель $\sigma_ц = \frac{8\pi (aH)^2}{\lambda^2}$ в максимуме диаграммы рассеяния
	Трехгранный уголковый отражатель $\sigma_ц = \frac{12\pi a^4}{\lambda^2}$ в максимуме диаграммы рассеяния

уравнений позволяют определить расчетным путем ЭПР только для тел простой геометрической формы (табл. 1.1).

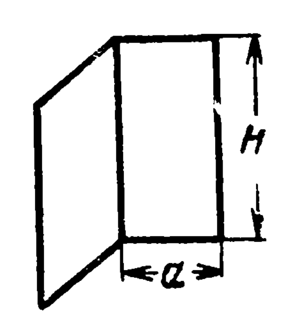
В реальных условиях радиолокационного обнаружения объекты простой геометрической формы встречаются довольно редко. Как правило, они имеют сложную конфигурацию и состоят из большого числа различных элементарных отражателей. Примерами одиночных целей сложной конфигурации могут служить корабли, самолеты, ракеты, различные наземные сооружения и т. д. Несколько одиночных объектов, расположенных в пределах отражающего объема (рис. 1.2) на относительно больших расстояниях по сравнению с длиной волны радиолокатора, образуют групповую цель.

<table>
<tr>
<td>
</td>
<td>Плоский диск

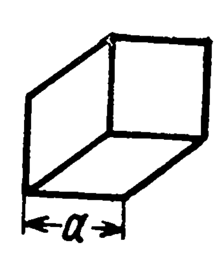
$$\sigma_ц = \pi k^2 a^4 \sin^2\theta \left[\frac{J_1(2ka\cos\theta)}{ka\cos\theta}\right]^2,$$

где J_1 — функция Бесселя 1-го порядка.

При нормальном падении к плоскости диска:

$$\sigma_ц = \frac{4\pi^3 a^4}{\lambda^2}$$</td>
</tr>
<tr>
<td>
</td>
<td>Двугранный уголковый отражатель

$$\sigma_ц = \frac{8\pi (aH)^2}{\lambda^2}$$

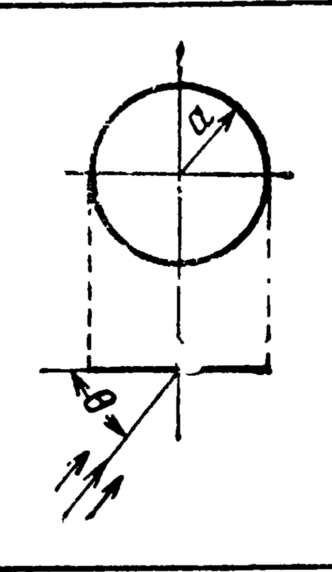
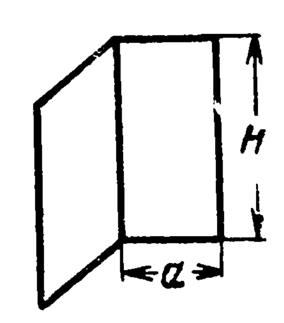
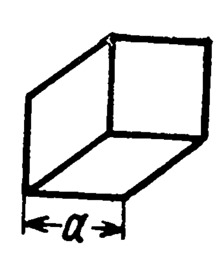
в максимуме диаграммы рассеяния</td>
</tr>
<tr>
<td>
</td>
<td>Трехгранный уголковый отражатель

$$\sigma_ц = \frac{12\pi a^4}{\lambda^2}$$

в максимуме диаграммы рассеяния</td>
</tr>
</table>

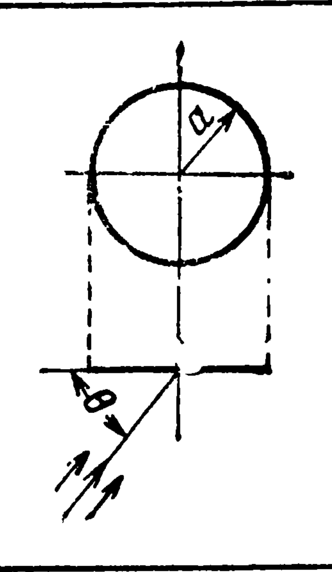
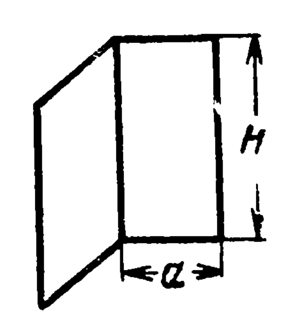
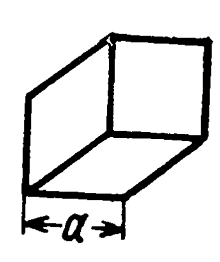
уравнений позволяют определить расчетным путем ЭПР только для тел простой геометрической формы (табл. 1.1).

В реальных условиях радиолокационного обнаружения объекты простой геометрической формы встречаются довольно редко. Как правило, они имеют сложную конфигурацию и состоят из большого числа различных элементарных отражателей. Примерами одиночных целей сложной конфигурации могут служить корабли, самолеты, ракеты, различные наземные сооружения и т. д. Несколько одиночных объектов, расположенных в пределах отражающего объема (рис. 1.2) на относительно больших расстояниях по сравнению с длиной волны радиолокатора, образуют групповую цель.

	Плоский диск $\sigma_ц = \pi k^2 a^4 \sin^2\theta \left[\frac{J_1(2ka\cos\theta)}{ka\cos\theta}\right]^2,$ где J_1 — функция Бесселя 1-го порядка. При нормальном падении к плоскости диска: $\sigma_ц = \frac{4\pi^3 a^4}{\lambda^2}$
	Двугранный уголковый отражатель $\sigma_ц = \frac{8\pi(aH)^2}{\lambda^2}$ в максимуме диаграммы рассеяния
	Трехгранный уголковый отражатель $\sigma_ц = \frac{12\pi a^4}{\lambda^2}$ в максимуме диаграммы рассеяния

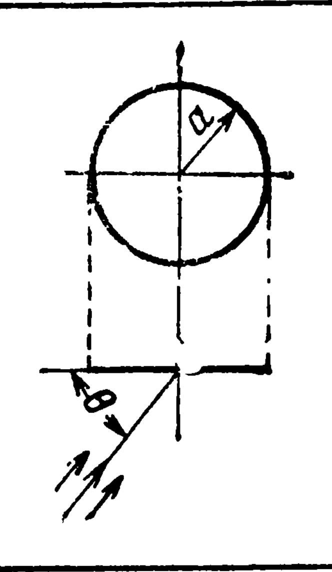
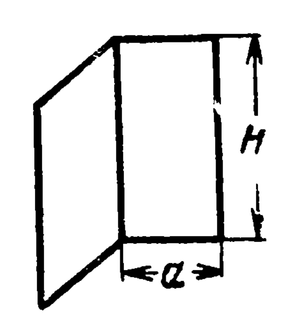
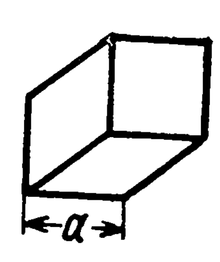
уравнений позволяют определить расчетным путем ЭПР только для тел простой геометрической формы (табл. 1.1).

В реальных условиях радиолокационного обнаружения объекты простой геометрической формы встречаются довольно редко. Как правило, они имеют сложную конфигурацию и состоят из большого числа различных элементарных отражателей. Примерами одиночных целей сложной конфигурации могут служить корабли, самолеты, ракеты, различные наземные сооружения и т. д. Несколько одиночных объектов, расположенных в пределах отражающего объема (рис. 1.2) на относительно больших расстояниях по сравнению с длиной волны радиолокатора, образуют групповую цель.

	Плоский диск $$\sigma_ц = \pi k^2 a^4 \sin^2\theta \left[\frac{J_1(2ka\cos\theta)}{ka\cos\theta}\right]^2,$$ где J_1 — функция Бесселя 1-го порядка. При нормальном падении к плоскости диска: $$\sigma_ц = \frac{4\pi^3 a^4}{\lambda^2}$$
	Двугранный уголковый отражатель $$\sigma_ц = \frac{8\pi (aH)^2}{\lambda^2}$$ в максимуме диаграммы рассеяния
	Трехгранный уголковый отражатель $$\sigma_ц = \frac{12\pi a^4}{\lambda^2}$$ в максимуме диаграммы рассеяния

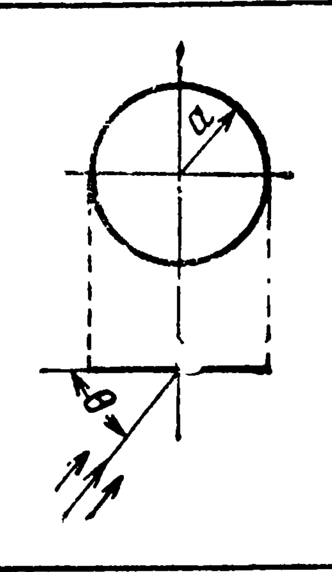
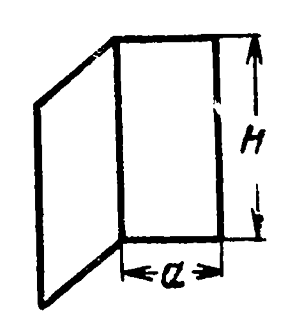
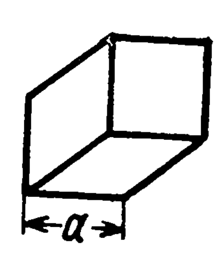
уравнений позволяют определить расчетным путем ЭПР только для тел простой геометрической формы (табл. 1.1).

В реальных условиях радиолокационного обнаружения объекты простой геометрической формы встречаются довольно редко. Как правило, они имеют сложную конфигурацию и состоят из большого числа различных элементарных отражателей. Примерами одиночных целей сложной конфигурации могут служить корабли, самолеты, ракеты, различные наземные сооружения и т. д. Несколько одиночных объектов, расположенных в пределах отражающего объема (рис. 1.2) на относительно больших расстояниях по сравнению с длиной волны радиолокатора, образуют групповую цель.

	Плоский диск $\sigma_ц = \pi k^2 a^4 \sin^2\theta \left[\frac{J_1(2ka\cos\theta)}{ka\cos\theta}\right]^2,$ где J_1 — функция Бесселя 1-го порядка. При нормальном падении к плоскости диска: $\sigma_ц = \frac{4\pi^3 a^4}{\lambda^2}$
	Двугранный уголковый отражатель $\sigma_ц = \frac{8\pi (aH)^2}{\lambda^2}$ в максимуме диаграммы рассеяния
	Трехгранный уголковый отражатель $\sigma_ц = \frac{12\pi a^4}{\lambda^2}$ в максимуме диаграммы рассеяния

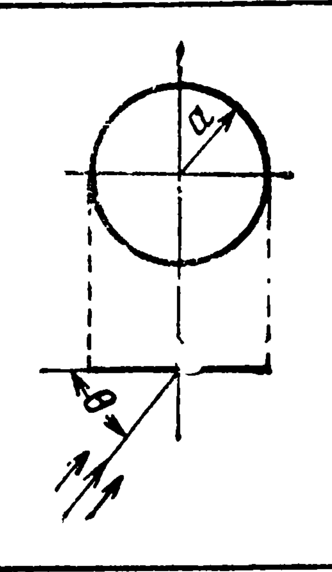
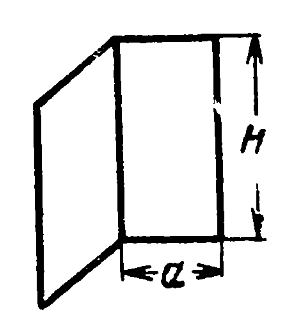
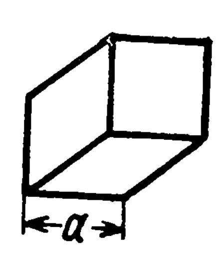
уравнений позволяют определить расчетным путем ЭПР только для тел простой геометрической формы (табл. 1.1).

В реальных условиях радиолокационного обнаружения объекты простой геометрической формы встречаются довольно редко. Как правило, они имеют сложную конфигурацию и состоят из большого числа различных элементарных отражателей. Примерами одиночных целей сложной конфигурации могут служить корабли, самолеты, ракеты, различные наземные сооружения и т. д. Несколько одиночных объектов, расположенных в пределах отражающего объема (рис. 1.2) на относительно больших расстояниях по сравнению с длиной волны радиолокатора, образуют групповую цель.

	Плоский диск $$\sigma_ц = \pi k^2 a^4 \sin^2\theta \left[\frac{J_1(2ka\cos\theta)}{ka\cos\theta}\right]^2,$$ где J_1 — функция Бесселя 1-го порядка. При нормальном падении к плоскости диска: $$\sigma_ц = \frac{4\pi^3 a^4}{\lambda^2}$$
	Двугранный уголковый отражатель $$\sigma_ц = \frac{8\pi (aH)^2}{\lambda^2}$$ в максимуме диаграммы рассеяния
	Трехгранный уголковый отражатель $$\sigma_ц = \frac{12\pi a^4}{\lambda^2}$$ в максимуме диаграммы рассеяния

уравнений позволяют определить расчетным путем ЭПР только для тел простой геометрической формы (табл. 1.1).

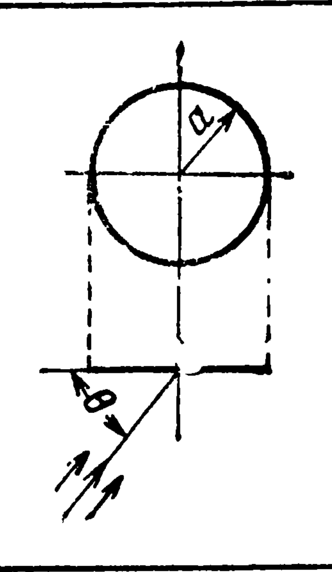
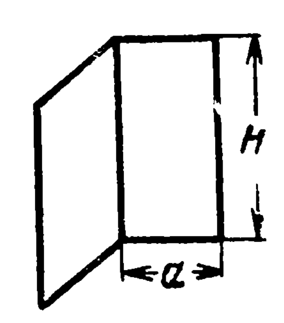
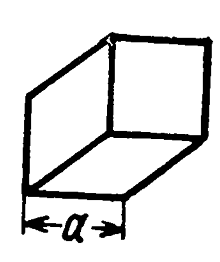
В реальных условиях радиолокационного обнаружения объекты простой геометрической формы встречаются довольно редко. Как правило, они имеют сложную конфигурацию и состоят из большого числа различных элементарных отражателей. Примерами одиночных целей сложной конфигурации могут служить корабли, самолеты, ракеты, различные наземные сооружения и т. д. Несколько одиночных объектов, расположенных в пределах отражающего объема (рис. 1.2) на относительно больших расстояниях по сравнению с длиной волны радиолокатора, образуют групповую цель.

	Плоский диск $\sigma_ц = \pi k^2 a^4 \sin^2\theta \left[\frac{J_1(2ka\cos\theta)}{ka\cos\theta}\right]^2,$ где J_1 — функция Бесселя 1-го порядка. При нормальном падении к плоскости диска: $\sigma_ц = \frac{4\pi^3 a^4}{\lambda^2}$
	Двугранный уголковый отражатель $\sigma_ц = \frac{8\pi (aH)^2}{\lambda^2}$ в максимуме диаграммы рассеяния
	Трехгранный уголковый отражатель $\sigma_ц = \frac{12\pi a^4}{\lambda^2}$ в максимуме диаграммы рассеяния

уравнений позволяют определить расчетным путем ЭПР только для тел простой геометрической формы (табл. 1.1).

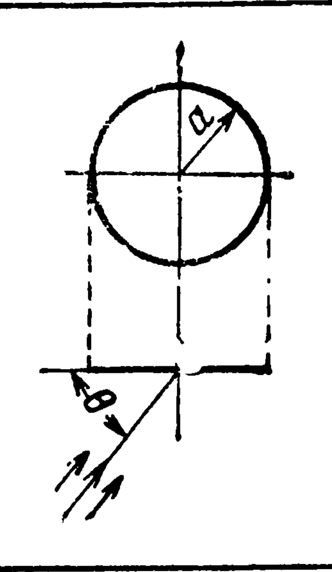
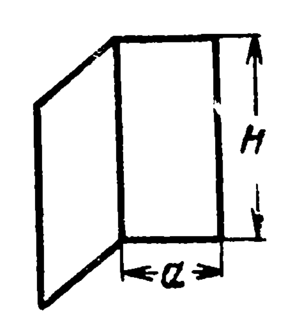
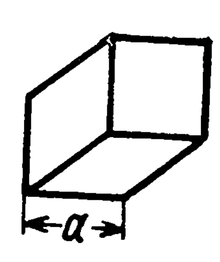
В реальных условиях радиолокационного обнаружения объекты простой геометрической формы встречаются довольно редко. Как правило, они имеют сложную конфигурацию и состоят из большого числа различных элементарных отражателей. Примерами одиночных целей сложной конфигурации могут служить корабли, самолеты, ракеты, различные наземные сооружения и т. д. Несколько одиночных объектов, расположенных в пределах отражающего объема (рис. 1.2) на относительно больших расстояниях по сравнению с длиной волны радиолокатора, образуют групповую цель.

Продолжение табл. 1.1

	Плоский диск $$\sigma_ц = \pi k^2 a^4 \sin^2\theta \left[\frac{J_1(2ka\cos\theta)}{ka\cos\theta}\right]^2,$$ где J_1 — функция Бесселя 1-го порядка. При нормальном падении к плоскости диска: $$\sigma_ц = \frac{4\pi^3 a^4}{\lambda^2}$$
	Двугранный уголковый отражатель $$\sigma_ц = \frac{8\pi(aH)^2}{\lambda^2}$$ в максимуме диаграммы рассеяния
	Трехгранный уголковый отражатель $$\sigma_ц = \frac{12\pi a^4}{\lambda^2}$$ в максимуме диаграммы рассеяния

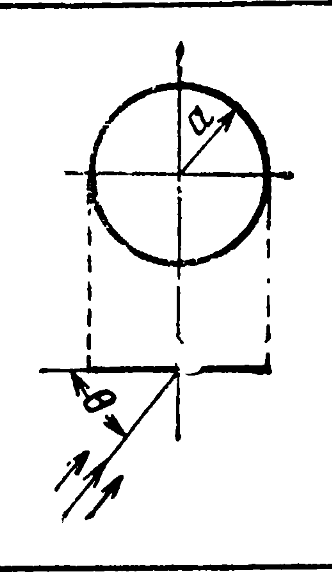
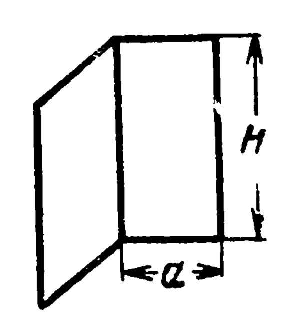
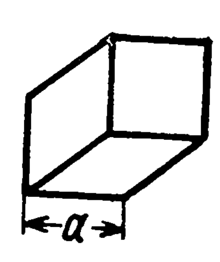
уравнений позволяют определить расчетным путем ЭПР только для тел простой геометрической формы (табл. 1.1).

В реальных условиях радиолокационного обнаружения объекты простой геометрической формы встречаются довольно редко. Как правило, они имеют сложную конфигурацию и состоят из большого числа различных элементарных отражателей. Примерами одиночных целей сложной конфигурации могут служить корабли, самолеты, ракеты, различные наземные сооружения и т. д. Несколько одиночных объектов, расположенных в пределах отражающего объема (рис. 1.2) на относительно больших расстояниях по сравнению с длиной волны радиолокатора, образуют групповую цель.

	Плоский диск $\sigma_ц = \pi k^2 a^4 \sin^2 \theta \left[\frac{J_1 (2ka \cos \theta)}{ka \cos \theta} \right]^2,$ где J_1 — функция Бесселя 1-го порядка. При нормальном падении к плоскости диска: $\sigma_ц = \frac{4\pi^3 a^4}{\lambda^2}$
	Двугранный уголковый отражатель $\sigma_ц = \frac{8\pi (aH)^2}{\lambda^2}$ в максимуме диаграммы рассеяния
	Трехгранный уголковый отражатель $\sigma_ц = \frac{12\pi a^4}{\lambda^2}$ в максимуме диаграммы рассеяния

уравнений позволяют определить расчетным путем ЭПР только для тел простой геометрической формы (табл. 1.1).

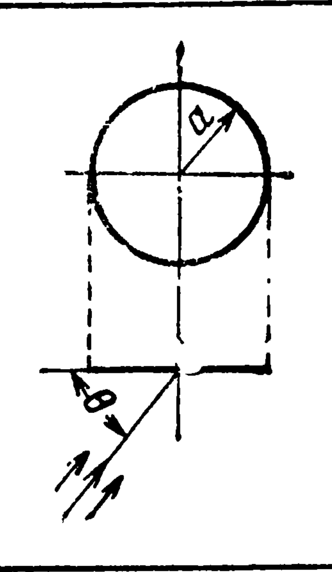
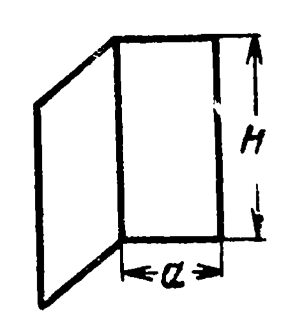
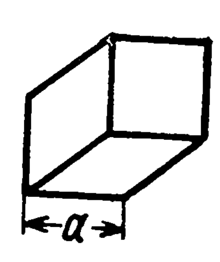
В реальных условиях радиолокационного обнаружения объекты простой геометрической формы встречаются довольно редко. Как правило, они имеют сложную конфигурацию и состоят из большого числа различных элементарных отражателей. Примерами одиночных целей сложной конфигурации могут служить корабли, самолеты, ракеты, различные наземные сооружения и т. д. Несколько одиночных объектов, расположенных в пределах отражающего объема (рис. 1.2) на относительно больших расстояниях по сравнению с длиной волны радиолокатора, образуют групповую цель.

	Плоский диск $$\sigma_{ц} = \pi k^2 a^4 \sin^2\theta \left[\frac{J_1(2ka\cos\theta)}{ka\cos\theta}\right]^2,$$ где J_1 — функция Бесселя 1-го порядка. При нормальном падении к плоскости диска: $$\sigma_{ц} = \frac{4\pi^3 a^4}{\lambda^2}$$
	Двугранный уголковый отражатель $$\sigma_{ц} = \frac{8\pi (aH)^2}{\lambda^2}$$ в максимуме диаграммы рассеяния
	Трехгранный уголковый отражатель $$\sigma_{ц} = \frac{12\pi a^4}{\lambda^2}$$ в максимуме диаграммы рассеяния

уравнений позволяют определить расчетным путем ЭПР только для тел простой геометрической формы (табл. 1.1).

В реальных условиях радиолокационного обнаружения объекты простой геометрической формы встречаются довольно редко. Как правило, они имеют сложную конфигурацию и состоят из большого числа различных элементарных отражателей. Примерами одиночных целей сложной конфигурации могут служить корабли, самолеты, ракеты, различные наземные сооружения и т. д. Несколько одиночных объектов, расположенных в пределах отражающего объема (рис. 1.2) на относительно больших расстояниях по сравнению с длиной волны радиолокатора, образуют групповую цель.

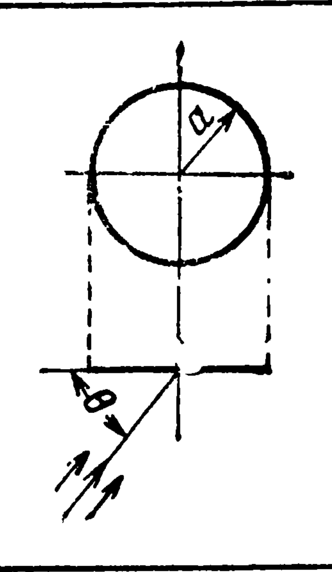
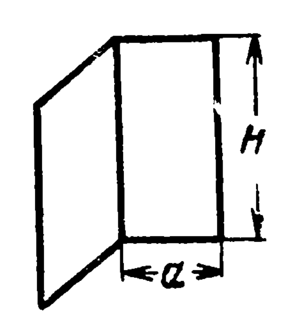
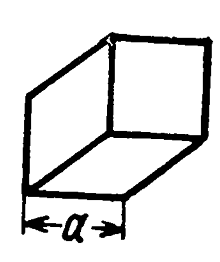
Продолжение табл. 1.1

	Плоский диск $\sigma_ц = \pi k^2 a^4 \sin^2\theta \left[\frac{J_1(2ka\cos\theta)}{ka\cos\theta}\right]^2,$ где J_1 — функция Бесселя 1-го порядка. При нормальном падении к плоскости диска: $\sigma_ц = \frac{4\pi^3 a^4}{\lambda^2}$
	Двугранный уголковый отражатель $\sigma_ц = \frac{8\pi (aH)^2}{\lambda^2}$ в максимуме диаграммы рассеяния
	Трехгранный уголковый отражатель $\sigma_ц = \frac{12\pi a^4}{\lambda^2}$ в максимуме диаграммы рассеяния

уравнений позволяют определить расчетным путем ЭПР только для тел простой геометрической формы (табл. 1.1).

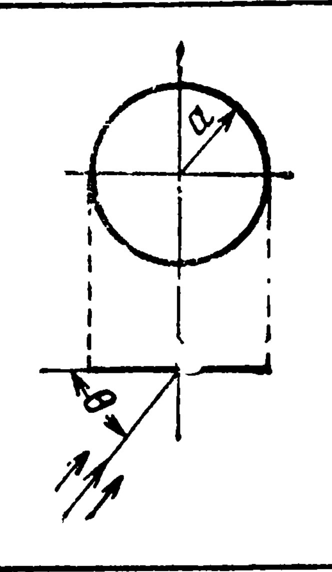
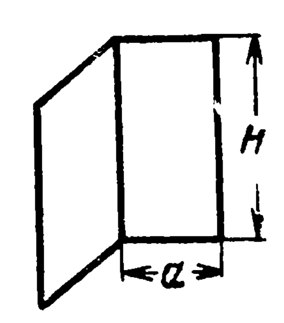
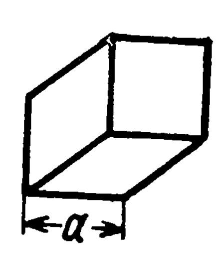
В реальных условиях радиолокационного обнаружения объекты простой геометрической формы встречаются довольно редко. Как правило, они имеют сложную конфигурацию и состоят из большого числа различных элементарных отражателей. Примерами одиночных целей сложной конфигурации могут служить корабли, самолеты, ракеты, различные наземные сооружения и т. д. Несколько одиночных объектов, расположенных в пределах отражающего объема (рис. 1.2) на относительно больших расстояниях по сравнению с длиной волны радиолокатора, образуют групповую цель.

Продолжение табл. 1.1

	Плоский диск $\sigma_ц = \pi k^2 a^4 \sin^2\theta \left[\frac{J_1(2ka\cos\theta)}{ka\cos\theta}\right]^2,$ где J_1 — функция Бесселя 1-го порядка. При нормальном падении к плоскости диска: $\sigma_ц = \frac{4\pi^3 a^4}{\lambda^2}$
	Двугранный уголковый отражатель $\sigma_ц = \frac{8\pi(aH)^2}{\lambda^2}$ в максимуме диаграммы рассеяния
	Трехгранный уголковый отражатель $\sigma_ц = \frac{12\pi a^4}{\lambda^2}$ в максимуме диаграммы рассеяния

уравнений позволяют определить расчетным путем ЭПР только для тел простой геометрической формы (табл. 1.1).

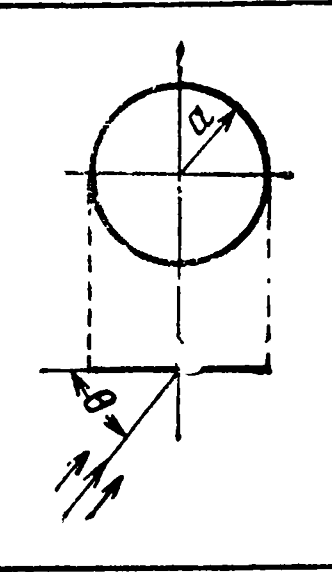
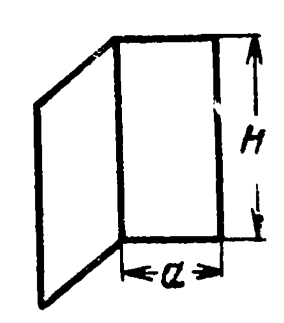
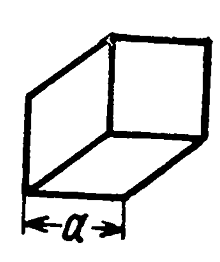
В реальных условиях радиолокационного обнаружения объекты простой геометрической формы встречаются довольно редко. Как правило, они имеют сложную конфигурацию и состоят из большого числа различных элементарных отражателей. Примерами одиночных целей сложной конфигурации могут служить корабли, самолеты, ракеты, различные наземные сооружения и т. д. Несколько одиночных объектов, расположенных в пределах отражающего объема (рис. 1.2) на относительно больших расстояниях по сравнению с длиной волны радиолокатора, образуют групповую цель.

	Плоский диск $$\sigma_ц = \pi k^2 a^4 \sin^2\theta \left[\frac{J_1(2ka\cos\theta)}{ka\cos\theta}\right]^2,$$ где J_1 — функция Бесселя 1-го порядка. При нормальном падении к плоскости диска: $$\sigma_ц = \frac{4\pi^3 a^4}{\lambda^2}$$
	Двугранный уголковый отражатель $$\sigma_ц = \frac{8\pi (aH)^2}{\lambda^2}$$ в максимуме диаграммы рассеяния
	Трехгранный уголковый отражатель $$\sigma_ц = \frac{12\pi a^4}{\lambda^2}$$ в максимуме диаграммы рассеяния

уравнений позволяют определить расчетным путем ЭПР только для тел простой геометрической формы (табл. 1.1).

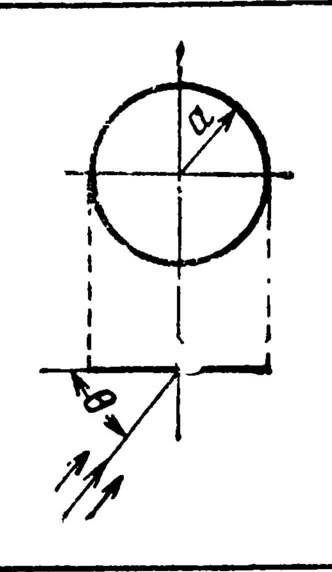
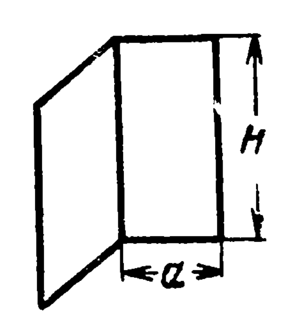
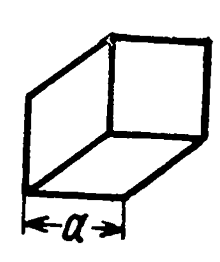
В реальных условиях радиолокационного обнаружения объекты простой геометрической формы встречаются довольно редко. Как правило, они имеют сложную конфигурацию и состоят из большого числа различных элементарных отражателей. Примерами одиночных целей сложной конфигурации могут служить корабли, самолеты, ракеты, различные наземные сооружения и т. д. Несколько одиночных объектов, расположенных в пределах отражающего объема (рис. 1.2) на относительно больших расстояниях по сравнению с длиной волны радиолокатора, образуют групповую цель.

Продолжение табл. 1.1

	Плоский диск $$\sigma_ц = \pi k^2 a^4 \sin^2\theta \left[\frac{J_1(2ka\cos\theta)}{ka\cos\theta}\right]^2,$$ где J_1 — функция Бесселя 1-го порядка. При нормальном падении к плоскости диска: $$\sigma_ц = \frac{4\pi^3 a^4}{\lambda^2}$$
	Двугранный уголковый отражатель $$\sigma_ц = \frac{8\pi (aH)^2}{\lambda^2}$$ в максимуме диаграммы рассеяния
	Трехгранный уголковый отражатель $$\sigma_ц = \frac{12\pi a^4}{\lambda^2}$$ в максимуме диаграммы рассеяния

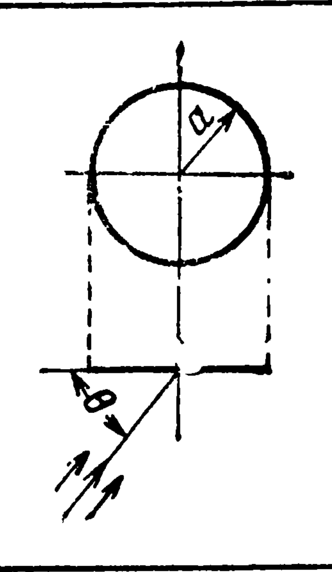
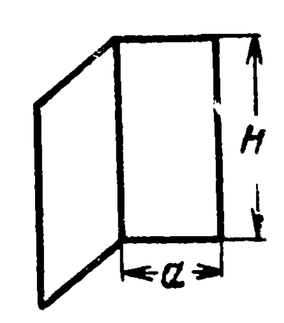
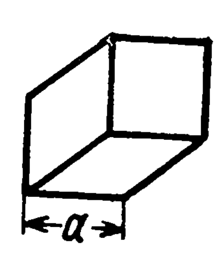
уравнений позволяют определить расчетным путем ЭПР только для тел простой геометрической формы (табл. 1.1).

В реальных условиях радиолокационного обнаружения объекты простой геометрической формы встречаются довольно редко. Как правило, они имеют сложную конфигурацию и состоят из большого числа различных элементарных отражателей. Примерами одиночных целей сложной конфигурации могут служить корабли, самолеты, ракеты, различные наземные сооружения и т. д. Несколько одиночных объектов, расположенных в пределах отражающего объема (рис. 1.2) на относительно больших расстояниях по сравнению с длиной волны радиолокатора, образуют групповую цель.

	Плоский диск $$\sigma_{ц} = \pi k^2 a^4 \sin^2\theta \left[\frac{J_1(2ka\cos\theta)}{ka\cos\theta}\right]^2,$$ где J_1 — функция Бесселя 1-го порядка. При нормальном падении к плоскости диска: $$\sigma_{ц} = \frac{4\pi^3 a^4}{\lambda^2}$$
	Двугранный уголковый отражатель $$\sigma_{ц} = \frac{8\pi (aH)^2}{\lambda^2}$$ в максимуме диаграммы рассеяния
	Трехгранный уголковый отражатель $$\sigma_{ц} = \frac{12\pi a^4}{\lambda^2}$$ в максимуме диаграммы рассеяния

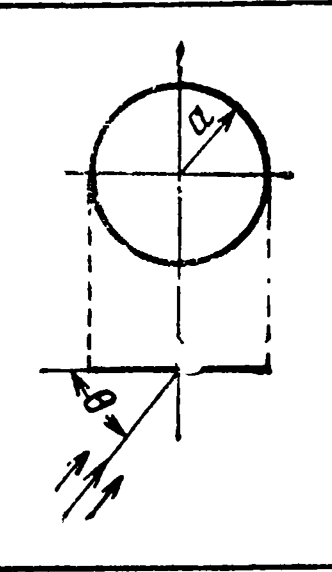
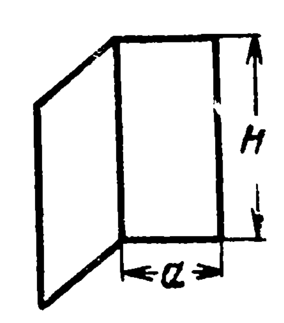
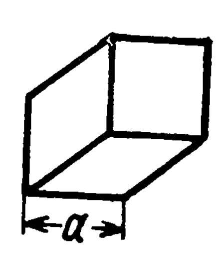
уравнений позволяют определить расчетным путем ЭПР только для тел простой геометрической формы (табл. 1.1).

В реальных условиях радиолокационного обнаружения объекты простой геометрической формы встречаются довольно редко. Как правило, они имеют сложную конфигурацию и состоят из большого числа различных элементарных отражателей. Примерами одиночных целей сложной конфигурации могут служить корабли, самолеты, ракеты, различные наземные сооружения и т. д. Несколько одиночных объектов, расположенных в пределах отражающего объема (рис. 1.2) на относительно больших расстояниях по сравнению с длиной волны радиолокатора, образуют групповую цель.

	Плоский диск $$\sigma_ц = \pi k^2 a^4 \sin^2\theta\left[\frac{J_1(2ka\cos\theta)}{ka\cos\theta}\right]^2,$$ где J_1 — функция Бесселя 1-го порядка. При нормальном падении к плоскости диска: $$\sigma_ц = \frac{4\pi^3 a^4}{\lambda^2}$$
	Двугранный уголковый отражатель $$\sigma_ц = \frac{8\pi (aH)^2}{\lambda^2}$$ в максимуме диаграммы рассеяния
	Трехгранный уголковый отражатель $$\sigma_ц = \frac{12\pi a^4}{\lambda^2}$$ в максимуме диаграммы рассеяния

уравнений позволяют определить расчетным путем ЭПР только для тел простой геометрической формы (табл. 1.1).

В реальных условиях радиолокационного обнаружения объекты простой геометрической формы встречаются довольно редко. Как правило, они имеют сложную конфигурацию и состоят из большого числа различных элементарных отражателей. Примерами одиночных целей сложной конфигурации могут служить корабли, самолеты, ракеты, различные наземные сооружения и т. д. Несколько одиночных объектов, расположенных в пределах отражающего объема (рис. 1.2) на относительно больших расстояниях по сравнению с длиной волны радиолокатора, образуют групповую цель.

	Плоский диск $\sigma_ц = \pi k^2 a^4 \sin^2\theta \left[\frac{J_1(2ka\cos\theta)}{ka\cos\theta}\right]^2,$ где J_1 — функция Бесселя 1-го порядка. При нормальном падении к плоскости диска: $\sigma_ц = \frac{4\pi^3 a^4}{\lambda^2}$
	Двугранный уголковый отражатель $\sigma_ц = \frac{8\pi (aH)^2}{\lambda^2}$ в максимуме диаграммы рассеяния
	Трехгранный уголковый отражатель $\sigma_ц = \frac{12\pi a^4}{\lambda^2}$ в максимуме диаграммы рассеяния

уравнений позволяют определить расчетным путем ЭПР только для тел простой геометрической формы (табл. 1.1).

В реальных условиях радиолокационного обнаружения объекты простой геометрической формы встречаются довольно редко. Как правило, они имеют сложную конфигурацию и состоят из большого числа различных элементарных отражателей. Примерами одиночных целей сложной конфигурации могут служить корабли, самолеты, ракеты, различные наземные сооружения и т. д. Несколько одиночных объектов, расположенных в пределах отражающего объема (рис. 1.2) на относительно больших расстояниях по сравнению с длиной волны радиолокатора, образуют групповую цель.

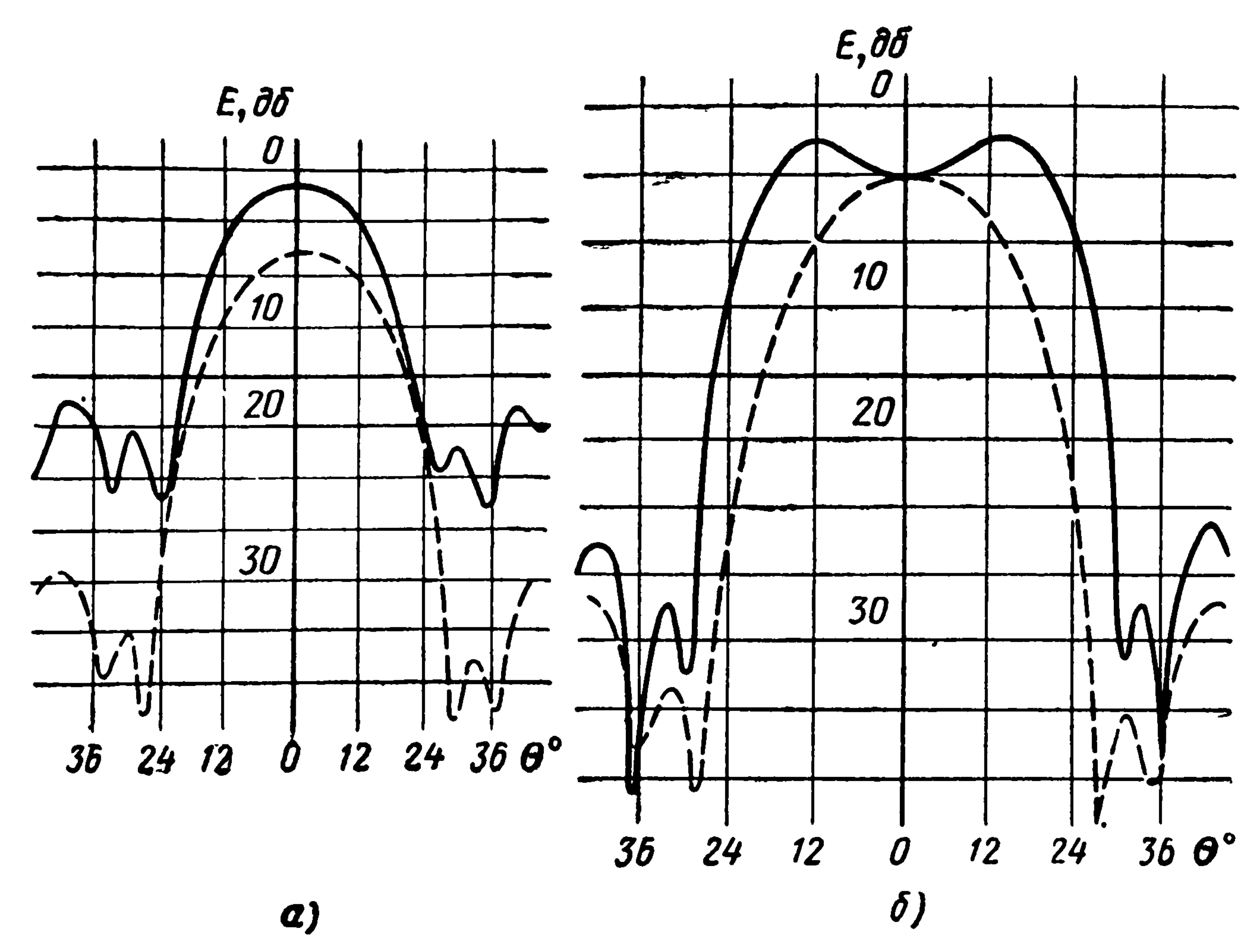


Рис. 5.31. Диаграммы вторичного излучения U-образного отражателя с расстоянием между осями стержней, равным 2,5λ (*а*) и λ (*б*); (пунктирными линиями показаны диаграммы направленности одиночного стержня).

нее интенсивность обратного излучения возрастает на 12 *дб* по сравнению с двухэлементной. Возможны, конечно, и другие комбинации U-образных отражателей, позволяющие получить еще большую интенсивность отраженного сигнала.

Как показали исследования, отражающие свойства одиночного диэлектрического стержня не зависят от вида поляризации падающей волны. Однако отражатели U-образной формы обеспечивают максимальный отраженный сигнал только в том случае, если плоскость поляризации падающей волны нормальна к плоскости изгиба отражателя. Если плоскость поляризации падающей волны параллельна плоскости изгиба, то ЭПР не-

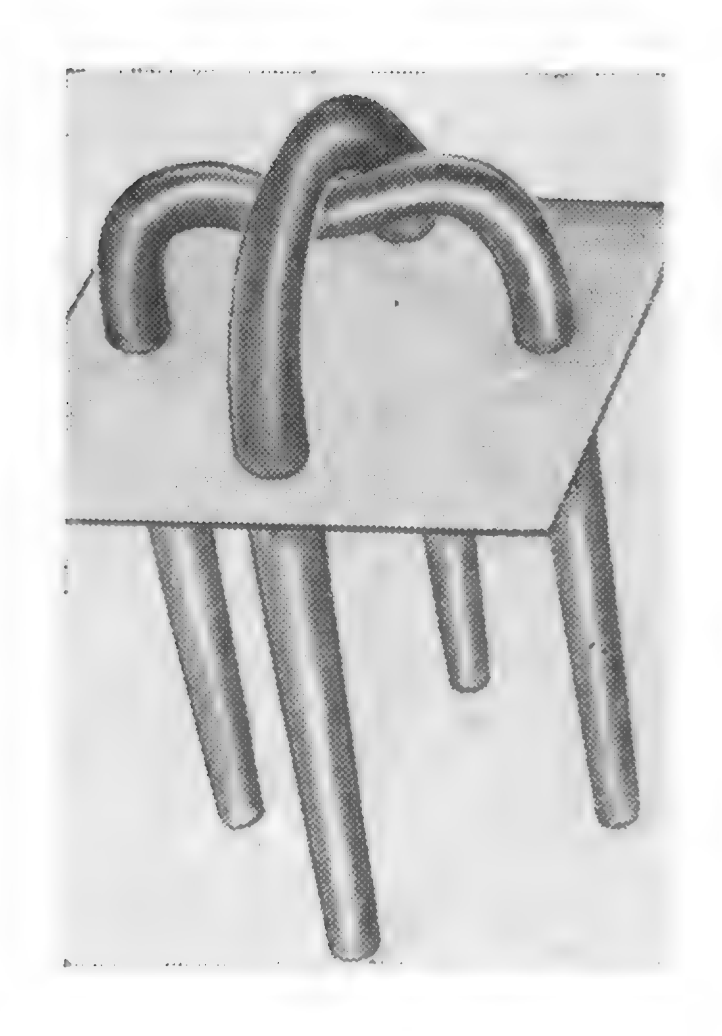
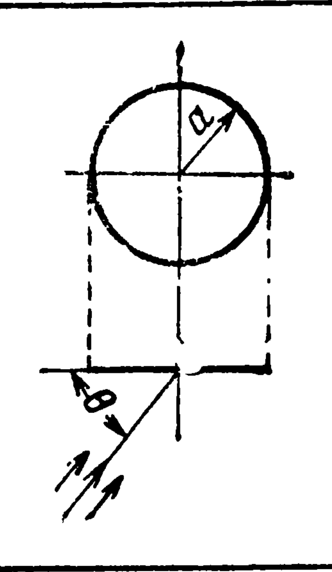
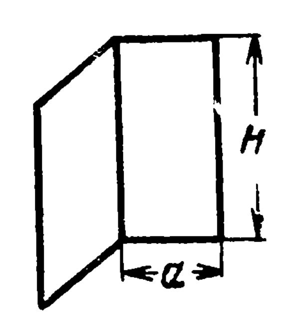
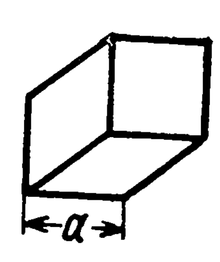
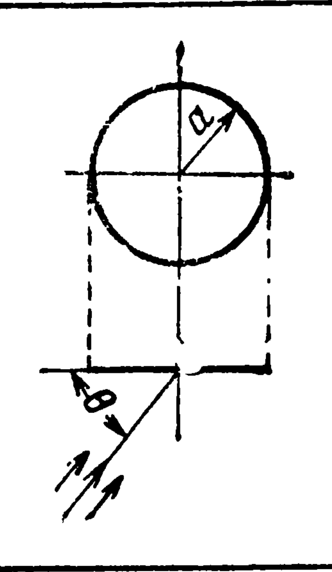
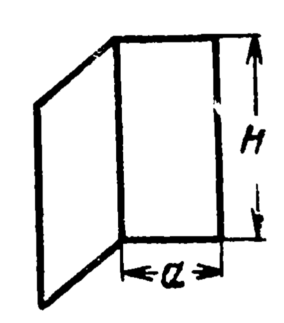
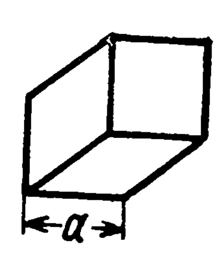


Рис. 5.32. Четырехэлементная антенная решетка.

	Плоский диск $\sigma_ц = \pi k^2 a^4 \sin^2\theta \left[\frac{J_1(2ka\cos\theta)}{ka\cos\theta}\right]^2,$ где J_1 — функция Бесселя 1-го порядка. При нормальном падении к плоскости диска: $\sigma_ц = \frac{4\pi^3 a^4}{\lambda^2}$
	Двугранный уголковый отражатель $\sigma_ц = \frac{8\pi (aH)^2}{\lambda^2}$ в максимуме диаграммы рассеяния
	Трехгранный уголковый отражатель $\sigma_ц = \frac{12\pi a^4}{\lambda^2}$ в максимуме диаграммы рассеяния

уравнений позволяют определить расчетным путем ЭПР только для тел простой геометрической формы (табл. 1.1).

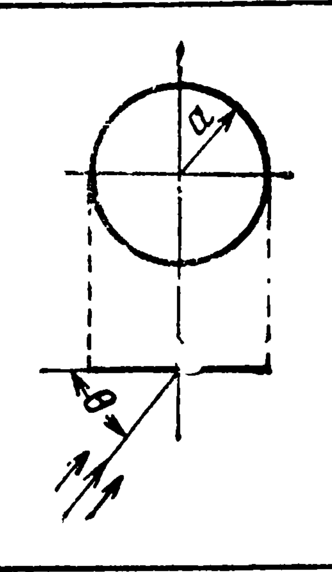
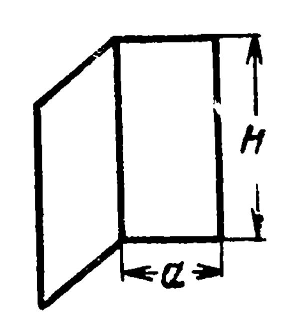
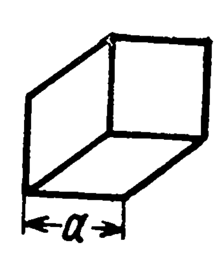
В реальных условиях радиолокационного обнаружения объекты простой геометрической формы встречаются довольно редко. Как правило, они имеют сложную конфигурацию и состоят из большого числа различных элементарных отражателей. Примерами одиночных целей сложной конфигурации могут служить корабли, самолеты, ракеты, различные наземные сооружения и т. д. Несколько одиночных объектов, расположенных в пределах отражающего объема (рис. 1.2) на относительно больших расстояниях по сравнению с длиной волны радиолокатора, образуют групповую цель.

	Плоский диск $$\sigma_ц = \pi k^2 a^4 \sin^2\theta \left[\frac{J_1(2ka\cos\theta)}{ka\cos\theta}\right]^2,$$ где J_1 — функция Бесселя 1-го порядка. При нормальном падении к плоскости диска: $$\sigma_ц = \frac{4\pi^3 a^4}{\lambda^2}$$
	Двугранный уголковый отражатель $$\sigma_ц = \frac{8\pi (aH)^2}{\lambda^2}$$ в максимуме диаграммы рассеяния
	Трехгранный уголковый отражатель $$\sigma_ц = \frac{12\pi a^4}{\lambda^2}$$ в максимуме диаграммы рассеяния

уравнений позволяют определить расчетным путем ЭПР только для тел простой геометрической формы (табл. 1.1).

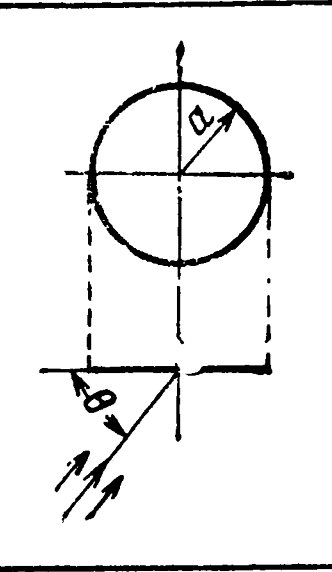
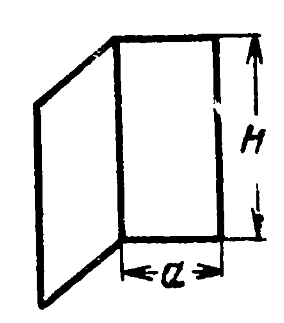
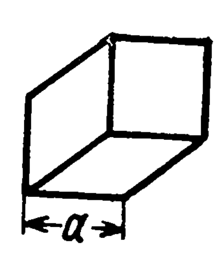
В реальных условиях радиолокационного обнаружения объекты простой геометрической формы встречаются довольно редко. Как правило, они имеют сложную конфигурацию и состоят из большого числа различных элементарных отражателей. Примерами одиночных целей сложной конфигурации могут служить корабли, самолеты, ракеты, различные наземные сооружения и т. д. Несколько одиночных объектов, расположенных в пределах отражающего объема (рис. 1.2) на относительно больших расстояниях по сравнению с длиной волны радиолокатора, образуют групповую цель.

Продолжение табл. 1.1

	Плоский диск $$\sigma_ц = \pi k^2 a^4 \sin^2\theta \left[\frac{J_1(2ka\cos\theta)}{ka\cos\theta}\right]^2,$$ где J_1 — функция Бесселя 1-го порядка. При нормальном падении к плоскости диска: $$\sigma_ц = \frac{4\pi^3 a^4}{\lambda^2}$$
	Двугранный уголковый отражатель $$\sigma_ц = \frac{8\pi (aH)^2}{\lambda^2}$$ в максимуме диаграммы рассеяния
	Трехгранный уголковый отражатель $$\sigma_ц = \frac{12\pi a^4}{\lambda^2}$$ в максимуме диаграммы рассеяния

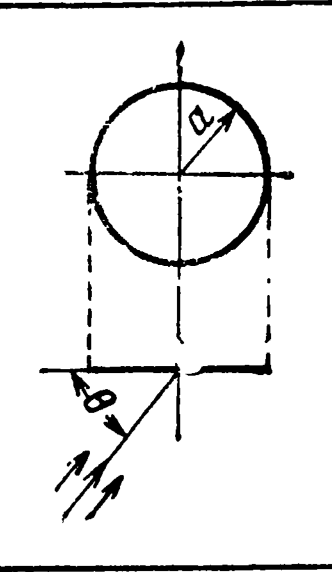
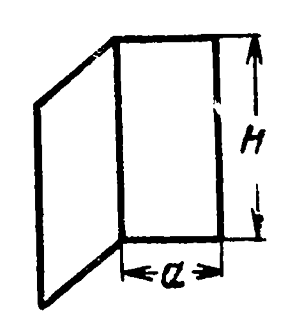
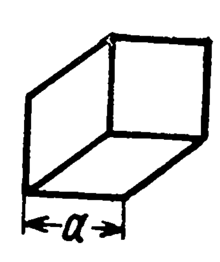
уравнений позволяют определить расчетным путем ЭПР только для тел простой геометрической формы (табл. 1.1).

В реальных условиях радиолокационного обнаружения объекты простой геометрической формы встречаются довольно редко. Как правило, они имеют сложную конфигурацию и состоят из большого числа различных элементарных отражателей. Примерами одиночных целей сложной конфигурации могут служить корабли, самолеты, ракеты, различные наземные сооружения и т. д. Несколько одиночных объектов, расположенных в пределах отражающего объема (рис. 1.2) на относительно больших расстояниях по сравнению с длиной волны радиолокатора, образуют групповую цель.

	Плоский диск $$\sigma_ц = \pi k^2 a^4 \sin^2\theta \left[\frac{J_1(2ka\cos\theta)}{ka\cos\theta}\right]^2,$$ где J_1 — функция Бесселя 1-го порядка. При нормальном падении к плоскости диска: $$\sigma_ц = \frac{4\pi^3 a^4}{\lambda^2}$$
	Двугранный уголковый отражатель $$\sigma_ц = \frac{8\pi (aH)^2}{\lambda^2}$$ в максимуме диаграммы рассеяния
	Трехгранный уголковый отражатель $$\sigma_ц = \frac{12\pi a^4}{\lambda^2}$$ в максимуме диаграммы рассеяния

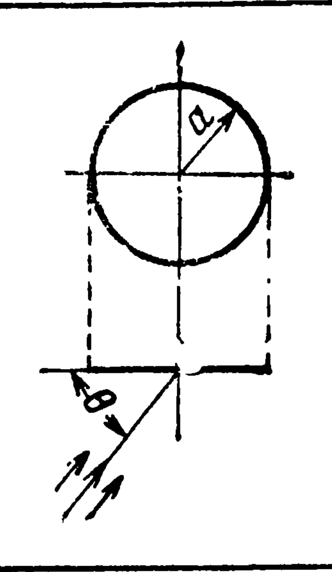
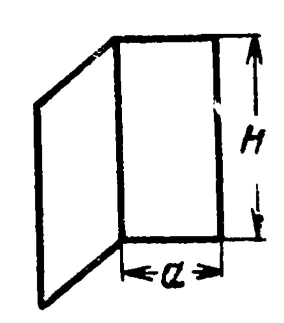
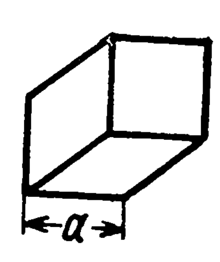
уравнений позволяют определить расчетным путем ЭПР только для тел простой геометрической формы (табл. 1.1).

В реальных условиях радиолокационного обнаружения объекты простой геометрической формы встречаются довольно редко. Как правило, они имеют сложную конфигурацию и состоят из большого числа различных элементарных отражателей. Примерами одиночных целей сложной конфигурации могут служить корабли, самолеты, ракеты, различные наземные сооружения и т. д. Несколько одиночных объектов, расположенных в пределах отражающего объема (рис. 1.2) на относительно больших расстояниях по сравнению с длиной волны радиолокатора, образуют групповую цель.

	Плоский диск $$\sigma_ц = \pi k^2 a^4 \sin^2\theta \left[\frac{J_1(2ka\cos\theta)}{ka\cos\theta}\right]^2,$$ где J_1 — функция Бесселя 1-го порядка. При нормальном падении к плоскости диска: $$\sigma_ц = \frac{4\pi^3 a^4}{\lambda^2}$$
	Двугранный уголковый отражатель $$\sigma_ц = \frac{8\pi (aH)^2}{\lambda^2}$$ в максимуме диаграммы рассеяния
	Трехгранный уголковый отражатель $$\sigma_ц = \frac{12\pi a^4}{\lambda^2}$$ в максимуме диаграммы рассеяния

уравнений позволяют определить расчетным путем ЭПР только для тел простой геометрической формы (табл. 1.1).

В реальных условиях радиолокационного обнаружения объекты простой геометрической формы встречаются довольно редко. Как правило, они имеют сложную конфигурацию и состоят из большого числа различных элементарных отражателей. Примерами одиночных целей сложной конфигурации могут служить корабли, самолеты, ракеты, различные наземные сооружения и т. д. Несколько одиночных объектов, расположенных в пределах отражающего объема (рис. 1.2) на относительно больших расстояниях по сравнению с длиной волны радиолокатора, образуют групповую цель.

	Плоский диск $$\sigma_ц = \pi k^2 a^4 \sin^2\theta \left[\frac{J_1(2ka\cos\theta)}{ka\cos\theta}\right]^2,$$ где J_1 — функция Бесселя 1-го порядка. При нормальном падении к плоскости диска: $$\sigma_ц = \frac{4\pi^3 a^4}{\lambda^2}$$
	Двугранный уголковый отражатель $$\sigma_ц = \frac{8\pi (aH)^2}{\lambda^2}$$ в максимуме диаграммы рассеяния
	Трехгранный уголковый отражатель $$\sigma_ц = \frac{12\pi a^4}{\lambda^2}$$ в максимуме диаграммы рассеяния

уравнений позволяют определить расчетным путем ЭПР только для тел простой геометрической формы (табл. 1.1).

В реальных условиях радиолокационного обнаружения объекты простой геометрической формы встречаются довольно редко. Как правило, они имеют сложную конфигурацию и состоят из большого числа различных элементарных отражателей. Примерами одиночных целей сложной конфигурации могут служить корабли, самолеты, ракеты, различные наземные сооружения и т. д. Несколько одиночных объектов, расположенных в пределах отражающего объема (рис. 1.2) на относительно больших расстояниях по сравнению с длиной волны радиолокатора, образуют групповую цель.

4,5 *кг*. Аппаратура собрана на полупроводниковых приборах и помещена в герметический кожух. Антенны выбираются в соответствии с конструкцией ложной цели или мишени, для которой предназначен прибор. Потребляемая усилителем мощность при напряжении источника постоянного тока 24—29 *в* не превышает 80 *вт*. Срок службы усилителя 400 *час*. При испытании такого усилителя, установленного на легком спортивном самолете, переизлученные им сигналы создавали на экранах индикаторов радиолокационных станций такие же отметки, как и тяжелые четырехмоторные бомбардировщики. Аналогичная аппаратура изготовляется другой американской

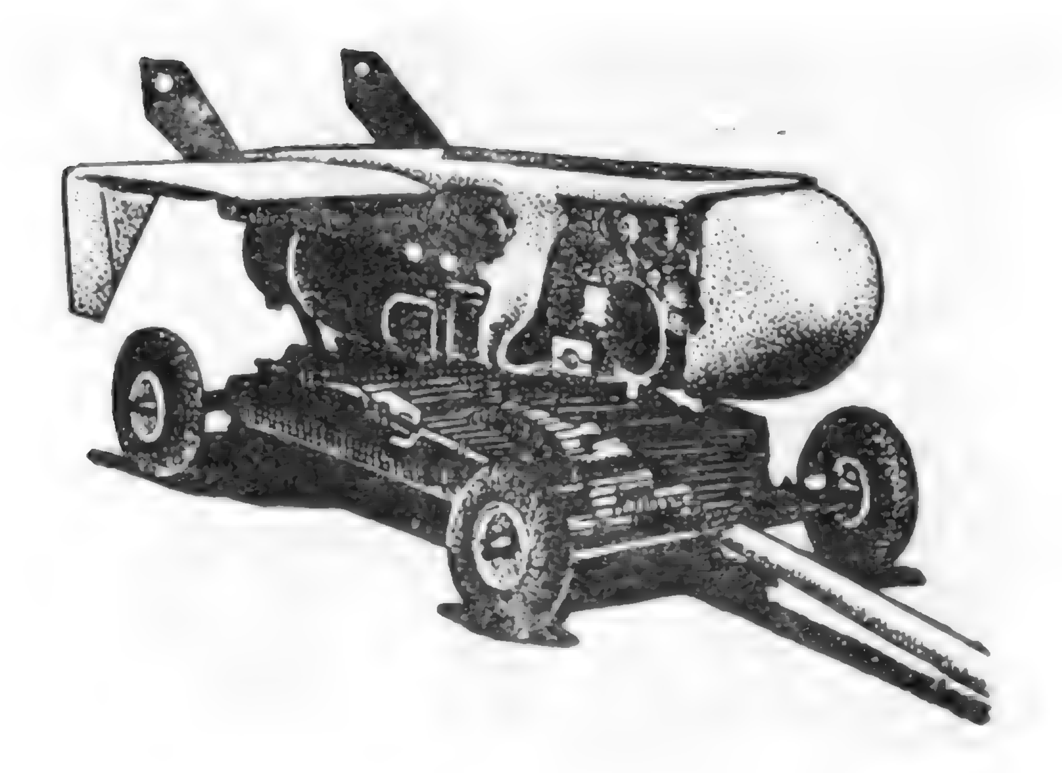
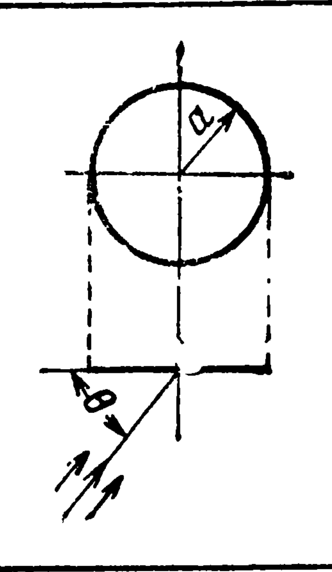
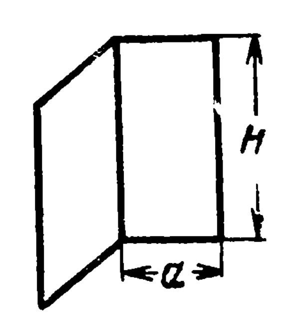
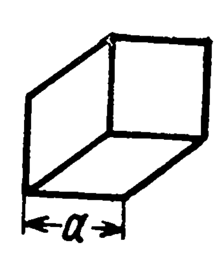


Рис. 5.37. Ложная цель-ловушка «Грин-Квэйл».

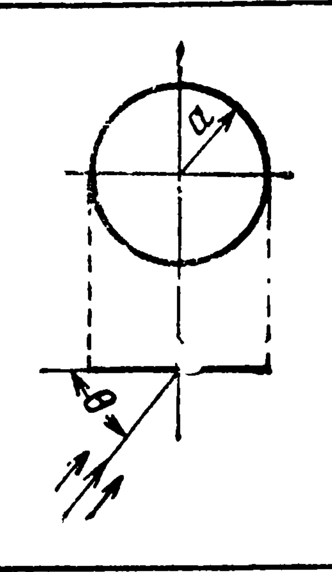
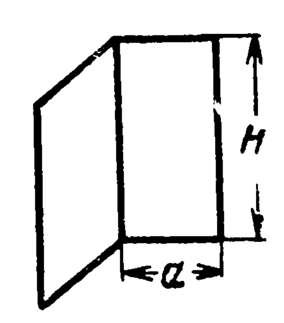
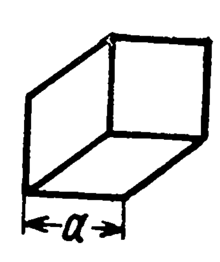
фирмой — «Локхид электроникс». В состав аппаратуры входят усилитель на ЛБВ, источник питания на транзисторах и согласованные приемная и передающая антенны. Диапазон частот 5 000—11 000 *Мгц*. Эффективная поверхность рассеяния имитируемой цели регулируется аттенюатором на выходе антенны и может быть доведена до 850 $м^2$. Минимальная выходная мощность равна 1 *вт*, хотя на большей части диапазона она достигает 3 *вт*. Усиление сигнала колеблется в пределах 65—72 *дб*; потребляемая мощность постоянного тока 100 *вт* при напряжении источника питания 25—29 *в*. Ответчик может быть применен при температуре от —54° до +71° С и на высотах до 21 *км*.

В качестве примера ложных целей, на которые могут устанавливаться такие усилители-ответчики, приведем

	Плоский диск $$\sigma_ц = \pi k^2 a^4 \sin^2\theta \left[\frac{J_1(2ka\cos\theta)}{ka\cos\theta}\right]^2,$$ где J_1 — функция Бесселя 1-го порядка. При нормальном падении к плоскости диска: $$\sigma_ц = \frac{4\pi^3 a^4}{\lambda^2}$$
	Двугранный уголковый отражатель $$\sigma_ц = \frac{8\pi (aH)^2}{\lambda^2}$$ в максимуме диаграммы рассеяния
	Трехгранный уголковый отражатель $$\sigma_ц = \frac{12\pi a^4}{\lambda^2}$$ в максимуме диаграммы рассеяния

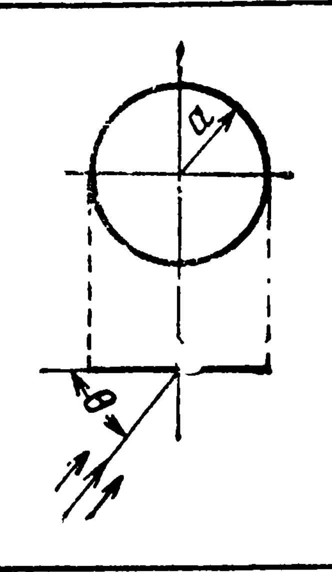
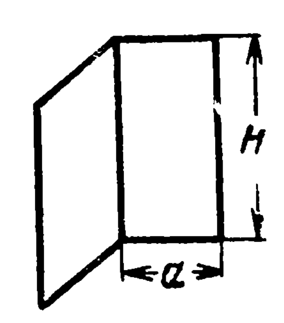
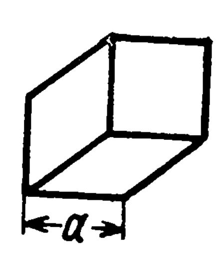
уравнений позволяют определить расчетным путем ЭПР только для тел простой геометрической формы (табл. 1.1).

В реальных условиях радиолокационного обнаружения объекты простой геометрической формы встречаются довольно редко. Как правило, они имеют сложную конфигурацию и состоят из большого числа различных элементарных отражателей. Примерами одиночных целей сложной конфигурации могут служить корабли, самолеты, ракеты, различные наземные сооружения и т. д. Несколько одиночных объектов, расположенных в пределах отражающего объема (рис. 1.2) на относительно больших расстояниях по сравнению с длиной волны радиолокатора, образуют групповую цель.

	Плоский диск $\sigma_ц = \pi k^2 a^4 \sin^2\theta \left[\dfrac{J_1(2ka\cos\theta)}{ka\cos\theta}\right]^2,$ где J_1 — функция Бесселя 1-го порядка. При нормальном падении к плоскости диска: $\sigma_ц = \dfrac{4\pi^3 a^4}{\lambda^2}$
	Двугранный уголковый отражатель $\sigma_ц = \dfrac{8\pi(aH)^2}{\lambda^2}$ в максимуме диаграммы рассеяния
	Трехгранный уголковый отражатель $\sigma_ц = \dfrac{12\pi a^4}{\lambda^2}$ в максимуме диаграммы рассеяния

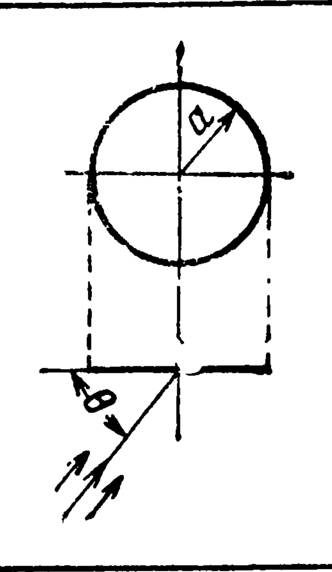
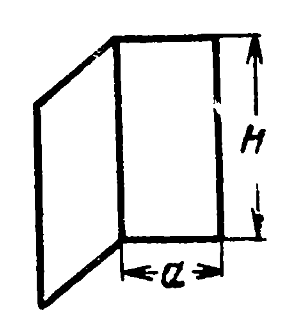
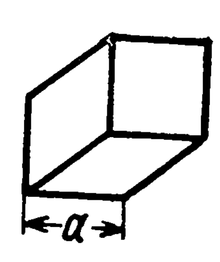
уравнений позволяют определить расчетным путем ЭПР только для тел простой геометрической формы (табл. 1.1).

В реальных условиях радиолокационного обнаружения объекты простой геометрической формы встречаются довольно редко. Как правило, они имеют сложную конфигурацию и состоят из большого числа различных элементарных отражателей. Примерами одиночных целей сложной конфигурации могут служить корабли, самолеты, ракеты, различные наземные сооружения и т. д. Несколько одиночных объектов, расположенных в пределах отражающего объема (рис. 1.2) на относительно больших расстояниях по сравнению с длиной волны радиолокатора, образуют групповую цель.

	Плоский диск $$\sigma_{ц} = \pi k^2 a^4 \sin^2\theta \left[\frac{J_1(2ka\cos\theta)}{ka\cos\theta}\right]^2,$$ где J_1 — функция Бесселя 1-го порядка. При нормальном падении к плоскости диска: $$\sigma_{ц} = \frac{4\pi^3 a^4}{\lambda^2}$$
	Двугранный уголковый отражатель $$\sigma_{ц} = \frac{8\pi (aH)^2}{\lambda^2}$$ в максимуме диаграммы рассеяния
	Трехгранный уголковый отражатель $$\sigma_{ц} = \frac{12\pi a^4}{\lambda^2}$$ в максимуме диаграммы рассеяния

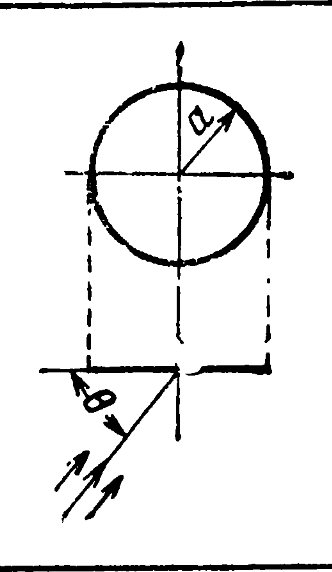
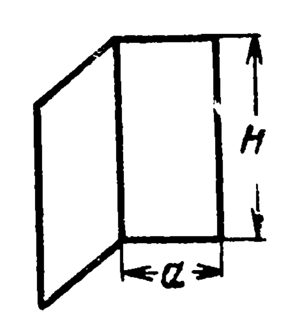
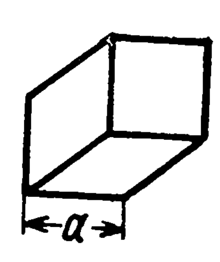
уравнений позволяют определить расчетным путем ЭПР только для тел простой геометрической формы (табл. 1.1).

В реальных условиях радиолокационного обнаружения объекты простой геометрической формы встречаются довольно редко. Как правило, они имеют сложную конфигурацию и состоят из большого числа различных элементарных отражателей. Примерами одиночных целей сложной конфигурации могут служить корабли, самолеты, ракеты, различные наземные сооружения и т. д. Несколько одиночных объектов, расположенных в пределах отражающего объема (рис. 1.2) на относительно больших расстояниях по сравнению с длиной волны радиолокатора, образуют групповую цель.

	Плоский диск $$\sigma_ц = \pi k^2 a^4 \sin^2\theta \left[\frac{J_1(2ka\cos\theta)}{ka\cos\theta}\right]^2,$$ где J_1 — функция Бесселя 1-го порядка. При нормальном падении к плоскости диска: $$\sigma_ц = \frac{4\pi^3 a^4}{\lambda^2}$$
	Двугранный уголковый отражатель $$\sigma_ц = \frac{8\pi (aH)^2}{\lambda^2}$$ в максимуме диаграммы рассеяния
	Трехгранный уголковый отражатель $$\sigma_ц = \frac{12\pi a^4}{\lambda^2}$$ в максимуме диаграммы рассеяния

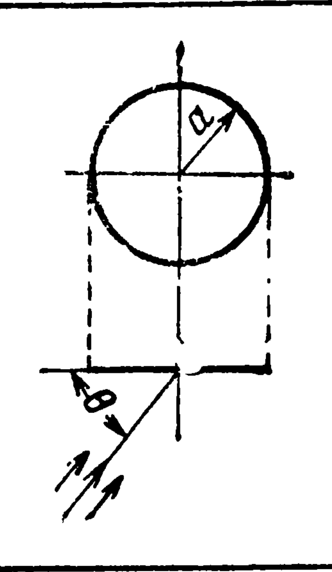
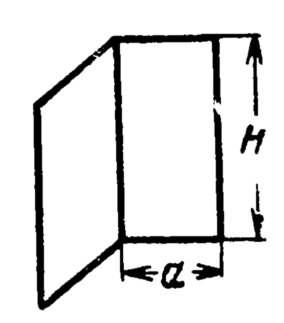
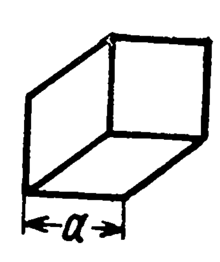
уравнений позволяют определить расчетным путем ЭПР только для тел простой геометрической формы (табл. 1.1).

В реальных условиях радиолокационного обнаружения объекты простой геометрической формы встречаются довольно редко. Как правило, они имеют сложную конфигурацию и состоят из большого числа различных элементарных отражателей. Примерами одиночных целей сложной конфигурации могут служить корабли, самолеты, ракеты, различные наземные сооружения и т. д. Несколько одиночных объектов, расположенных в пределах отражающего объема (рис. 1.2) на относительно больших расстояниях по сравнению с длиной волны радиолокатора, образуют групповую цель.

	Плоский диск $$\sigma_ц = \pi k^2 a^4 \sin^2\theta \left[\frac{J_1(2ka\cos\theta)}{ka\cos\theta}\right]^2,$$ где J_1 — функция Бесселя 1-го порядка. При нормальном падении к плоскости диска: $$\sigma_ц = \frac{4\pi^3 a^4}{\lambda^2}$$
	Двугранный уголковый отражатель $$\sigma_ц = \frac{8\pi (aH)^2}{\lambda^2}$$ в максимуме диаграммы рассеяния
	Трехгранный уголковый отражатель $$\sigma_ц = \frac{12\pi a^4}{\lambda^2}$$ в максимуме диаграммы рассеяния

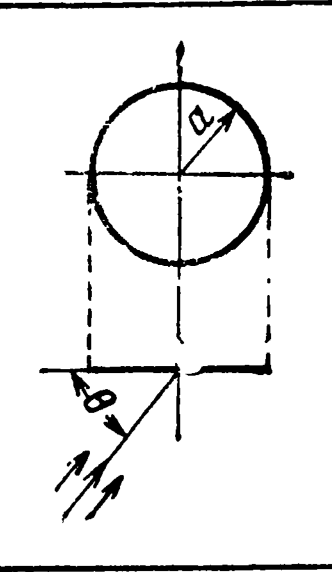
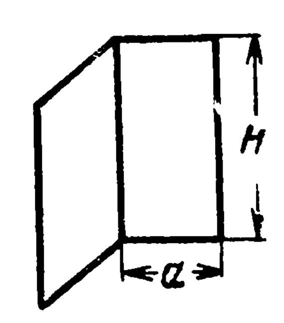
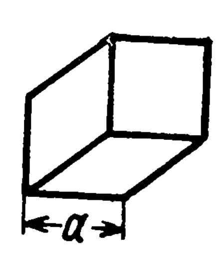
уравнений позволяют определить расчетным путем ЭПР только для тел простой геометрической формы (табл. 1.1).

В реальных условиях радиолокационного обнаружения объекты простой геометрической формы встречаются довольно редко. Как правило, они имеют сложную конфигурацию и состоят из большого числа различных элементарных отражателей. Примерами одиночных целей сложной конфигурации могут служить корабли, самолеты, ракеты, различные наземные сооружения и т. д. Несколько одиночных объектов, расположенных в пределах отражающего объема (рис. 1.2) на относительно больших расстояниях по сравнению с длиной волны радиолокатора, образуют групповую цель.

	Плоский диск $\sigma_ц = \pi k^2 a^4 \sin^2\theta \left[\frac{J_1(2ka\cos\theta)}{ka\cos\theta}\right]^2,$ где J_1 — функция Бесселя 1-го порядка. При нормальном падении к плоскости диска: $\sigma_ц = \frac{4\pi^3 a^4}{\lambda^2}$
	Двугранный уголковый отражатель $\sigma_ц = \frac{8\pi (aH)^2}{\lambda^2}$ в максимуме диаграммы рассеяния
	Трехгранный уголковый отражатель $\sigma_ц = \frac{12\pi a^4}{\lambda^2}$ в максимуме диаграммы рассеяния

уравнений позволяют определить расчетным путем ЭПР только для тел простой геометрической формы (табл. 1.1).

В реальных условиях радиолокационного обнаружения объекты простой геометрической формы встречаются довольно редко. Как правило, они имеют сложную конфигурацию и состоят из большого числа различных элементарных отражателей. Примерами одиночных целей сложной конфигурации могут служить корабли, самолеты, ракеты, различные наземные сооружения и т. д. Несколько одиночных объектов, расположенных в пределах отражающего объема (рис. 1.2) на относительно больших расстояниях по сравнению с длиной волны радиолокатора, образуют групповую цель.

 	Плоский диск $$\sigma_ц = \pi k^2 a^4 \sin^2\theta \left[\frac{J_1(2ka\cos\theta)}{ka\cos\theta}\right]^2,$$ где J_1 — функция Бесселя 1-го порядка. При нормальном падении к плоскости диска: $$\sigma_ц = \frac{4\pi^3 a^4}{\lambda^2}$$
 	Двугранный уголковый отражатель $$\sigma_ц = \frac{8\pi (aH)^2}{\lambda^2}$$ в максимуме диаграммы рассеяния
 	Трехгранный уголковый отражатель $$\sigma_ц = \frac{12\pi a^4}{\lambda^2}$$ в максимуме диаграммы рассеяния

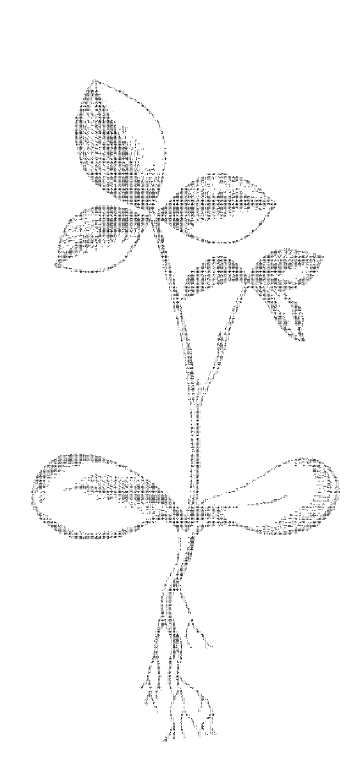
уравнений позволяют определить расчетным путем ЭПР только для тел простой геометрической формы (табл. 1.1).

В реальных условиях радиолокационного обнаружения объекты простой геометрической формы встречаются довольно редко. Как правило, они имеют сложную конфигурацию и состоят из большого числа различных элементарных отражателей. Примерами одиночных целей сложной конфигурации могут служить корабли, самолеты, ракеты, различные наземные сооружения и т. д. Несколько одиночных объектов, расположенных в пределах отражающего объема (рис. 1.2) на относительно больших расстояниях по сравнению с длиной волны радиолокатора, образуют групповую цель.

Ю. Г. СТЕПАНОВ

ПРОТИВОРАДИОЛОКАЦИОННАЯ МАСКИРОВКА



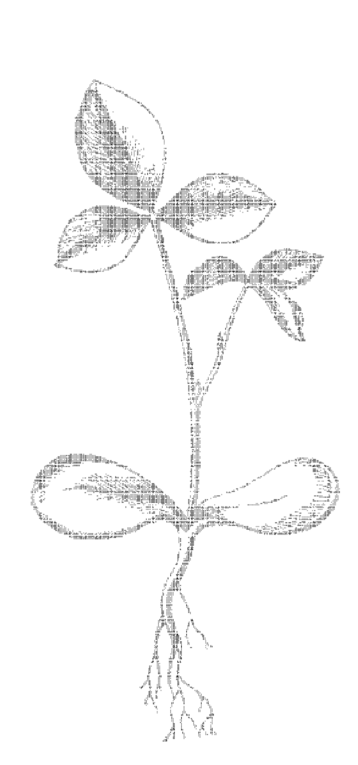


Издательство
«СОВЕТСКОЕ РАДИО»
Москва — 1968

Ю. Г. СТЕПАНОВ

ПРОТИВОРАДИОЛОКАЦИОННАЯ МАСКИРОВКА



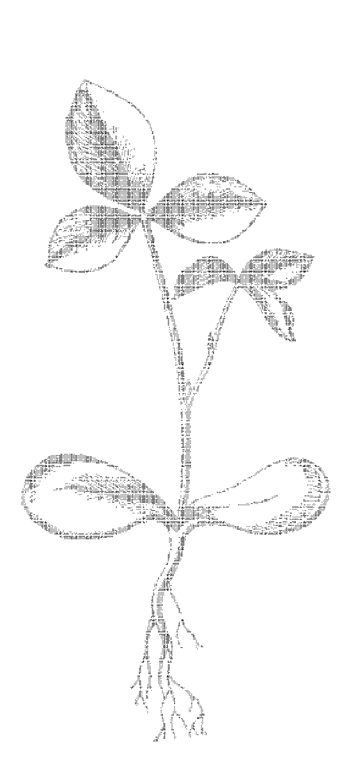


Издательство
«СОВЕТСКОЕ РАДИО»
Москва — 1968

Ю. Г. СТЕПАНОВ

ПРОТИВОРАДИОЛОКАЦИОННАЯ МАСКИРОВКА





Издательство
«СОВЕТСКОЕ РАДИО»
Москва — 1968

52 коп.

